

870118

# UNIVERSIDAD AUTONOMA DE GUADALAJARA

INCORPORADA A LA UNIVERSIDAD NACIONAL AUTONOMA DE MEXICO

ESCUELA DE CIENCIAS QUIMICAS



ESTUDIO DE LA INFLUENCIA DEL TAMAÑO DE PARTICULA DEL  
TRAZADOR Y DE LA POSICION DE SALIDA DEL FLUJO EN LA  
DISTRIBUCION DE TIEMPOS DE RESIDENCIA DE UN SOLIDO  
EN UN TANQUE CONTINUO DE FONDO CON CONO Y FILETE

## TESIS PROFESIONAL

QUE PARA OBTENER EL TITULO DE:

INGENIERO QUIMICO

P R E S E N T A

**VICTOR HUGO AGUILAR SALCEDO**

ASESOR: I.Q. MA. DEL CONSUELO LOPEZ LIMON

GUADALAJARA, JALISCO,

1989.



## **UNAM – Dirección General de Bibliotecas Tesis Digitales Restricciones de uso**

### **DERECHOS RESERVADOS © PROHIBIDA SU REPRODUCCIÓN TOTAL O PARCIAL**

Todo el material contenido en esta tesis está protegido por la Ley Federal del Derecho de Autor (LFDA) de los Estados Unidos Mexicanos (México).

El uso de imágenes, fragmentos de videos, y demás material que sea objeto de protección de los derechos de autor, será exclusivamente para fines educativos e informativos y deberá citar la fuente donde la obtuvo mencionando el autor o autores. Cualquier uso distinto como el lucro, reproducción, edición o modificación, será perseguido y sancionado por el respectivo titular de los Derechos de Autor.

## ÍNDICE

|   | página |
|---|--------|
| Introducción  | I      |
| Simbología  | II     |
| Capítulo 1. Teoría  | 1      |
| Capítulo 2. Experimentación   | 9      |
| Capítulo 3. Resultados obtenidos  | 19     |
| Capítulo 4. Análisis estadístico  | 61     |
| Capítulo 5. Discusión de resultados   | 67     |
| Resumen   | 70     |
| Conclusiones  | 71     |
| Apéndice I. Descripción del equipo  | 73     |
| Apéndice II. Calibración del rotámetro  | 76     |
| Apéndice III. Resultados obtenidos  | 80     |
| Apéndice IV. Prueba de Kolmogorov-Smirnov para funciones de distribución de frecuencias. (Bondad de ajuste) | 99     |
| Apéndice V. Tratamiento estadístico   | 103    |
| Apéndice VI. Ejemplo de los cálculos realizados   | 130    |
| Bibliografía  | 134    |

3. 11/20/2014

## INTRODUCCIÓN

La finalidad de este estudio es la de analizar la influencia del tamaño de partícula del trazador y de la posición de salida del flujo, en la distribución de tiempos de residencia de un sólido, en un tanque continuo de fondo con cono y filete.

El análisis se lleva a cabo comparando las curvas de distribución de tiempos de residencia obtenidas en las pruebas experimentales ( a partir de la información proporcionada por un sólido inerte que se introduce al sistema en cada prueba ) con la curva de distribución de tiempos de residencia del modelo teórico de mezcla completa.

Se realizaron nueve pruebas, variando tres diferentes tamaños de partícula del trazador y tres distintas posiciones de salida del flujo, combinándolas entre sí. Cada prueba se hizo por duplicado, dando un total de dieciocho pruebas.

Este estudio forma parte de un proyecto de investigación sobre el comportamiento de sólidos en tanques agitados, dentro del cual han sido ya presentados algunos trabajos [1,10] con variables diferentes a las utilizadas en esta tesis.

**SINCOLOGIA**

## SIMBOLOGÍA

|                |   |
|----------------|---|
| A°1            | : Desviación para la prueba estadística,<br>  F <sub>o</sub> teorB (θ) - F <sub>o</sub> (θ-1) |
| A°2            | : Desviación para la prueba estadística,<br>  F <sub>o</sub> teorB (θ) - F <sub>o</sub> (θ)   |
| A° max         | : Valor máximo encontrado entre A°1 y A°2   |
| a              | : Constante de orificio   |
| b              | : Constante de orificio   |
| c              | : Concentración de trazador en el tubo de ensayo, en g/l                                      |
| $\bar{C}$      | : Concentración promedio de trazador en el tanque, en g/l                                     |
| D              | : Valor máximo permisible para la prueba estadística  |
| DIF-A          | : Desviación estadística para la prueba,<br>  F <sub>o</sub> teorA (θ) - F <sub>o</sub> (θ)   |
| DIF-A max      | : Valor máximo observado en DIF-A   |
| DIF(R1-R2)     | : Desviación estadística entre réplicas,<br>  F <sub>o</sub> R1 - F <sub>o</sub> R2           |
| DIF(R1-R2)max  | : Valor máximo observado en DIF(R1-R2)  |
| E              | : Función de distribución de salida   |
| E <sub>o</sub> | : Distribución del tiempo de residencia experimental, basado en el tiempo θ                   |

|                                 |   |
|---------------------------------|---|
| $E_{\theta}$ teor               | : Distribución del tiempo de residencia teórico, basado en $\theta$                               |
| F                               | : Respuesta adimensional del trazador   |
| $F_{\theta}$                    | : Frecuencia experimental acumulada   |
| $\overline{F_{\theta}}$         | : Promedio de frecuencias experimentales acumuladas entre la prueba y su réplica                  |
| $F_{\theta}(\theta)$            | : Función de frecuencias experimentales acumuladas basadas en el valor de $\theta_N$              |
| $F_{\theta}(\theta-1)$          | : Función de frecuencias experimentales basadas en el valor de $(\theta_{N-1})$                   |
| $F_{\theta}$ teor               | : Frecuencias teóricas acumuladas   |
| $F_{\theta}$ teorA              | : Frecuencias teóricas acumuladas encontradas mediante ecuación discreta                          |
| $F_{\theta}$ teorA ( $\theta$ ) | : Función de frecuencias teóricas acumuladas de datos escalonados basados en el valor de $\theta$ |
| $F_{\theta}$ teorB              | : Frecuencias teóricas acumuladas encontradas mediante ecuación continua                          |
| $F_{\theta}$ teorB ( $\theta$ ) | : Función de frecuencias teóricas acumuladas de datos continuos basados en el valor de $\theta$   |
| $H_0$                           | : Hipótesis de nulidad  |
| R1                              | : Réplica 1   |
| R2                              | : Réplica 2   |

|                 |  |
|-----------------|--|
| S1              | : Salida 1 del flujo                                   |
| S2              | : Salida 2 del flujo                                   |
| S3              | : Salida 3 del flujo                                   |
| t               | : Tiempo, en segundos                                  |
| T1              | : Tamaño 1 del trazador sólido                         |
| T2              | : Tamaño 2 del trazador sólido                         |
| T3              | : Tamaño 3 del trazador sólido                         |
| Teta            | : Medida adimensional del tiempo, $\Theta = t/\tau$    |
| V               | : Volumen del tanque                                   |
| Wtotal          | : Peso del tubo de ensayo más el del<br>trazador       |
| Wtubo           | : Peso del tubo de ensayo vacío                        |
| Vo              | : Caudal del fluido, en l/min                          |
| $\tau$          | : Tiempo espacial, en segundos                         |
| $\Delta t$      | : Incremento de tiempo, en segundos                    |
| $\Delta \Theta$ | : Incremento de tiempo adimensional                    |
| $\Delta h$      | : Altura en el rotámetro                               |
| $\alpha$        | : Nivel de significancia para la prueba<br>estadística |

**CAPÍTULO 1**  
**TEORÍA**

**TEORÍA [2,6,8]****A. Distribución del tiempo de residencia en reactores de flujo.**

Aunque el comportamiento real de los reactores nunca se ajusta exactamente a situaciones idealizadas, en muchos casos se aproxima tanto, que pueda admitirse el comportamiento ideal sin incurrir en error apreciable.

Cuando una corriente de material entra a un reactor agitado con un tiempo espacial  $\tau=V/V_0$ , no todas las moléculas permanecerán este tiempo, algunas moléculas salen del reactor casi inmediatamente, mientras que otras permanecen dentro de él demasiado tiempo.

Para determinar experimentalmente este tiempo de residencia, se recurre a la técnica de estímulo-respuesta. En este tipo de experimentación se estimula al sistema mediante una perturbación y se ve cómo responde a este estímulo; el análisis de la respuesta da información sobre el sistema.

En este trabajo, el estímulo fue provocado mediante el

uso de un trazador sólido añadido directamente al reactor. Para conocer la respuesta, es necesario medir la concentración de dicho trazador en la salida del sistema.

La concentración promedio en la corriente de salida del reactor, en un tiempo  $t$ , representa la esperanza matemática de que un elemento de trazador tenga ese tiempo de permanencia en el reactor. Esta esperanza se llama  $E$ , la cual viene a ser la distribución del tiempo de residencia del trazador, por lo cual:

$$\int_{t=0}^{\infty} E \cdot dt = 1 \quad \dots \text{Ec. 1-1}$$

Si se mide el tiempo en función del tiempo espacial, da un valor adimensional:

$$\theta = t/\tau \quad \dots \text{Ec. 1-2}$$

Definiendo  $E\theta$  de la siguiente forma:

$$\theta \cdot E_{\theta} = t \cdot E \quad \dots \text{Ec. 1-3}$$

Cuando la corriente de fluido que entra al reactor en  $t < 0$ , no contiene trazador alguno, y en  $t=0$  se le impone una señal trazadora en escalón, de concentración  $C_0$  en la corriente de fluido que entra al reactor, se denomina curva  $F$  a la curva representativa de la concentración del trazador a la salida del recipiente, frente al tiempo.

Para relacionar E con F considérese un fluido blanco que circula en flujo estacionario a través del recipiente Y, en el instante  $t=0$ , se introduce una señal escalón de concentración  $C_0$ . La curva F representa la concentración del trazador en la corriente de salida, sobre la concentración de la señal escalón. Para cualquier instante  $t > 0$ , el trazador en la corriente de salida tiene una edad inferior a t. En consecuencia se tiene:

$$\left( \begin{array}{l} \text{Fracción del trazador en} \\ \text{la corriente de salida} \end{array} \right) = \left( \begin{array}{l} \text{Fracción de la corriente de} \\ \text{salida con edad inferior a t} \end{array} \right)$$

El valor de F es la distribución de tiempos de residencia con edad inferior a t, por lo tanto:

$$F = \int_0^t E * dt \quad \dots \text{ Ec. 1-4}$$

aproximándolo a elementos finitos :

$$F = \sum_{t=0}^{t=t} E * t \quad \dots \text{ Ec. 1-5}$$

En el caso de un trazador sólido, como el empleado en este trabajo, la distribución de tiempos de residencia del trazador, no coincide necesariamente con la del fluido, si la mezcla sólido-líquido no es perfectamente homogénea.

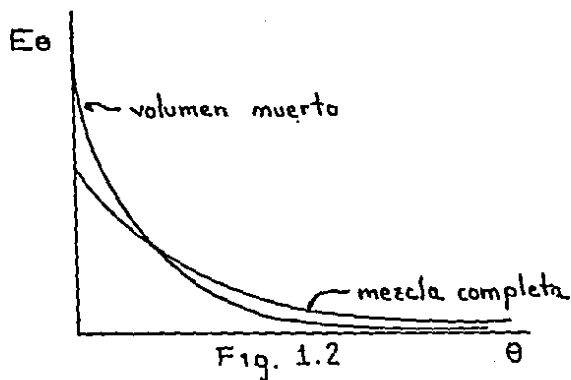
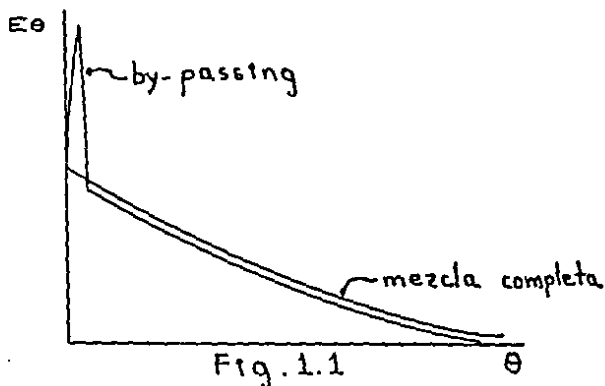
## B. Interpretación de la información obtenida de un trazador.

La curva experimental producida por la técnica del trazador, depende del tipo de agitación y mezclado que se emplea en el reactor. Interpretando la información del trazador, es posible concluir si alguno de los siguientes fenómenos ocurre en el reactor en estudio.

1.- **By-passing** (circuito corto): es el fenómeno que se presenta entre la entrada al reactor y la salida, cuando se encuentran muy cerca una de la otra. En la curva de  $E\theta$  vs  $\theta$  de la fig. 1.1, el pico indica la cantidad del trazador que sale inmediatamente después de que entró al sistema, como consecuencia del circuito corto.

2.- **Espacios o volúmenes muertos**: pueden existir por estancamiento de fluido en ciertas zonas del reactor, cercanas a los bordes ó esquinas del mismo. En la curva de  $E\theta$  vs  $\theta$  de la fig. 1.2, se muestra una señal que se adelanta en el tiempo debido a que el volumen de mezcla es menor que el volumen total. Cabe aclarar que el área bajo la curva ideal y la curva del tanque con volumen muerto es la misma.

3.- La distribución de tiempos de residencia del trazador sólido, comparada con la del fluido con el que supuestamente se ha mezclado, dará información sobre la homogeneidad de la mezcla obtenida.



### C. Agitación y mezclado.

En la gran mayoría de los procesos industriales se llevan a cabo operaciones de mezclado en tanques agitados mecánicamente. Mezclar es mover el material de tal manera, que alcance un estado de homogeneidad o se aproxime a él. Los líquidos se mezclan creando una zona de turbulencia, y situándolos en esa zona; se genera una corriente principal y se produce la turbulencia en sitios donde el esfuerzo cortante da como resultado una transferencia de cantidad de movimiento y la formación de remolinos.

El equipo más usual para la mezcla de líquidos, el cual produce corriente y turbulencia, son los impulsores giratorios, como las hélices del tipo marino, la turbina y la paleta plana.

Los factores que afectan el mezclado son: la naturaleza del líquido, la configuración del tanque y el impulsor. No son convenientes los tanques cuadrados y otros tipos que tengan ángulos, porque es difícil el movimiento en los rincones. El impulsor causa el movimiento de los fluidos y, juntamente con la reacción de las paredes, engendra las principales líneas de flujo a través del líquido.

Si se agita un líquido en un tanque sin deflectores, mediante un agitador situado en el centro del tanque en la dirección del eje del mismo (axial), habrá tendencia a que se forme un patrón de flujo de remolino, independientemente del tipo de impulsor que se use. En la fig. 1.3 se muestra un patrón típico de flujo. Se produce un vórtice debido a la fuerza centrífuga que actúa sobre el líquido que gira.

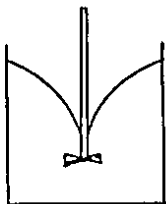


FIG.1.3

La elección del impulsor más apropiado que produzca el flujo deseado se hace, ordinariamente, entre los modelos de corriente axial y corriente radial. Si hay que dejar limpio el fondo del tanque, es aconsejable usar hélices de corriente axial.

Para conseguir la mezcla, o cualquier operación parecida en la que se requiere que haya partículas sólidas suspendidas, será necesario aportar suficiente energía para conseguir la corriente y la turbulencia en las más remotas

porciones del tanque de mezcla. Si ha de haber sólidos en suspensión, por ejemplo, es necesario que la velocidad del flujo en todos los lugares del tanque sea por lo menos igual a la velocidad terminal de caída de la partícula más grande. Así, el flujo asegurará que las partículas permanecerán suspendidas.

Ya que un mejor diseño de tanque puede mejorar la eficiencia del mezclado. La solución ideal es un tanque con fondo completamente perfilado (fig. 1.4). Desafortunadamente este modelo es muy complicado para ser manufacturado. Un modelo aproximado al de fondo completamente perfilado sería una solución más recomendable. A este modelo propuesto se le ha llamado tanque con fondo plano fileteado-cónico (fig.1.5). La principal ventaja de esta geometría es que puede lograrse por medio de una modificación no muy costosa de un tanque convencional de fondo plano. Además de que es particularmente apropiado cuando los sólidos son difíciles de suspender.

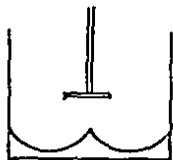


FIG. 1.4

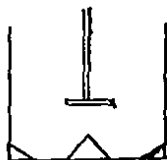


FIG. 1.5

**CAPÍTULO 2**  
**EXPERIMENTACIÓN**

## EXPERIMENTACIÓN

### **A. Desarrollo experimental.**

Antes de realizar las corridas experimentales, se efectuaron una serie de pruebas preliminares, en las que se varió el tamaño de partícula del trazador así como la altura del agitador.

En cuanto al tamaño de partícula de trazador, el mercado está limitado, existiendo preferentemente tamaños grandes, por lo que tuvo que elegirse entre las mallas disponibles actualmente en el mercado. Respecto a la altura del agitador, a las condiciones en las cuales era posible trabajar, se observó, que a mayor altura, menor era la agitación, siendo mayor la cantidad de trazador que quedaba asentada en el fondo del tanque, y, por consiguiente, la cantidad de trazador que salía inicialmente era demasiado poca, dificultándose su detección.

A dichas condiciones de trabajo la altura del agitador se relaciona con la velocidad de agitación, ya que si se aumenta la velocidad, se provoca un descontrol en el estado estacionario, debido a la formación de anillos de arena

sobre la pared del tanque, dando como resultado la acumulación del fluido en el tanque. Dichas observaciones eran más notorias con la arena más gruesa, que es la de malla 40-45, siendo los efectos menos marcados conforme más fina fuera ésta, por lo que se decidió mantener la altura del agitador constante a 6 cm del fondo, la velocidad en 150 rpm y variar la posición de salida del flujo, la cual se combinó con el tamaño de partícula del trazador sólido.

Se desarrollaron 9 pruebas (corridas) experimentales, cada una de ellas por duplicado.

Los parámetros que se mantuvieron constantes en todas las pruebas son:

- 1.- Fondo del tanque: cono hacia arriba y filete
- 2.- Pared del tanque: sin mamparas
- 3.- Volumen del tanque: 11.220 l
- 4.- Entrada del trazador sólido: central
- 5.- Cantidad del trazador: 150 g
- 6.- Tipo de agitador: turbina de aspas planas  
inclinadas 45°
- 7.- Altura del agitador: a 6 cm del fondo del tanque
- 8.- Posición del agitador: central, eje vertical
- 9.- Entrada del fluido: 18.5 cm del fondo del tanque
- 10.- Caudal del fluido: 0.934 l/min
- 11.- Velocidad de agitación: 150-160 rpm

En estas condiciones se espera que la distribución de tiempos de residencia del líquido siga el modelo de mezcla completa.

Las variables que se utilizaron son:

- 1.- Tamaño de partícula del trazador (arena sílica)
 

|             |                              |
|-------------|------------------------------|
| Malla 40-45 | diámetro promedio: 0.3845 mm |
| Malla 50-55 | diámetro promedio: 0.2850 mm |
| Malla 80-90 | diámetro promedio: 0.1710 mm |

## 2.- Posición de salida de alimento

Salida 1: a 12 cm del fondo del tanque

Salida 2: a 18 cm del fondo del tanque

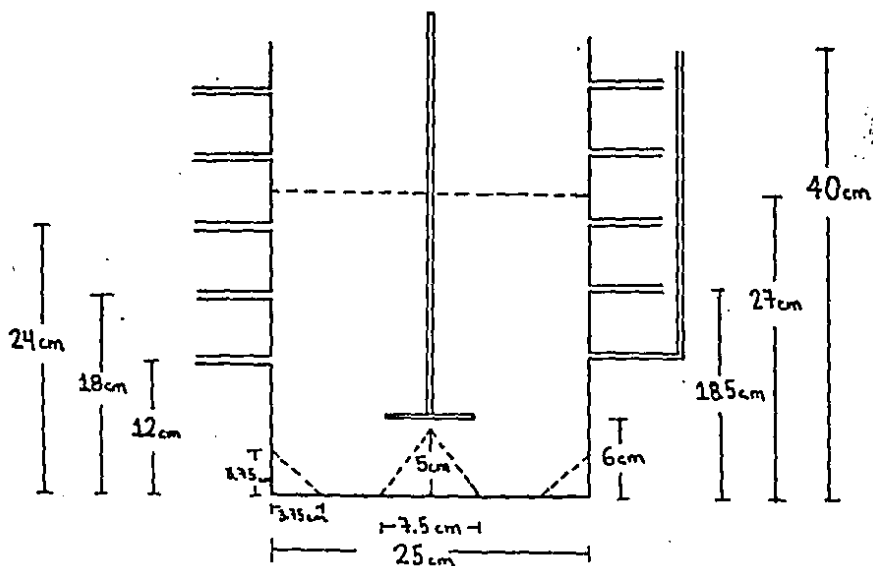
Salida 3: a 24 cm del fondo del tanque

### \* Densidades de las arenas utilizadas:

Malla 40-45                    1.58102 g/ml

Malla 50-55                    1.56340 g/ml

Malla 80-90                    1.50697 g/ml



**B. Descripción del equipo .**

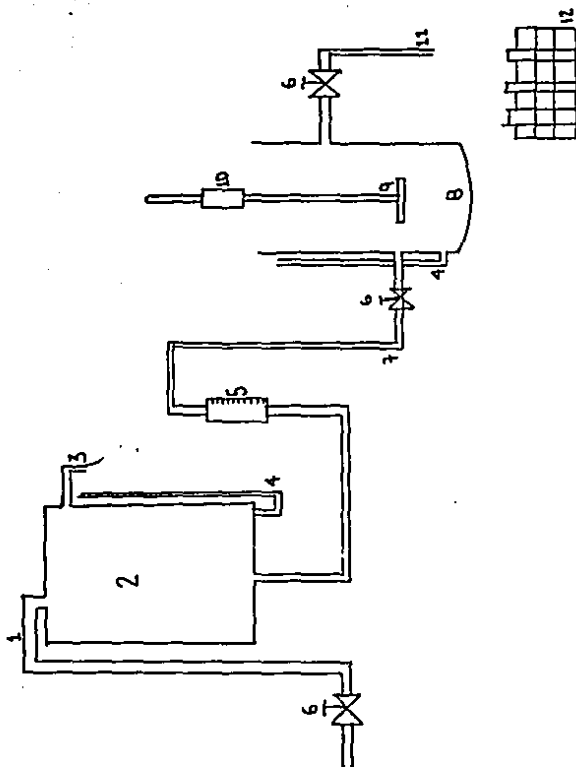
Se empleó básicamente un tanque con agitación, y un rotámetro. Un esquema de la colocación de dicho equipo se muestra en la fig. 2.1

Mayor información en el apéndice I.

**Descripción de la fig. 2.1**

- 1.- Corriente de entrada al tinaco
- 2.- Tinaco
- 3.- Rebosadero
- 4.- Medidores de nivel
- 5.- Medidor de flujo (rotámetro)
- 6.- Llaves de paso
- 7.- Corriente de entrada al tanque
- 8.- Tanque
- 9.- Agitador
- 10.- Motor de agitador
- 11.- Corriente de salida del tanque
- 12.- Tubos de ensayo

FIG. 2.1



### C. Metodología.

Primeramente se hicieron las pruebas con un tamaño específico de partícula de trazador sólido, manteniéndolo constante y variando la posición de salida de alimento. Posteriormente se cambió el tamaño de partícula de trazador, variando de nuevo la posición de salida de alimento. Finalmente, se cambia a un tercer tamaño de partícula del trazador, variando la posición de salida de alimento.

El procedimiento para cada prueba se muestra a continuación:

- 1.- Escoger el tamaño del trazador y la posición de salida de alimento.
- 2.- Llenar el tanque de agua al nivel de operación.
- 3.- Verificar que el agitador se encuentre a la velocidad deseada.
- 4.- Llenar el tinaco de agua, asegurándose que exista rebosadero.
- 5.- Encender el agitador.
- 6.- Abrir las llaves de entrada y salida del sistema para proceder a alcanzar el estado estacionario del flujo de agua dentro del tanque. Para esto, fue

necesario colocar la canica del rotámetro a la altura requerida para obtener el caudal de entrada al tanque, con el cual se va a operar. ( Para mayor información consultar el apéndice II ).

- 7.- Regular el caudal de salida del tanque mediante la llave de paso, hasta que sea igual al caudal de entrada, esto es, que se haya logrado el estado estacionario.

El estado estacionario se logró con agitación, basándose en las marcas que se tenían en el indicador de nivel. También se verificó mediante mediciones de volumen del caudal de salida en un cierto tiempo.

Si después de un tiempo razonable, la oscilación en el indicador de nivel no salía de los límites previamente establecidos, y además, el caudal recolectado a la salida se mantenía constante e igual al caudal de entrada, se procedía a iniciar la corrida.

- 8.- Agregar la arena previamente lavada y seca por el centro del tanque, y al mismo tiempo,  $t=0$ , tomar la primera muestra a la salida del tanque.
- 9.- Continuar tomando las muestras a la salida.

Los tiempos y número de muestras fueron:

| No. de muestra | Intervalo de tiempo |
|----------------|---------------------|
| 1              | tiempo cero         |
| 2 - 10         | 10 s                |
| 11 - 20        | 20 s                |
| 21 - 35        | 30 s                |
| 36 - 55        | 60 s                |
| 56 - 75        | 120 s               |

Los tiempos se tomaron mediante el uso de un cronómetro. Teniéndose un tiempo total de 1 hora, 12 minutos y 20 segundos, que fue lo que duró cada corrida experimental.

- 10.- Finalizar la corrida y decantar cada muestra con el fin de eliminar la mayor cantidad de agua.
- 11.- Colocar las muestras en un secador para eliminar totalmente el agua.
- 12.- Pesar los tubos de ensayo con arena.
- 13.- Después de cada corrida, recolectar la arena que se quedó en el tanque, secarla y pesarla, esto con el fin de comprobar los resultados matemáticos con los prácticos. Esto dió oportunidad de hacer nuevos

cálculos considerando solamente la arena que salió del tanque, descartando la que se quedó en él. (Tablas 4.19 a 4.36).

- 14.- También, después de cada corrida, lavar el tanque y repetir el procedimiento anteriormente descrito para realizar su réplica o iniciar otra corrida.

**CAPÍTULO 3**  
**RESULTADOS OBTENIDOS**

### RESULTADOS OBTENIDOS

Las tablas que se muestran a continuación contienen los resultados y cálculos obtenidos de una corrida.

Las tablas restantes se muestran en el apéndice III .

Cada una de las tablas muestra lo siguiente:

Columna

- 1 Número : Número de la muestra tomada.
- 2 Tiempo : Tiempo en que se tomó la muestra después de agregar el trazador.
- 3  $W_{total}$  : Peso del tubo de ensayo más el de trazador.
- 4  $W_{tubo}$  : Peso del tubo de ensayo vacío.
- 5 Teta : Tiempo adimensional,  $\theta = t/\tau$ ,  $t$  corresponde a la segunda columna y  $\tau$  es el tiempo espacial del sistema.
- 6  $E_{\theta}$  : Valor de  $E_{\theta}$  para cada tiempo.  

$$\frac{(W_{total} - W_{tubo})(V \text{ de líquido en el tanque})}{(\text{peso de trazador usado})(\text{volumen de muestra})}$$
- 7  $F_{\theta}$  : Valor de la frecuencia acumulada de cada tiempo. Ec. V-7
- 8  $E_{\theta \text{ teor}}$  : Valor de  $E_{\theta}$  teórico calculado para el sistema
- 9  $F_{\theta \text{ teor}}$  : Valor de  $F_{\theta}$  teóricos calculados a partir de  $E_{\theta \text{ teor}}$  mediante la ecuación 1-5.

La tabla 3.1 corresponde a los cálculos realizados considerando la cantidad total de trazador agregada al sistema. Sus respectivas gráficas son las 3.1-A y 3.1-B.

La tabla 3.19 corresponde a los cálculos efectuados considerando solamente la arena que salió del tanque. Sus respectivas gráficas son las 3.19-A y 3.19-B.

Las figuras mostradas corresponden a las curvas obtenidas al tabular:

- A) Los valores de Teta en las abscisas, así como los valores de  $E_o$  y  $E_o$  teórico en las ordenadas.
- B) Se grafica Teta en las abscisas contra  $F_e$  y  $F_e$  teórico en las ordenadas.

TABLA 3.1

## PRUEBA TISIRI

| Número | Tiempo | Wtotal  | Wtubo   | Teta   | Ee     | Fe     | Ee teor | Fe teor |
|--------|--------|---------|---------|--------|--------|--------|---------|---------|
| inicio | 0      | 18.7894 | 18.7894 | 0.0000 | 0.0000 | 0.0000 | 1.0000  | 0.0000  |
| 1      | 10     | 18.8445 | 18.7628 | 0.0139 | 0.2230 | 0.0015 | 0.9862  | 0.0138  |
| 2      | 20     | 18.7609 | 18.6983 | 0.0277 | 0.1709 | 0.0043 | 0.9726  | 0.0274  |
| 3      | 30     | 18.8490 | 18.7881 | 0.0416 | 0.1663 | 0.0066 | 0.9592  | 0.0408  |
| 4      | 40     | 18.6165 | 18.5686 | 0.0555 | 0.1308 | 0.0087 | 0.9460  | 0.0540  |
| 5      | 50     | 18.7625 | 18.7099 | 0.0694 | 0.1436 | 0.0106 | 0.9330  | 0.0670  |
| 6      | 60     | 19.2936 | 19.2313 | 0.0832 | 0.1701 | 0.0128 | 0.9201  | 0.0799  |
| 7      | 70     | 19.0695 | 19.0168 | 0.0971 | 0.1439 | 0.0149 | 0.9074  | 0.0926  |
| 8      | 80     | 18.7862 | 18.7351 | 0.1110 | 0.1395 | 0.0169 | 0.8949  | 0.1051  |
| 9      | 90     | 18.8054 | 18.7592 | 0.1249 | 0.1261 | 0.0187 | 0.8826  | 0.1174  |
| 10     | 110    | 18.7034 | 18.6556 | 0.1526 | 0.1305 | 0.0223 | 0.8585  | 0.1415  |
| 11     | 130    | 18.8538 | 18.8089 | 0.1804 | 0.1226 | 0.0258 | 0.8350  | 0.1650  |
| 12     | 150    | 18.8223 | 18.7765 | 0.2081 | 0.1250 | 0.0293 | 0.8121  | 0.1879  |
| 13     | 170    | 18.4694 | 18.4180 | 0.2359 | 0.1403 | 0.0329 | 0.7899  | 0.2101  |
| 14     | 190    | 19.0752 | 19.0060 | 0.2636 | 0.1889 | 0.0375 | 0.7683  | 0.2317  |
| 15     | 210    | 19.1277 | 19.0798 | 0.2914 | 0.1308 | 0.0419 | 0.7473  | 0.2528  |
| 16     | 230    | 18.6122 | 18.5698 | 0.3191 | 0.1157 | 0.0454 | 0.7268  | 0.2732  |
| 17     | 250    | 18.7863 | 18.7417 | 0.3469 | 0.1218 | 0.0487 | 0.7069  | 0.2931  |
| 18     | 270    | 18.7456 | 18.7006 | 0.3746 | 0.1228 | 0.0520 | 0.6876  | 0.3124  |
| 19     | 290    | 18.4821 | 18.4357 | 0.4023 | 0.1267 | 0.0555 | 0.6687  | 0.3313  |
| 20     | 320    | 18.2936 | 18.2517 | 0.4440 | 0.1144 | 0.0605 | 0.6415  | 0.3585  |
| 21     | 350    | 18.8043 | 18.7666 | 0.4856 | 0.1029 | 0.0650 | 0.6153  | 0.3847  |
| 22     | 380    | 18.5906 | 18.5545 | 0.5272 | 0.0986 | 0.0692 | 0.5902  | 0.4098  |
| 23     | 410    | 18.4650 | 18.4236 | 0.5688 | 0.1130 | 0.0736 | 0.5662  | 0.4338  |
| 24     | 440    | 18.8880 | 18.8533 | 0.6105 | 0.0947 | 0.0780 | 0.5431  | 0.4569  |
| 25     | 470    | 18.9834 | 18.9452 | 0.6521 | 0.1043 | 0.0821 | 0.5210  | 0.4791  |
| 26     | 500    | 18.7792 | 18.7444 | 0.6937 | 0.0950 | 0.0863 | 0.4997  | 0.5003  |
| 27     | 530    | 18.8009 | 18.7657 | 0.7353 | 0.0961 | 0.0902 | 0.4794  | 0.5207  |
| 28     | 560    | 19.0172 | 18.9791 | 0.7769 | 0.1040 | 0.0944 | 0.4598  | 0.5402  |
| 29     | 590    | 18.6983 | 18.6514 | 0.8186 | 0.1280 | 0.0992 | 0.4411  | 0.5590  |
| 30     | 620    | 18.7404 | 18.7058 | 0.8602 | 0.0945 | 0.1039 | 0.4231  | 0.5770  |
| 31     | 650    | 18.8442 | 18.7997 | 0.9018 | 0.1215 | 0.1083 | 0.4058  | 0.5942  |
| 32     | 680    | 19.0573 | 19.0207 | 0.9434 | 0.0999 | 0.1130 | 0.3893  | 0.6108  |
| 33     | 710    | 18.5960 | 18.5680 | 0.9851 | 0.0764 | 0.1166 | 0.3734  | 0.6266  |
| 34     | 740    | 18.6788 | 18.6417 | 1.0267 | 0.1013 | 0.1203 | 0.3582  | 0.6419  |
| 35     | 800    | 18.7192 | 18.6833 | 1.1099 | 0.0980 | 0.1286 | 0.3296  | 0.6705  |
| 36     | 860    | 18.6530 | 18.6123 | 1.1932 | 0.1111 | 0.1373 | 0.3033  | 0.6968  |
| 37     | 920    | 18.6245 | 18.5706 | 1.2764 | 0.1471 | 0.1481 | 0.2790  | 0.7211  |

TABLA 3.1

## PRUEBA T1S1R1 Continúación

| Número | Tiempo | Wtotal  | Wtubo   | Tata   | Ea     | Fe     | Ea teor | Fe teor |
|--------|--------|---------|---------|--------|--------|--------|---------|---------|
| 38     | 980    | 18.8738 | 18.8442 | 1.3597 | 0.0808 | 0.1576 | 0.2567  | 0.7434  |
| 39     | 1040   | 19.1235 | 19.0968 | 1.4429 | 0.0729 | 0.1640 | 0.2362  | 0.7639  |
| 40     | 1100   | 18.6141 | 18.5880 | 1.5261 | 0.0713 | 0.1700 | 0.2174  | 0.7828  |
| 41     | 1160   | 18.4444 | 18.4110 | 1.6094 | 0.0912 | 0.1767 | 0.2000  | 0.8001  |
| 42     | 1220   | 18.7153 | 18.6902 | 1.6926 | 0.0685 | 0.1834 | 0.1840  | 0.8161  |
| 43     | 1280   | 17.7835 | 17.7571 | 1.7759 | 0.0721 | 0.1892 | 0.1693  | 0.8308  |
| 44     | 1340   | 18.9633 | 18.9262 | 1.8591 | 0.1013 | 0.1964 | 0.1558  | 0.8444  |
| 45     | 1400   | 18.8415 | 18.8100 | 1.9424 | 0.0860 | 0.2042 | 0.1434  | 0.8568  |
| 46     | 1460   | 18.9867 | 18.9629 | 2.0256 | 0.0650 | 0.2105 | 0.1319  | 0.8683  |
| 47     | 1520   | 18.6988 | 18.6814 | 2.1089 | 0.0475 | 0.2152 | 0.1214  | 0.8788  |
| 48     | 1580   | 18.7086 | 18.6875 | 2.1921 | 0.0576 | 0.2196 | 0.1117  | 0.8885  |
| 49     | 1640   | 18.3822 | 18.3605 | 2.2753 | 0.0592 | 0.2244 | 0.1028  | 0.8974  |
| 50     | 1700   | 18.0147 | 17.9890 | 2.3586 | 0.0702 | 0.2298 | 0.0946  | 0.9057  |
| 51     | 1760   | 18.8873 | 18.8645 | 2.4418 | 0.0622 | 0.2353 | 0.0870  | 0.9132  |
| 52     | 1820   | 18.9042 | 18.8748 | 2.5251 | 0.0803 | 0.2413 | 0.0801  | 0.9202  |
| 53     | 1880   | 19.0866 | 19.0658 | 2.6083 | 0.0568 | 0.2470 | 0.0737  | 0.9266  |
| 54     | 1940   | 18.7241 | 18.6889 | 2.6916 | 0.0961 | 0.2533 | 0.0678  | 0.9325  |
| 55     | 2000   | 18.5137 | 18.4954 | 2.8581 | 0.0500 | 0.2655 | 0.0574  | 0.9429  |
| 56     | 2100   | 18.9214 | 18.9012 | 3.0245 | 0.0551 | 0.2742 | 0.0486  | 0.9517  |
| 57     | 2300   | 18.8160 | 18.7877 | 3.1910 | 0.0773 | 0.2853 | 0.0411  | 0.9592  |
| 58     | 2420   | 18.7408 | 18.7255 | 3.3575 | 0.0418 | 0.2952 | 0.0348  | 0.9655  |
| 59     | 2540   | 18.4697 | 18.4412 | 3.5240 | 0.0778 | 0.3051 | 0.0295  | 0.9708  |
| 60     | 2660   | 18.8731 | 18.8487 | 3.6905 | 0.0666 | 0.3171 | 0.0250  | 0.9754  |
| 61     | 2780   | 18.5967 | 18.5825 | 3.8570 | 0.0388 | 0.3259 | 0.0211  | 0.9792  |
| 62     | 2900   | 19.2842 | 19.2654 | 4.0235 | 0.0513 | 0.3334 | 0.0179  | 0.9825  |
| 63     | 3020   | 18.9683 | 18.9553 | 4.1900 | 0.0355 | 0.3406 | 0.0151  | 0.9852  |
| 64     | 3140   | 18.1158 | 18.0986 | 4.3564 | 0.0470 | 0.3475 | 0.0128  | 0.9875  |
| 65     | 3260   | 18.1104 | 18.0900 | 4.5229 | 0.0557 | 0.3560 | 0.0109  | 0.9895  |
| 66     | 3380   | 18.4772 | 18.4598 | 4.6894 | 0.0475 | 0.3646 | 0.0092  | 0.9912  |
| 67     | 3500   | 18.5408 | 18.5269 | 4.8559 | 0.0379 | 0.3717 | 0.0078  | 0.9926  |
| 68     | 3620   | 18.6077 | 18.5927 | 5.0224 | 0.0409 | 0.3783 | 0.0066  | 0.9938  |
| 69     | 3740   | 18.5822 | 18.5592 | 5.1889 | 0.0628 | 0.3869 | 0.0056  | 0.9948  |
| 70     | 3860   | 18.6081 | 18.5920 | 5.3554 | 0.0440 | 0.3958 | 0.0047  | 0.9957  |
| 71     | 3980   | 18.6524 | 18.6396 | 5.5219 | 0.0349 | 0.4024 | 0.0040  | 0.9964  |
| 72     | 4100   | 18.6600 | 18.6473 | 5.6884 | 0.0347 | 0.4082 | 0.0034  | 0.9970  |
| 73     | 4220   | 18.2420 | 18.2237 | 5.8548 | 0.0500 | 0.4152 | 0.0029  | 0.9975  |
| 74     | 4340   | 18.3800 | 18.3693 | 6.0213 | 0.0292 | 0.4218 | 0.0024  | 0.9980  |

FIG. 3.1-A

TISI/RI

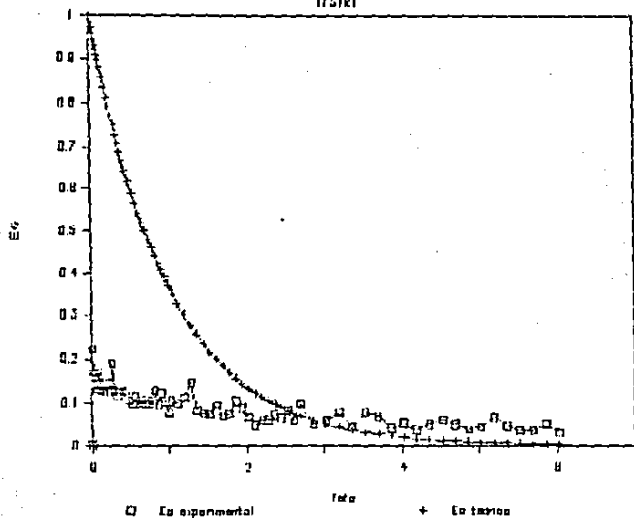


FIG. 3.1-B

TISI/RI

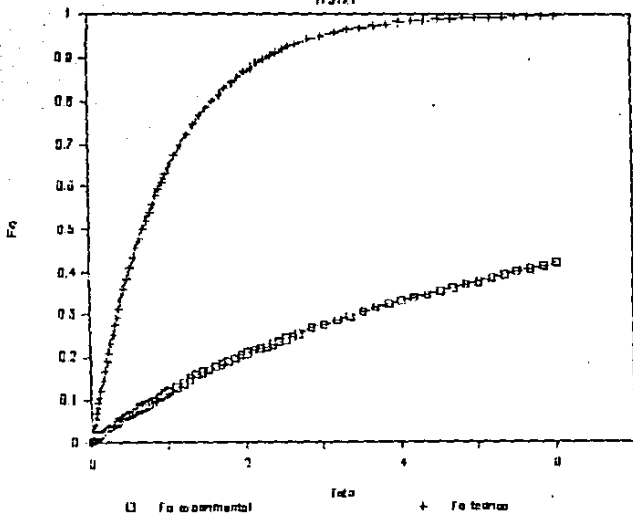


FIG. 3.2-A

T121P2

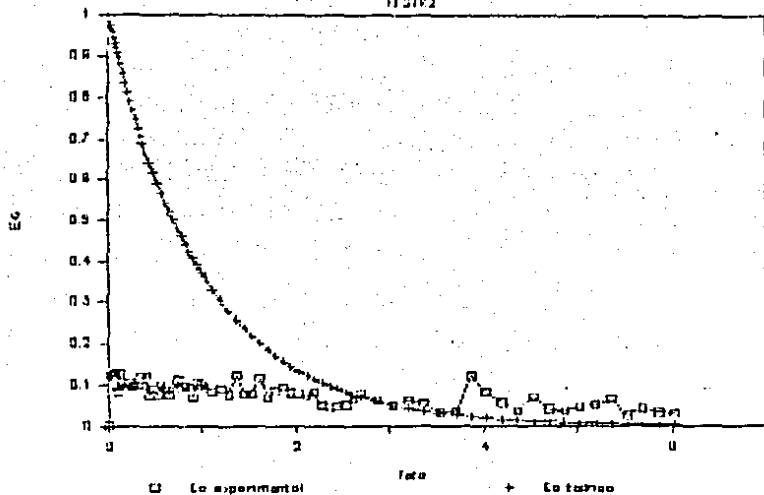


FIG. 3.2-B

T121P2

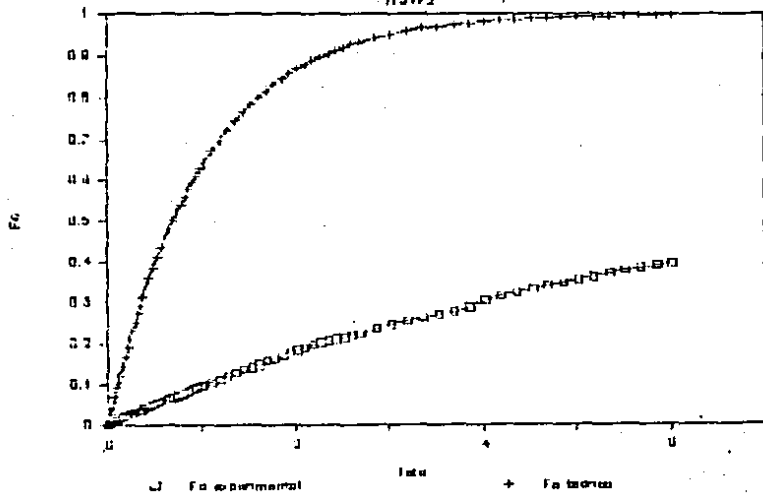


FIG. 3.3-A

TI 2281

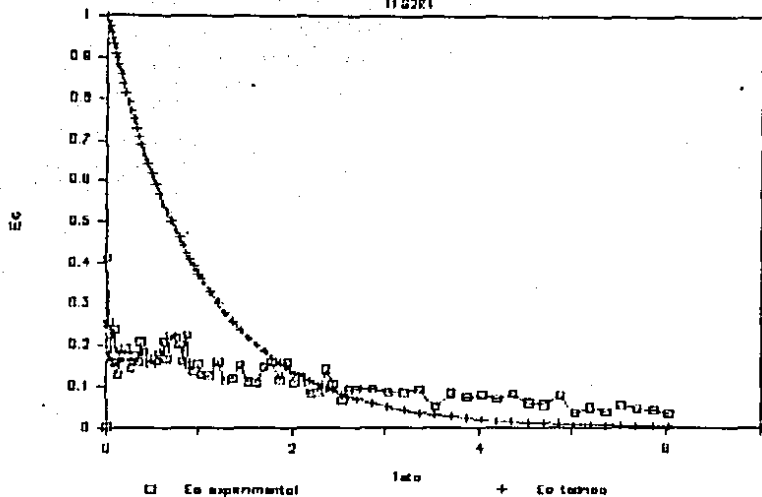


FIG. 3.3-B

TI 2281

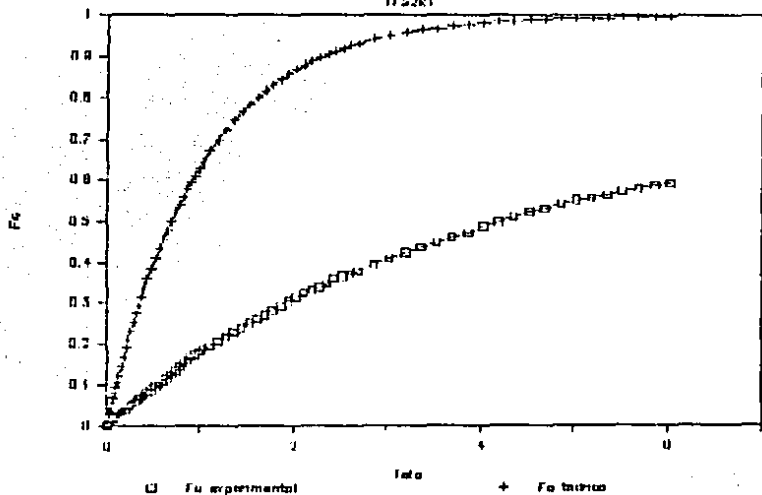


FIG. 3.4-A

TI 2382

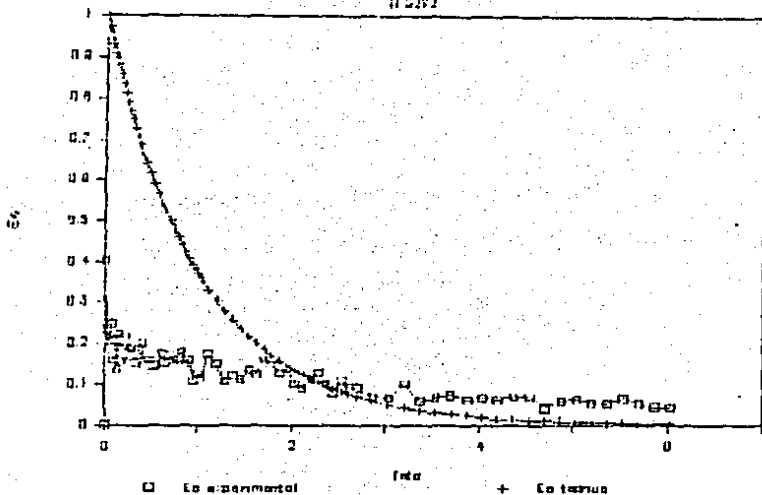


FIG. 3.4-B

TI 2382

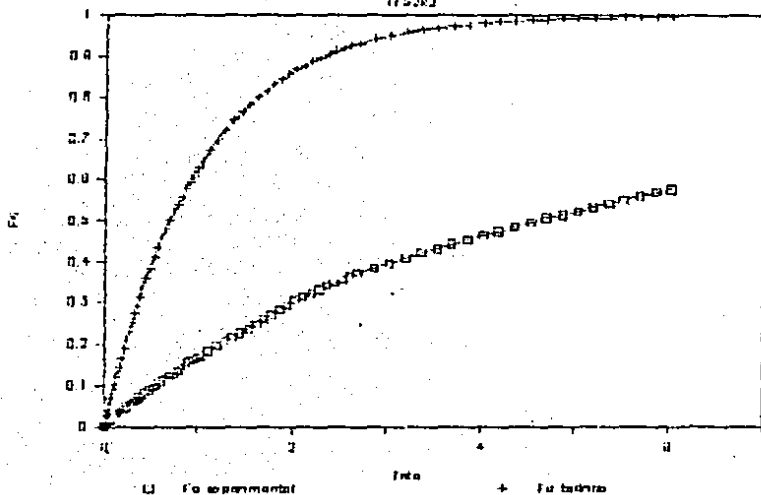


FIG. 3.5-A

TI 5381

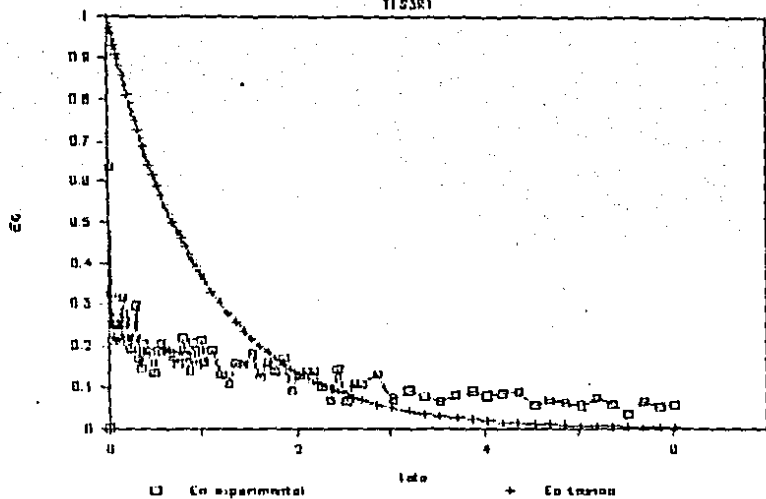


FIG. 3.5-B

TI 5381

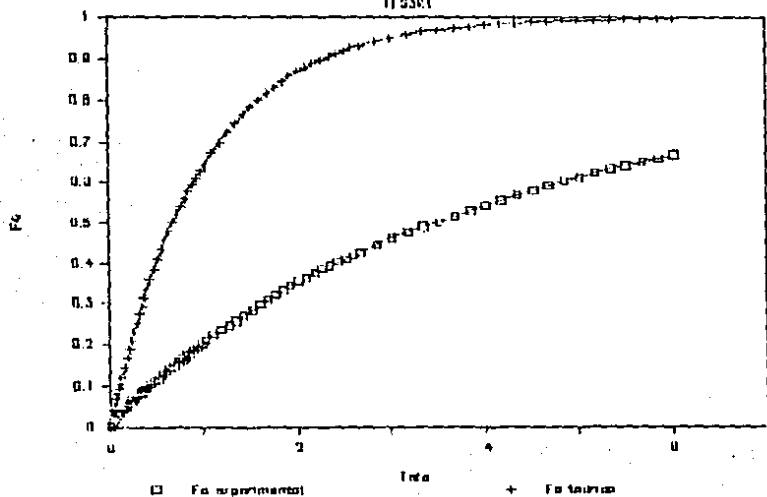


FIG. 3.6-A

TI 5372

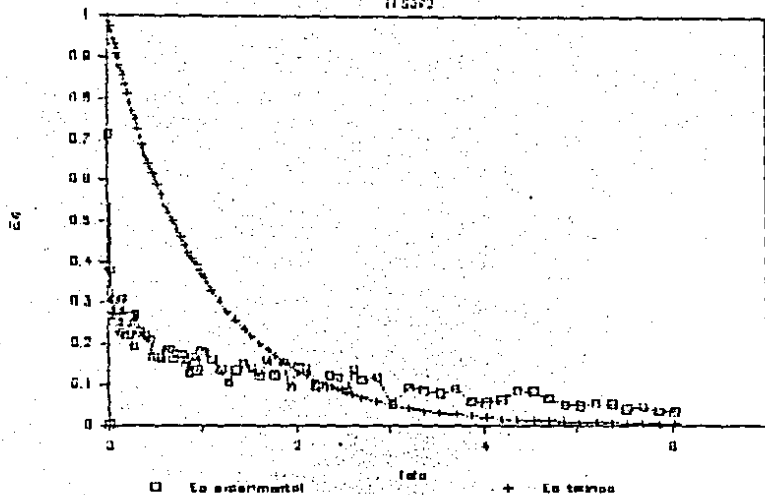


FIG. 3.6-B

TI 5372

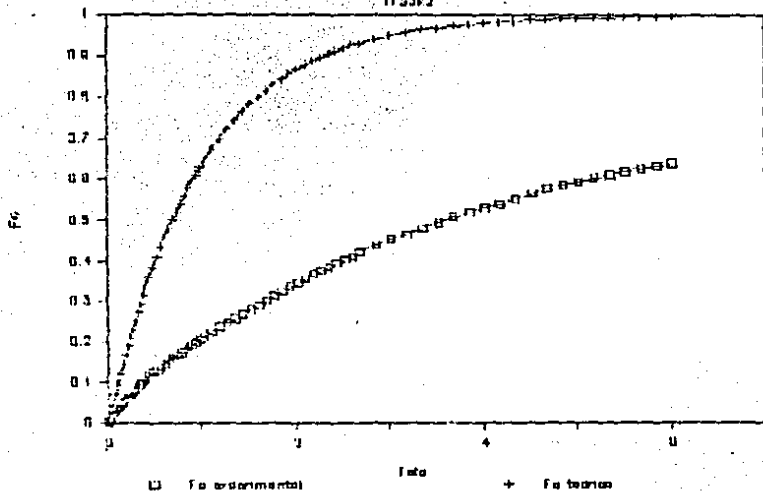


FIG. 3.7-A

TDSIRI

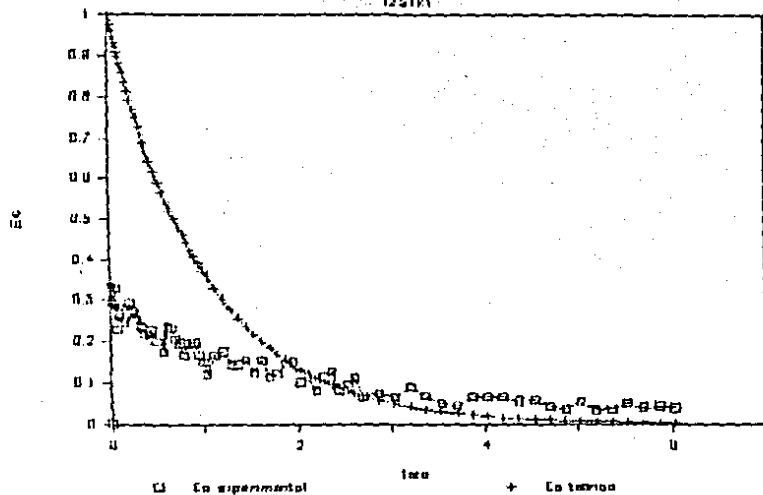


FIG. 3.7-B

TDSIRI

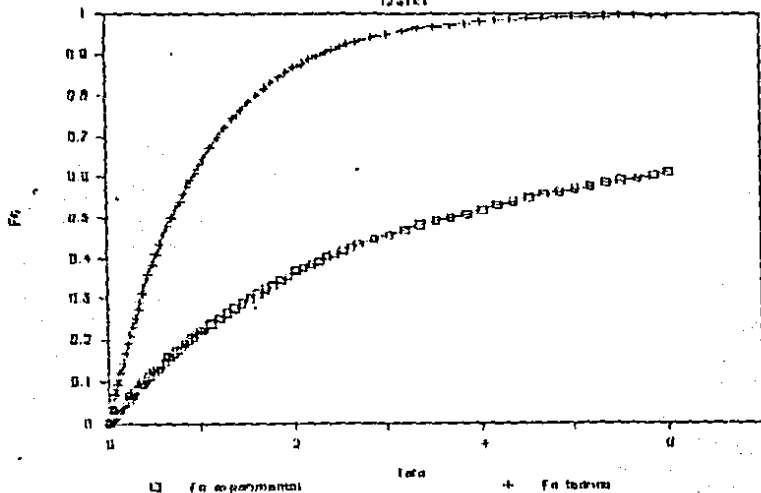


FIG. 3.8-A

125173

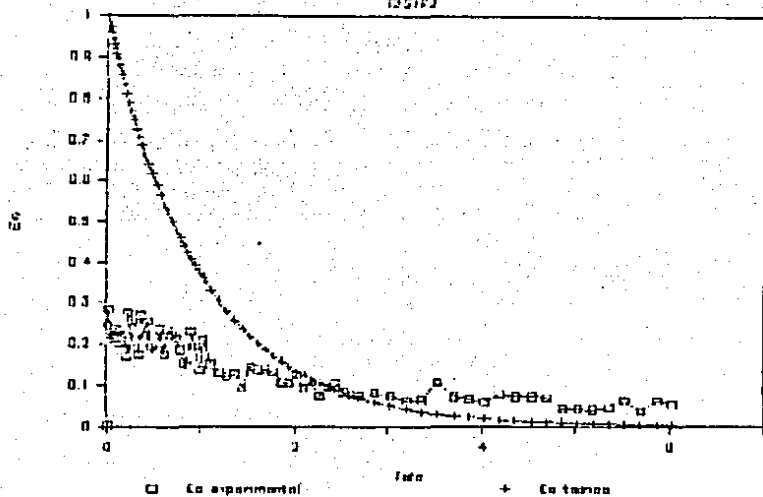


FIG. 3.8-B

125173

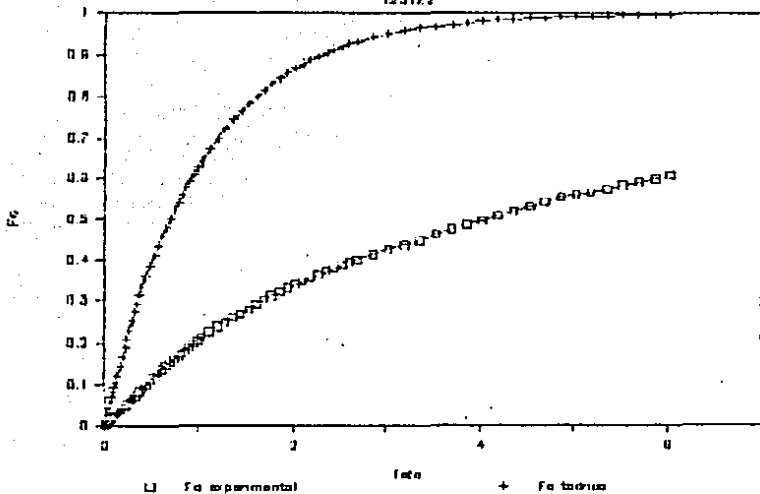


FIG. 3.9-A

T252P1

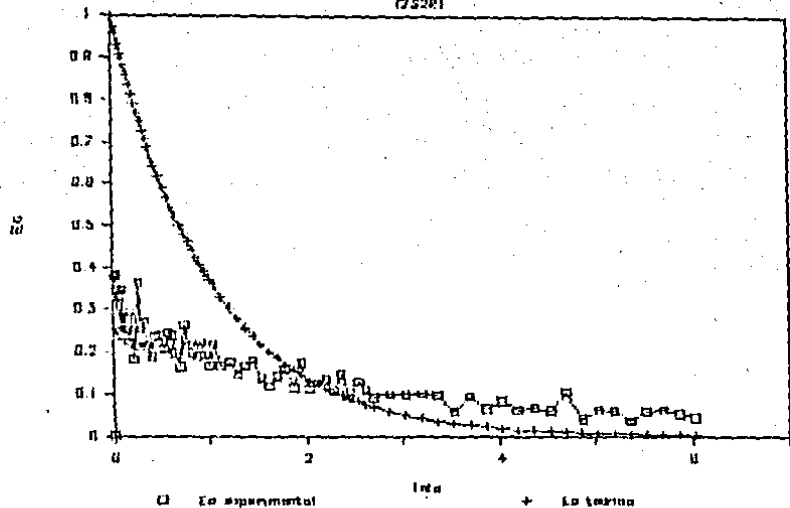


FIG. 3.9-B

T252P1

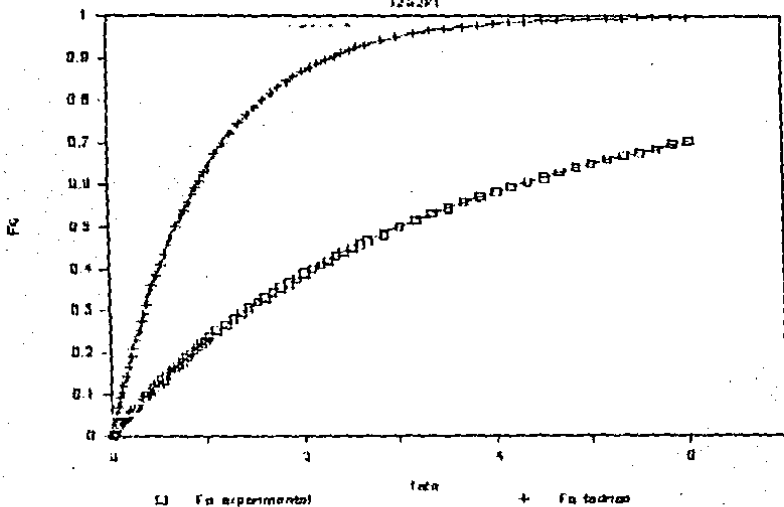


FIG. 3.10-A

T3372

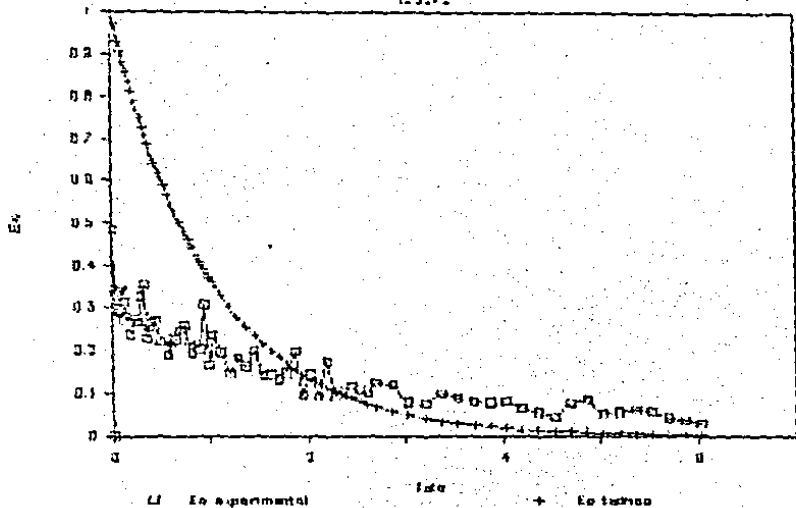


FIG. 3.10-B

T3372

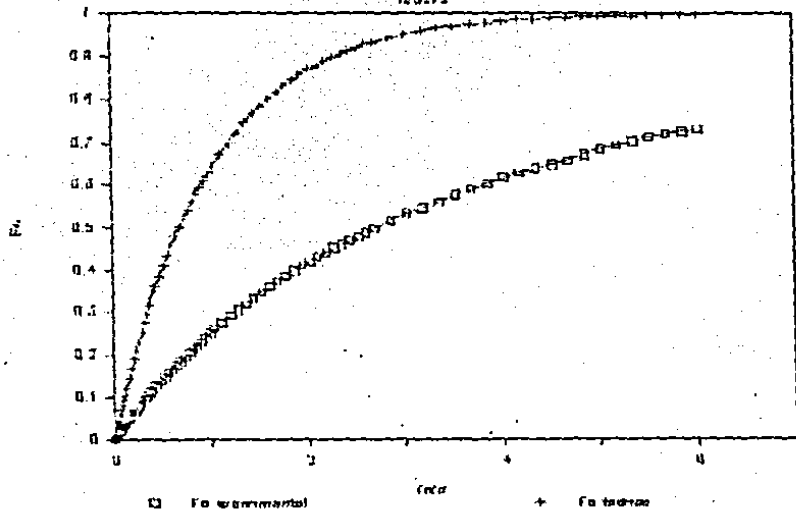


FIG. 3.11-A

T33381

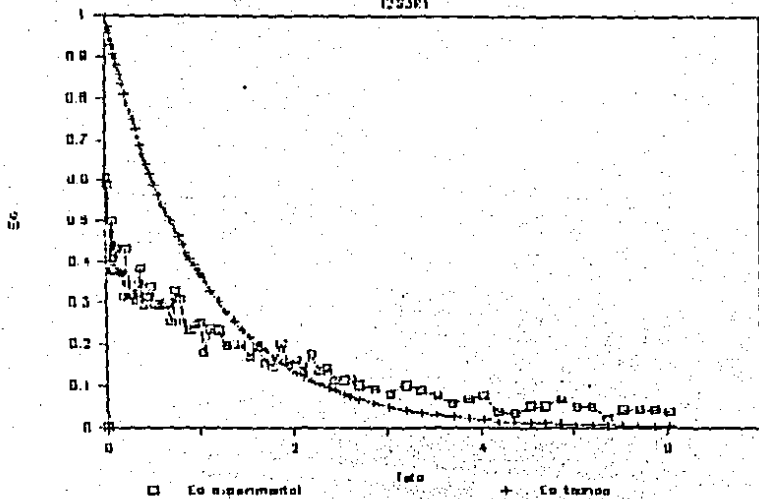


FIG. 3.11-B

T33381

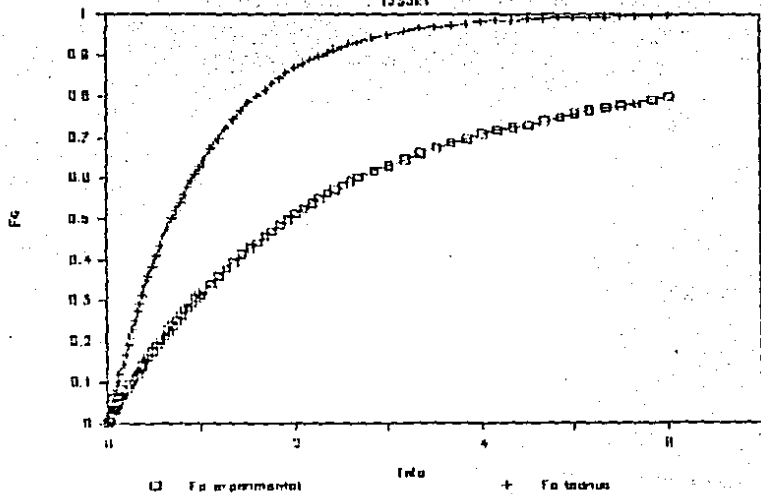


FIG. 3.12-A

T23372

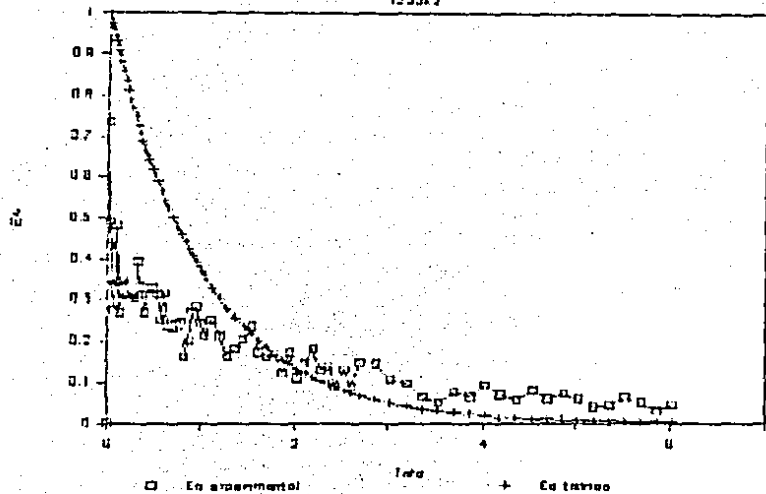


FIG. 3.12-B

T23372

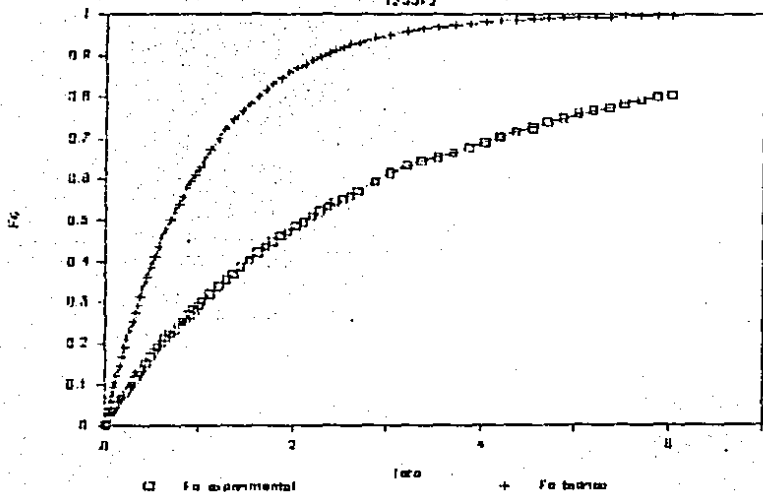


FIG. 3.13-A

135181

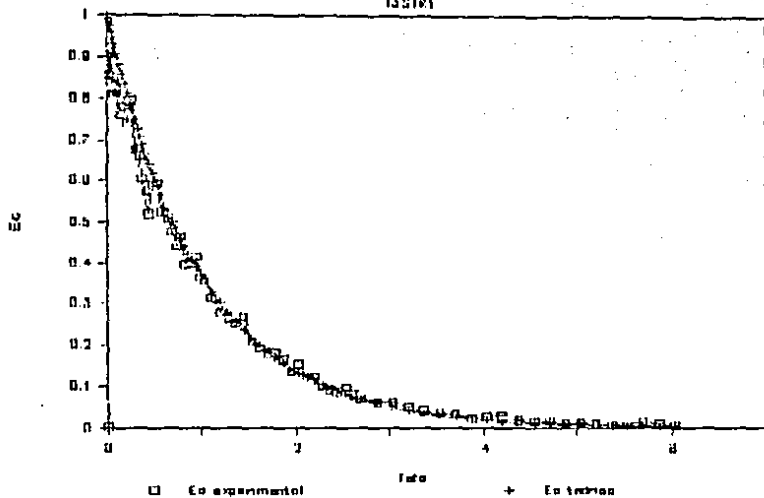


FIG. 3.13-B

135181

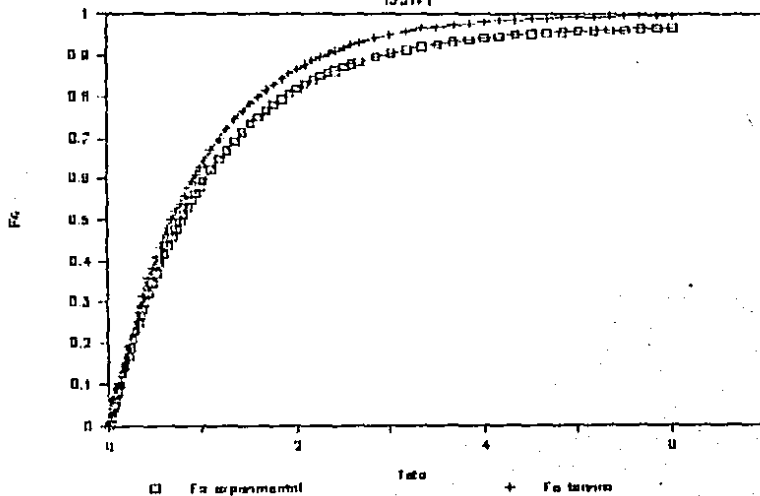


FIG. 3.14-A

13512

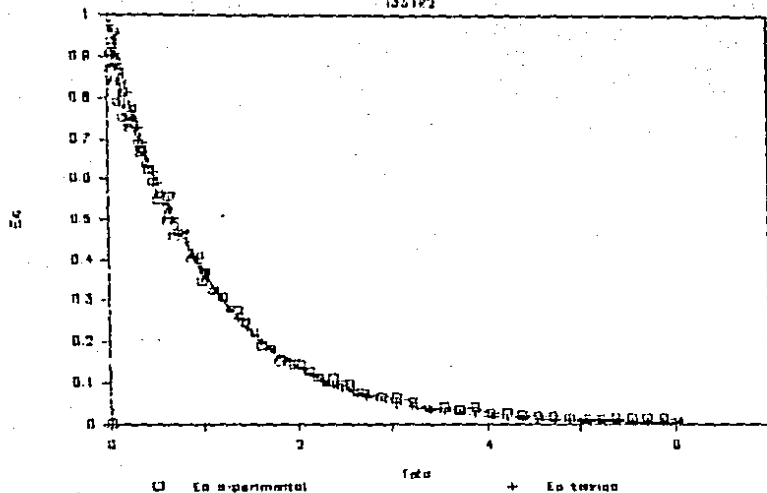


FIG. 3.14-B

13512

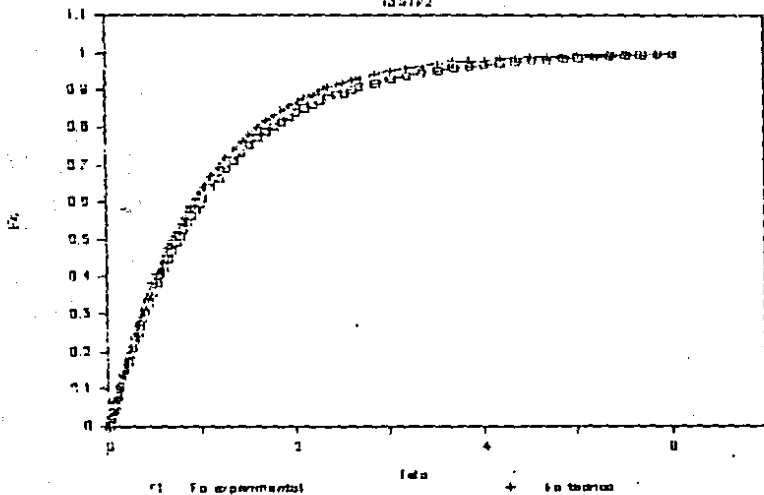


FIG. 3.15-A

T322F1

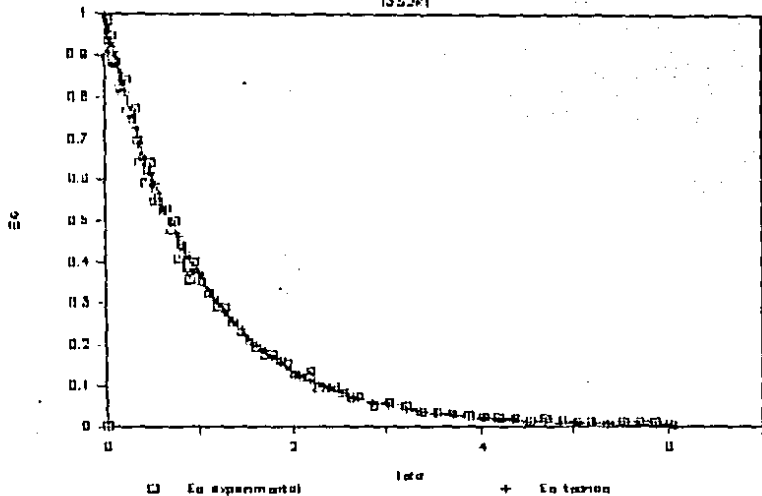


FIG. 3.15-B

T322F1

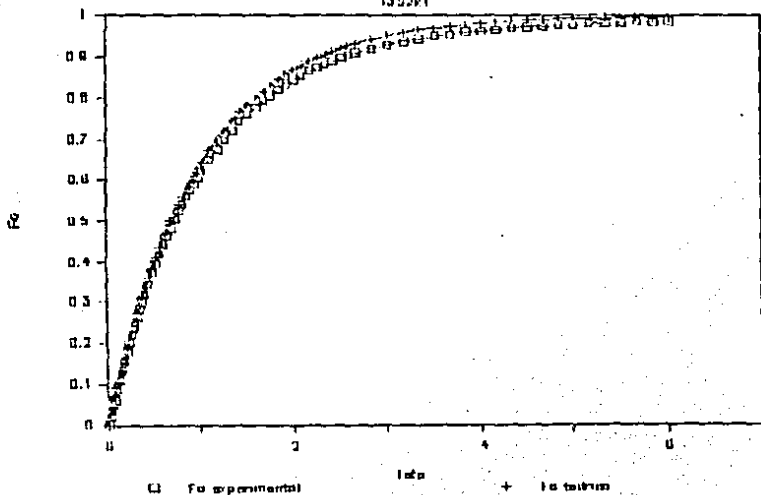


FIG. 3.18-A

132271

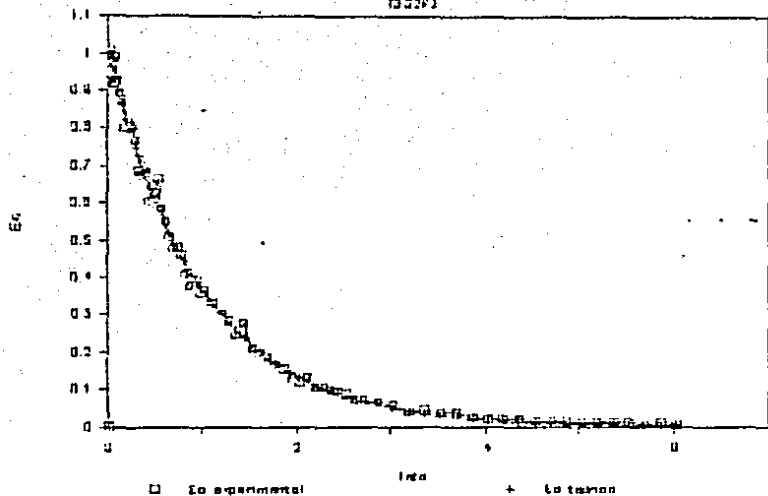


FIG. 3.18-B

132272

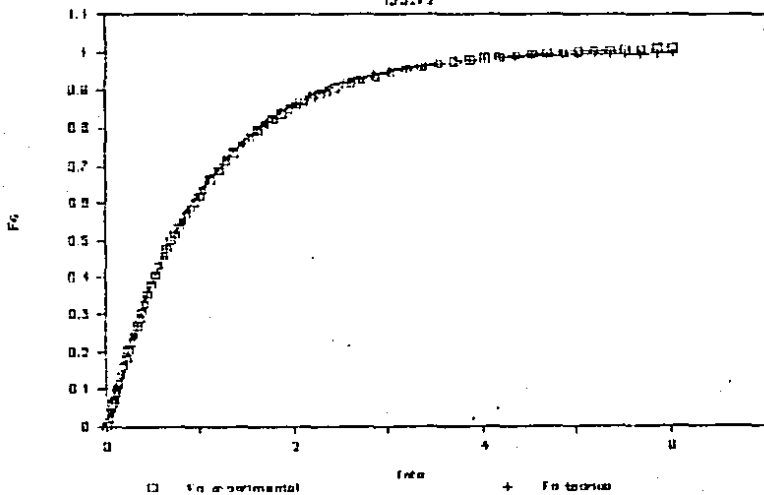


FIG. 3.17-A

7323F1

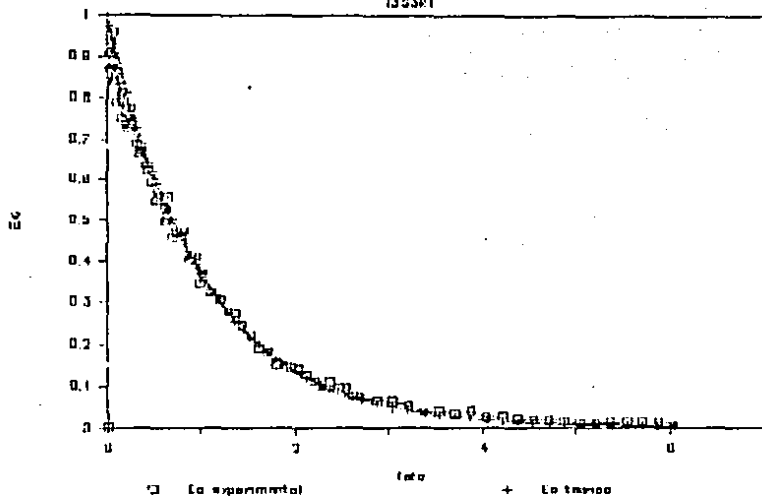


FIG. 3.17-B

7323F1

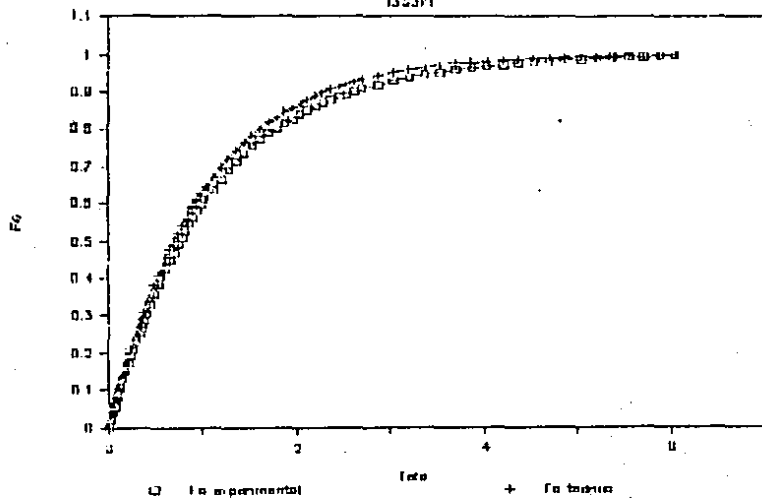


FIG. 3.18-A

T33373

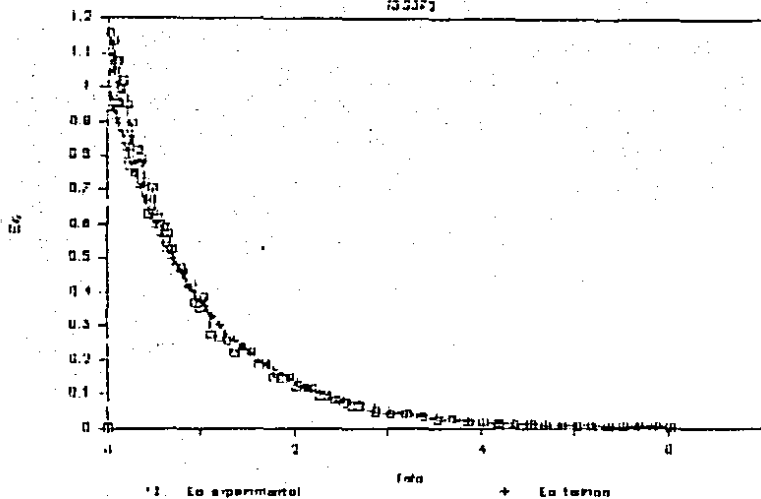


FIG. 3.18-B

T33372

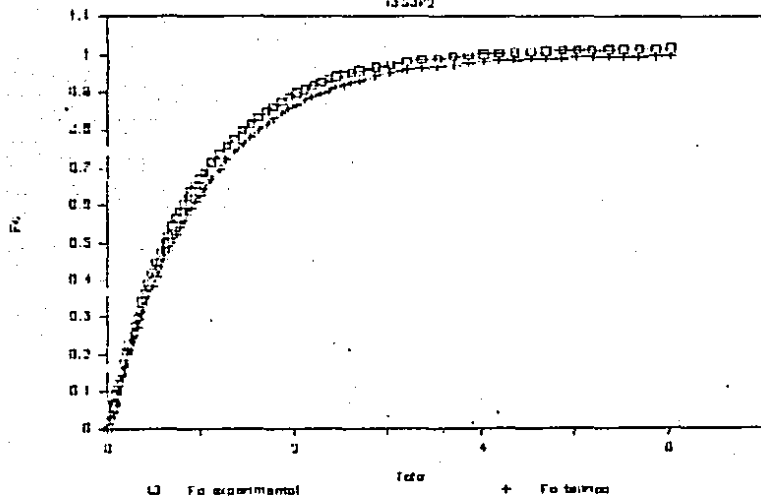


TABLA 3.19

## PRUEBA T1S1R1

| Número | Tiempo | Wtotal  | Wtubo   | Teta   | Eo     | Fo     | Eo teor | Fo teor |
|--------|--------|---------|---------|--------|--------|--------|---------|---------|
| inicio | 0      | 18.7894 | 18.7894 | 0.0000 | 0.0000 | 0.0000 | 1.0000  | 0.0000  |
| 1      | 10     | 18.8445 | 18.7628 | 0.0139 | 0.5247 | 0.0036 | 0.9862  | 0.0138  |
| 2      | 20     | 18.7609 | 18.6983 | 0.0277 | 0.4020 | 0.0101 | 0.9726  | 0.0274  |
| 3      | 30     | 18.8490 | 18.7881 | 0.0416 | 0.3911 | 0.0156 | 0.9592  | 0.0408  |
| 4      | 40     | 18.6165 | 18.5686 | 0.0555 | 0.3076 | 0.0204 | 0.9460  | 0.0540  |
| 5      | 50     | 18.7625 | 18.7099 | 0.0694 | 0.3378 | 0.0249 | 0.9330  | 0.0670  |
| 6      | 60     | 19.2936 | 19.2313 | 0.0832 | 0.4001 | 0.0300 | 0.9201  | 0.0799  |
| 7      | 70     | 19.0695 | 19.0168 | 0.0971 | 0.3385 | 0.0351 | 0.9074  | 0.0926  |
| 8      | 80     | 18.7862 | 18.7351 | 0.1110 | 0.3282 | 0.0398 | 0.8949  | 0.1051  |
| 9      | 90     | 18.8054 | 18.7592 | 0.1249 | 0.2967 | 0.0441 | 0.8826  | 0.1174  |
| 10     | 110    | 18.7034 | 18.6556 | 0.1526 | 0.3070 | 0.0525 | 0.8585  | 0.1415  |
| 11     | 130    | 18.8538 | 18.8089 | 0.1804 | 0.2884 | 0.0607 | 0.8350  | 0.1650  |
| 12     | 150    | 18.8223 | 18.7765 | 0.2081 | 0.2941 | 0.0688 | 0.8121  | 0.1879  |
| 13     | 170    | 18.4694 | 18.4180 | 0.2359 | 0.3301 | 0.0775 | 0.7899  | 0.2101  |
| 14     | 190    | 19.0752 | 19.0060 | 0.2636 | 0.4444 | 0.0882 | 0.7683  | 0.2317  |
| 15     | 210    | 19.1277 | 19.0798 | 0.2914 | 0.3076 | 0.0987 | 0.7473  | 0.2528  |
| 16     | 230    | 18.6122 | 18.5698 | 0.3191 | 0.2723 | 0.1067 | 0.7268  | 0.2732  |
| 17     | 250    | 18.7863 | 18.7417 | 0.3469 | 0.2864 | 0.1145 | 0.7069  | 0.2931  |
| 18     | 270    | 18.7456 | 18.7006 | 0.3746 | 0.2890 | 0.1224 | 0.6876  | 0.3124  |
| 19     | 290    | 18.4821 | 18.4357 | 0.4023 | 0.2980 | 0.1306 | 0.6687  | 0.3313  |
| 20     | 320    | 18.2936 | 18.2517 | 0.4440 | 0.2691 | 0.1424 | 0.6415  | 0.3585  |
| 21     | 350    | 18.8043 | 18.7666 | 0.4856 | 0.2421 | 0.1530 | 0.6153  | 0.3847  |
| 22     | 380    | 18.5906 | 18.5545 | 0.5272 | 0.2318 | 0.1629 | 0.5902  | 0.4098  |
| 23     | 410    | 18.4650 | 18.4236 | 0.5688 | 0.2659 | 0.1732 | 0.5662  | 0.4338  |
| 24     | 440    | 18.8880 | 18.8533 | 0.6105 | 0.2229 | 0.1834 | 0.5431  | 0.4569  |
| 25     | 470    | 18.9834 | 18.9452 | 0.6521 | 0.2453 | 0.1932 | 0.5210  | 0.4791  |
| 26     | 500    | 18.7792 | 18.7444 | 0.6937 | 0.2235 | 0.2029 | 0.4997  | 0.5003  |
| 27     | 530    | 18.8009 | 18.7657 | 0.7353 | 0.2261 | 0.2123 | 0.4794  | 0.5207  |
| 28     | 560    | 19.0172 | 18.9791 | 0.7769 | 0.2447 | 0.2221 | 0.4598  | 0.5402  |
| 29     | 590    | 18.6983 | 18.6514 | 0.8186 | 0.3012 | 0.2334 | 0.4411  | 0.5590  |
| 30     | 620    | 18.7404 | 18.7058 | 0.8602 | 0.2222 | 0.2443 | 0.4231  | 0.5770  |
| 31     | 650    | 18.8442 | 18.7997 | 0.9018 | 0.2858 | 0.2549 | 0.4058  | 0.5942  |
| 32     | 680    | 19.0573 | 19.0207 | 0.9434 | 0.2351 | 0.2657 | 0.3893  | 0.6108  |
| 33     | 710    | 18.5960 | 18.5680 | 0.9851 | 0.1798 | 0.2744 | 0.3734  | 0.6266  |
| 34     | 740    | 18.6788 | 18.6417 | 1.0267 | 0.2383 | 0.2831 | 0.3582  | 0.6419  |
| 35     | 800    | 18.7192 | 18.6833 | 1.1099 | 0.2306 | 0.3026 | 0.3296  | 0.6705  |
| 36     | 860    | 18.6530 | 18.6123 | 1.1932 | 0.2614 | 0.3231 | 0.3033  | 0.6968  |
| 37     | 920    | 18.6245 | 18.5706 | 1.2764 | 0.3462 | 0.3483 | 0.2790  | 0.7211  |

TABLA 3.19

## PRUEBA T1S1R1 - Continuación

| Número | Tiempo | Wtotal  | Wtubo   | Teta   | Eo     | Fo     | Eo teor | Fo teor |
|--------|--------|---------|---------|--------|--------|--------|---------|---------|
| 38     | 980    | 18.8738 | 18.8442 | 1.3597 | 0.1901 | 0.3707 | 0.2567  | 0.7434  |
| 39     | 1040   | 19.1235 | 19.0968 | 1.4429 | 0.1715 | 0.3857 | 0.2362  | 0.7639  |
| 40     | 1100   | 18.6141 | 18.5880 | 1.5261 | 0.1676 | 0.3998 | 0.2174  | 0.7828  |
| 41     | 1160   | 18.4444 | 18.4110 | 1.6094 | 0.2145 | 0.4157 | 0.2000  | 0.8001  |
| 42     | 1220   | 18.7153 | 18.6902 | 1.6926 | 0.1612 | 0.4314 | 0.1840  | 0.8161  |
| 43     | 1280   | 17.7835 | 17.7571 | 1.7759 | 0.1696 | 0.4451 | 0.1693  | 0.8308  |
| 44     | 1340   | 18.9633 | 18.9262 | 1.8591 | 0.2383 | 0.4621 | 0.1558  | 0.8444  |
| 45     | 1400   | 18.8415 | 18.8100 | 1.9424 | 0.2023 | 0.4805 | 0.1434  | 0.8568  |
| 46     | 1460   | 18.9867 | 18.9629 | 2.0256 | 0.1529 | 0.4952 | 0.1319  | 0.8683  |
| 47     | 1520   | 18.6988 | 18.6814 | 2.1089 | 0.1117 | 0.5062 | 0.1214  | 0.8788  |
| 48     | 1580   | 18.7086 | 18.6875 | 2.1921 | 0.1355 | 0.5165 | 0.1117  | 0.8885  |
| 49     | 1640   | 18.3822 | 18.3605 | 2.2753 | 0.1394 | 0.5280 | 0.1028  | 0.8974  |
| 50     | 1700   | 18.0147 | 17.9890 | 2.3586 | 0.1651 | 0.5407 | 0.0946  | 0.9057  |
| 51     | 1760   | 18.8873 | 18.8645 | 2.4418 | 0.1464 | 0.5536 | 0.0870  | 0.9132  |
| 52     | 1820   | 18.9042 | 18.8748 | 2.5251 | 0.1888 | 0.5676 | 0.0801  | 0.9202  |
| 53     | 1880   | 19.0866 | 19.0658 | 2.6083 | 0.1336 | 0.5810 | 0.0737  | 0.9266  |
| 54     | 1940   | 18.7241 | 18.6889 | 2.6916 | 0.2261 | 0.5960 | 0.0678  | 0.9325  |
| 55     | 2060   | 18.5137 | 18.4954 | 2.8581 | 0.1175 | 0.6246 | 0.0574  | 0.9429  |
| 56     | 2180   | 18.9214 | 18.9012 | 3.0245 | 0.1297 | 0.6451 | 0.0486  | 0.9517  |
| 57     | 2300   | 18.8160 | 18.7877 | 3.1910 | 0.1818 | 0.6711 | 0.0411  | 0.9592  |
| 58     | 2420   | 18.7408 | 18.7255 | 3.3575 | 0.0983 | 0.6944 | 0.0348  | 0.9655  |
| 59     | 2540   | 18.4697 | 18.4412 | 3.5240 | 0.1830 | 0.7178 | 0.0295  | 0.9708  |
| 60     | 2660   | 18.8731 | 18.8487 | 3.6905 | 0.1567 | 0.7461 | 0.0250  | 0.9754  |
| 61     | 2780   | 18.5967 | 18.5825 | 3.8570 | 0.0912 | 0.7667 | 0.0211  | 0.9792  |
| 62     | 2900   | 19.2842 | 19.2654 | 4.0235 | 0.1207 | 0.7844 | 0.0179  | 0.9825  |
| 63     | 3020   | 18.9683 | 18.9553 | 4.1900 | 0.0835 | 0.8014 | 0.0151  | 0.9852  |
| 64     | 3140   | 18.1158 | 18.0986 | 4.3564 | 0.1105 | 0.8175 | 0.0128  | 0.9875  |
| 65     | 3260   | 18.1104 | 18.0900 | 4.5229 | 0.1310 | 0.8376 | 0.0109  | 0.9895  |
| 66     | 3380   | 18.4772 | 18.4598 | 4.6894 | 0.1117 | 0.8578 | 0.0092  | 0.9912  |
| 67     | 3500   | 18.5408 | 18.5269 | 4.8559 | 0.0893 | 0.8746 | 0.0078  | 0.9926  |
| 68     | 3620   | 18.6077 | 18.5927 | 5.0224 | 0.0963 | 0.8900 | 0.0066  | 0.9938  |
| 69     | 3740   | 18.5822 | 18.5592 | 5.1889 | 0.1477 | 0.9103 | 0.0056  | 0.9948  |
| 70     | 3860   | 18.6081 | 18.5920 | 5.3554 | 0.1034 | 0.9312 | 0.0047  | 0.9957  |
| 71     | 3980   | 18.6524 | 18.6396 | 5.5219 | 0.0822 | 0.9467 | 0.0040  | 0.9964  |
| 72     | 4100   | 18.6600 | 18.6473 | 5.6884 | 0.0816 | 0.9603 | 0.0034  | 0.9970  |
| 73     | 4220   | 18.2420 | 18.2237 | 5.8548 | 0.1175 | 0.9769 | 0.0029  | 0.9975  |
| 74     | 4340   | 18.3800 | 18.3693 | 6.0213 | 0.0687 | 0.9924 | 0.0024  | 0.9980  |

FIG. 3.19-A

TIZIRI

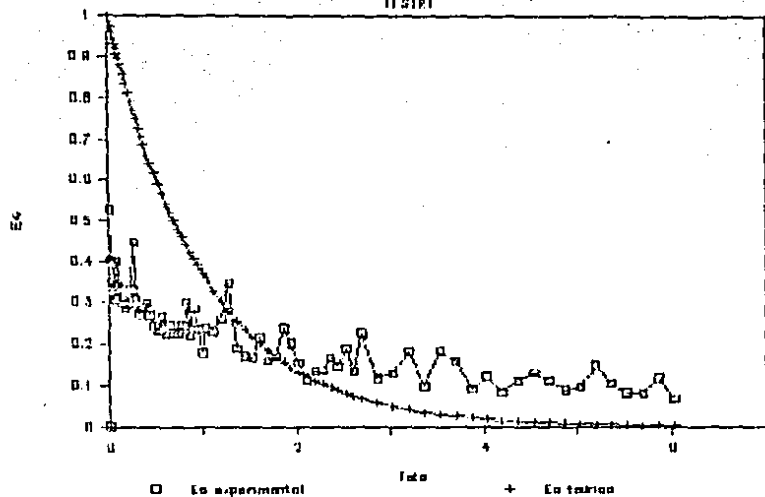


FIG. 3.19-B

TIZIRI

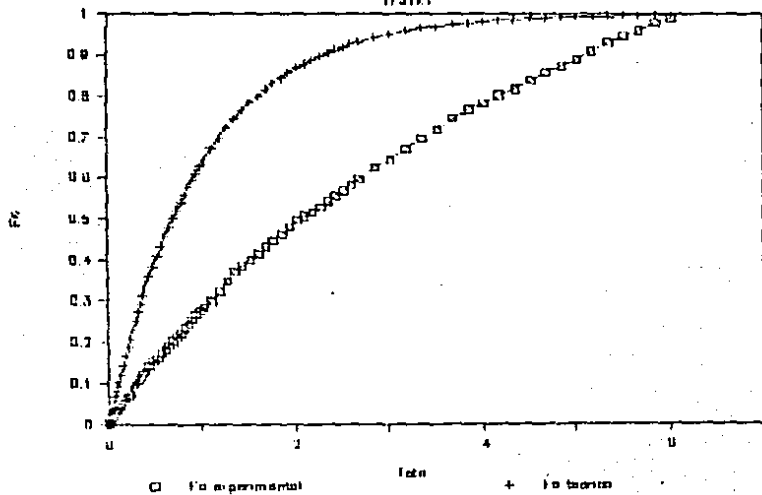


FIG. 3.20-A

TUSP2

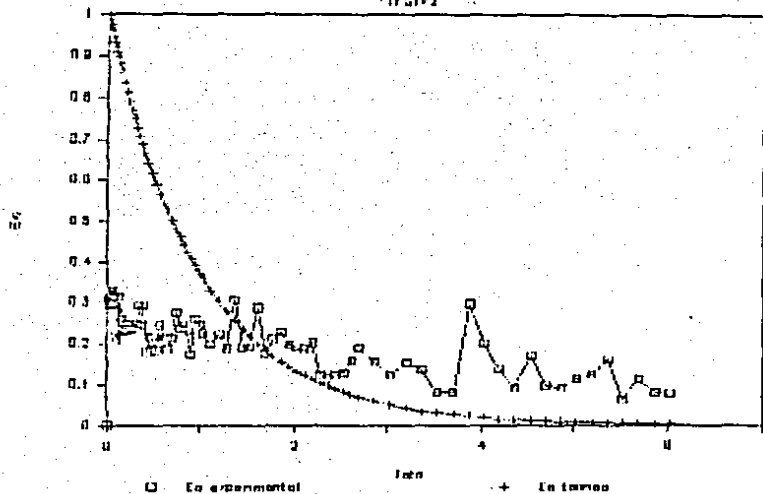


FIG. 3.20-B

TUSP2

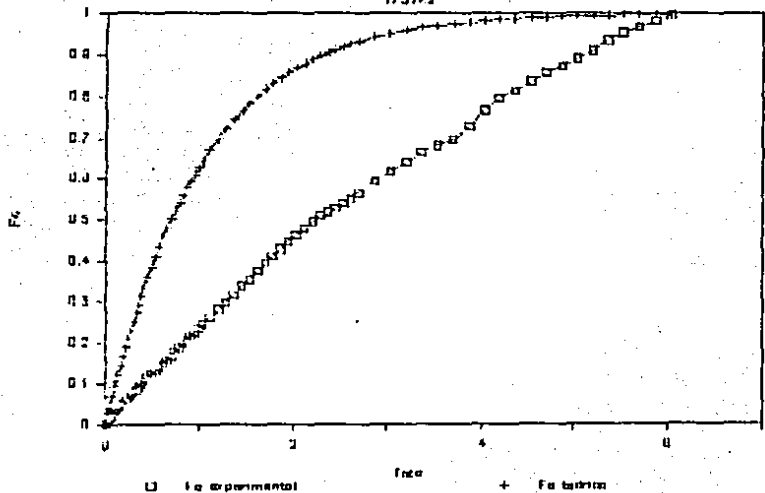


FIG. 3.21-A

T15281

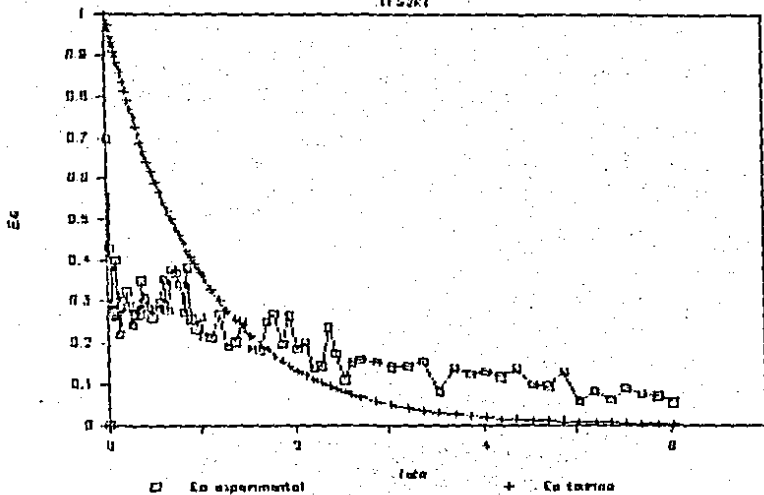


FIG. 3.21-B

T15281

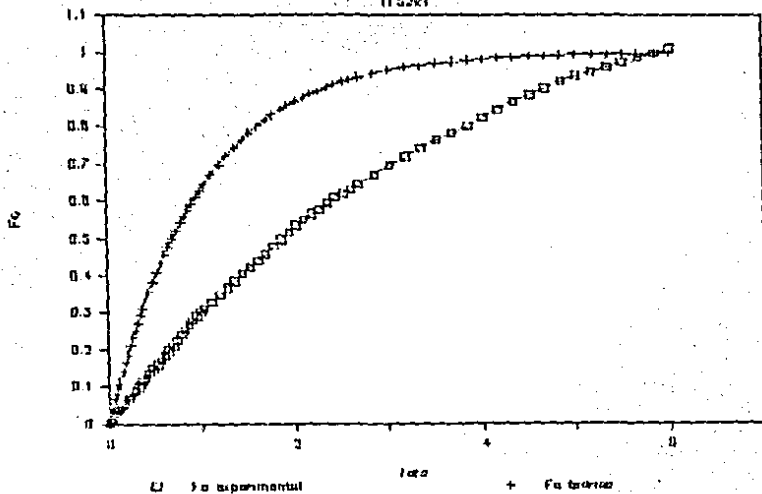


FIG. 3.22-A

11 5382

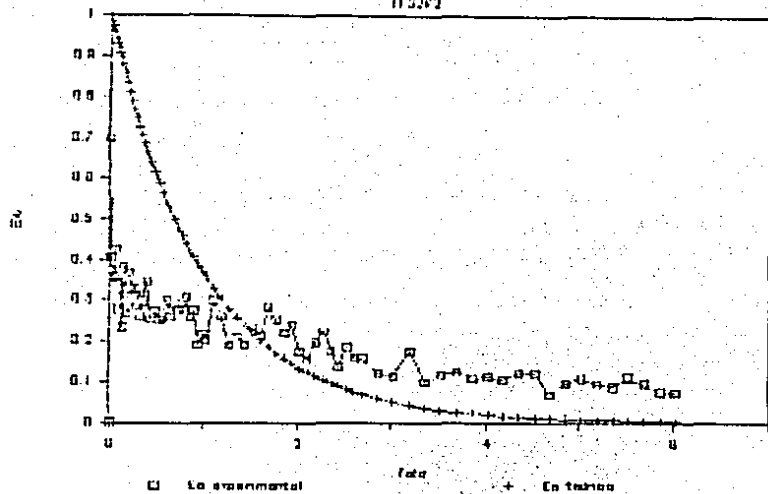


FIG. 3.22-B

11 5382

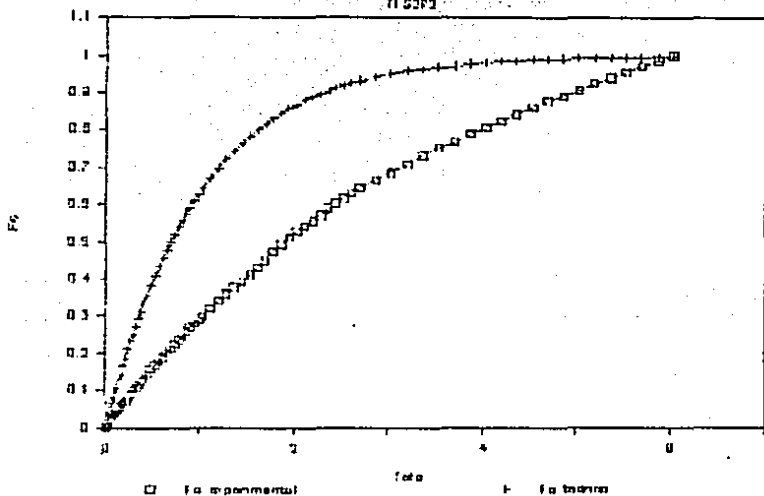


FIG. 3.23-A

TI SSP1

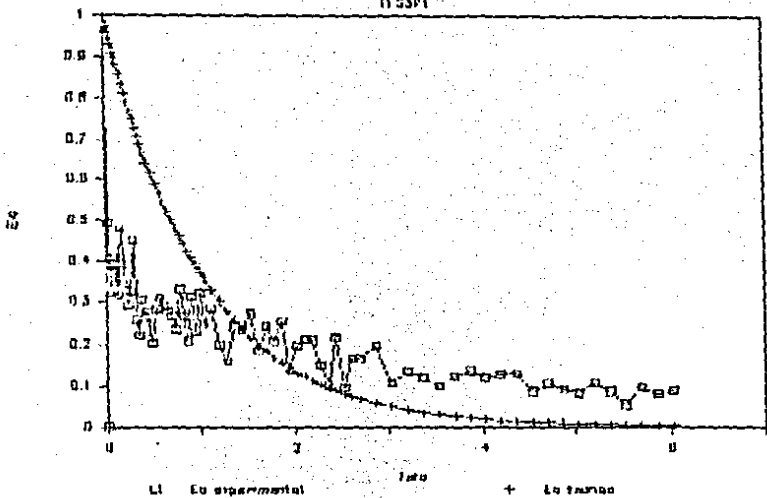


FIG. 3.23-B

TI SSP1

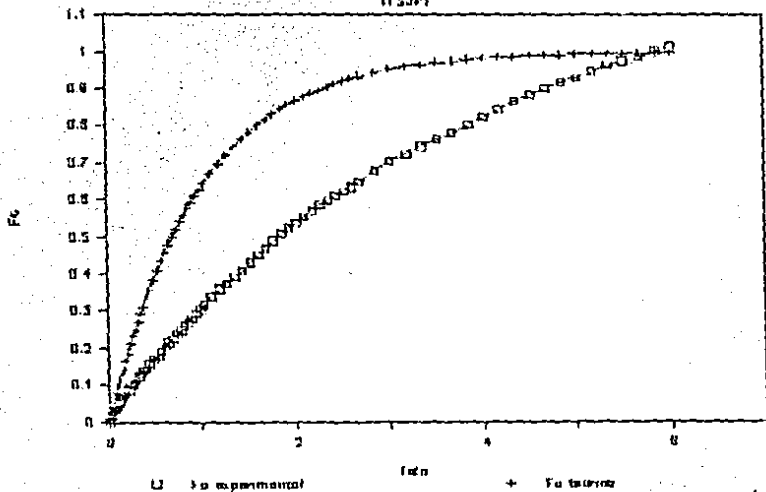


FIG. 3.24-A

115373

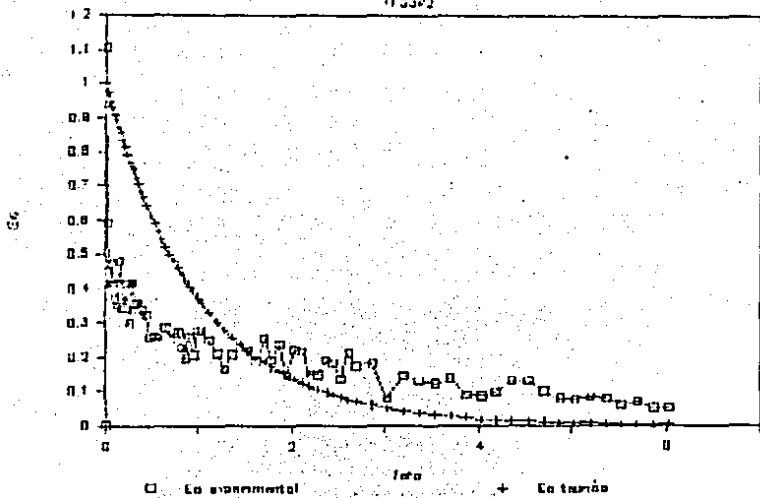


FIG. 3.24-B

115373

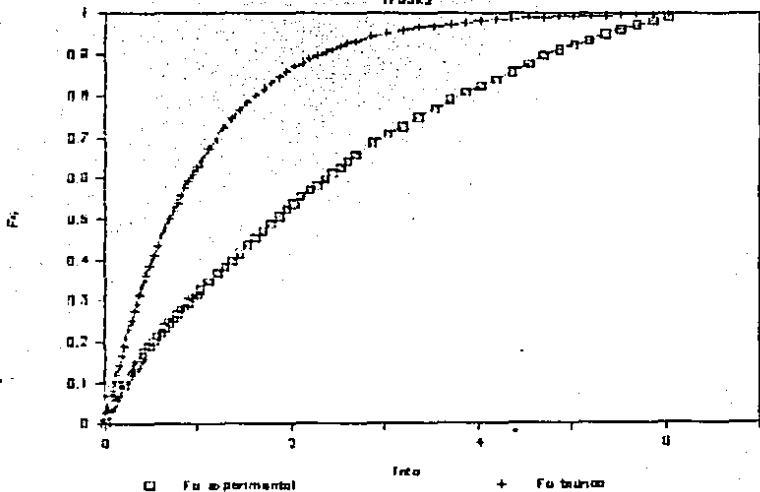


FIG. 3.25-A

T2511

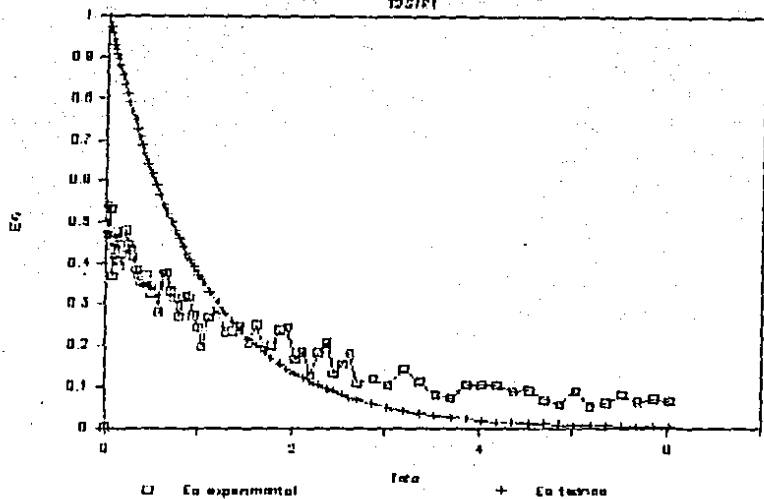


FIG. 3.25-B

T2511

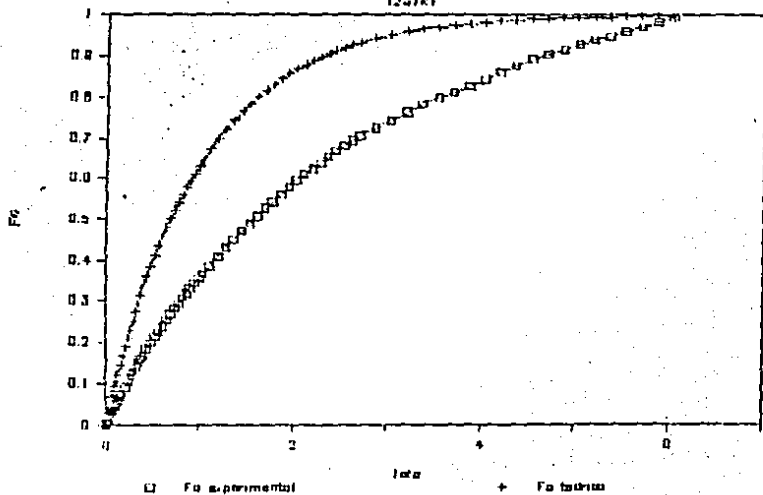


FIG. 3.26-A

722173

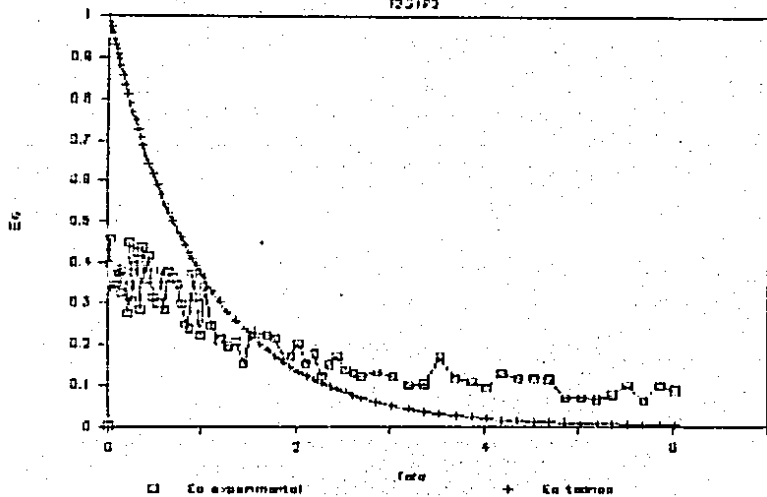


FIG. 3.26-B

722173

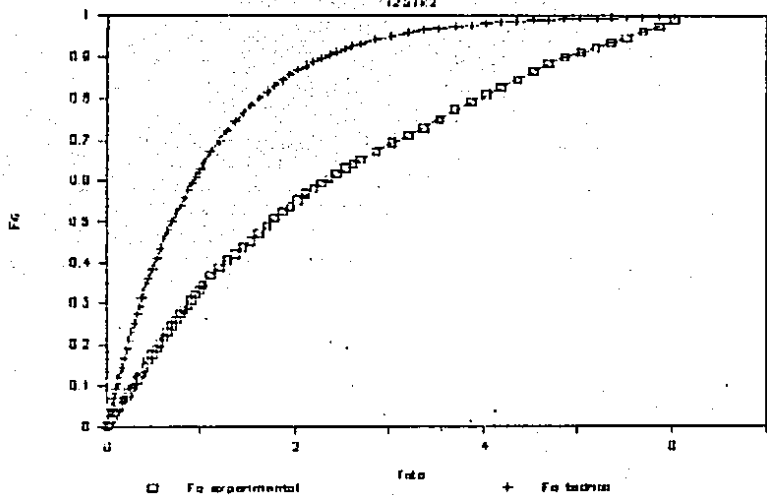


FIG. 3.27-A

(25291)

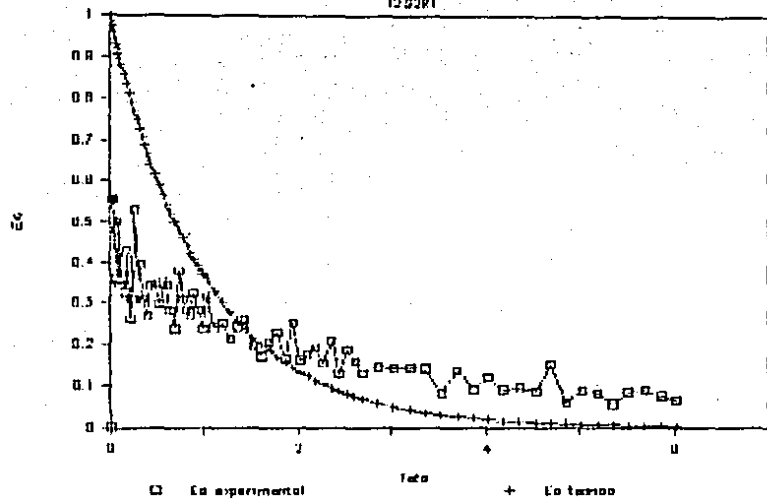


FIG. 3.27-B

(25291)

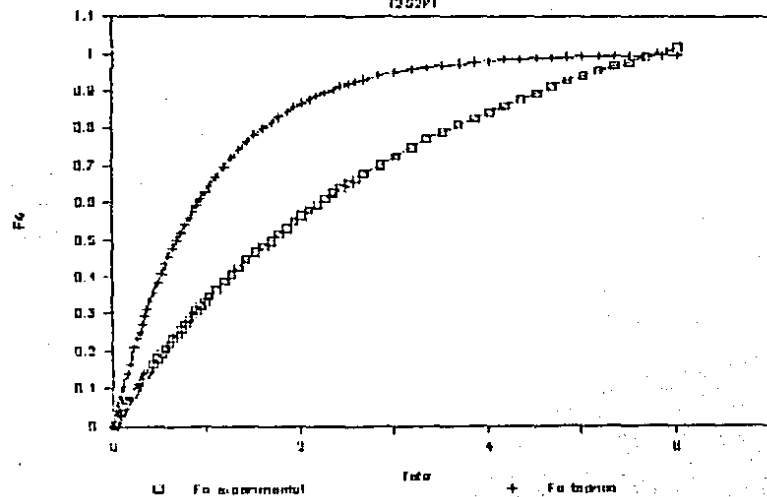


FIG. 3.28-A  
125292

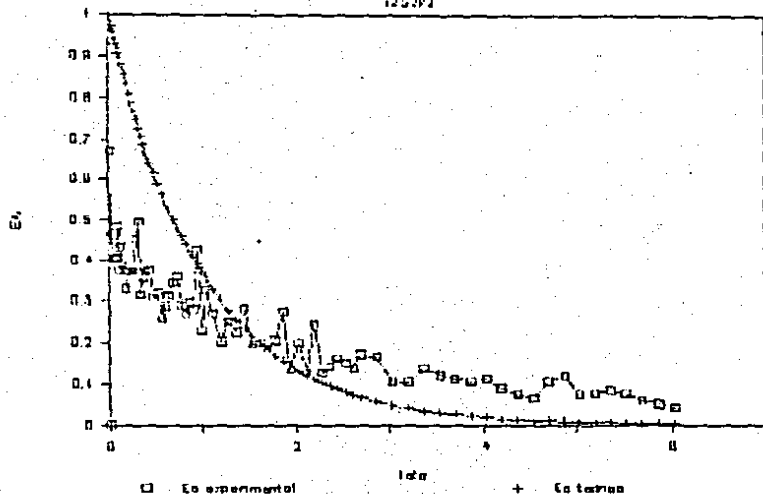


FIG. 3.28-B  
125292

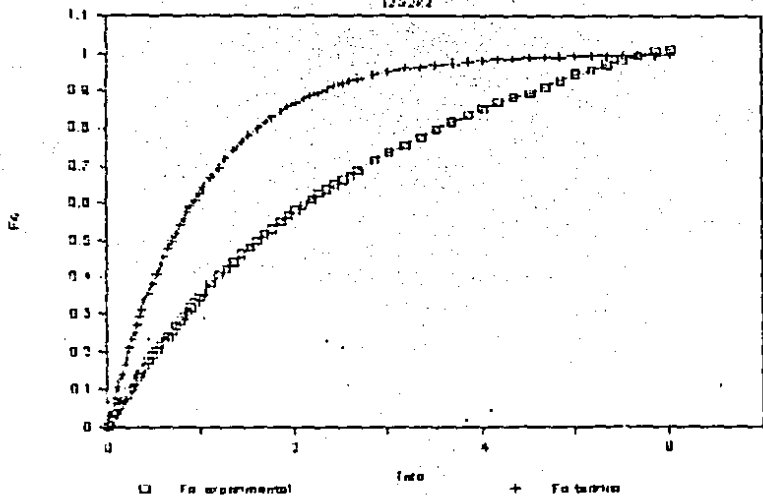


FIG. 3.29-A

T253R1

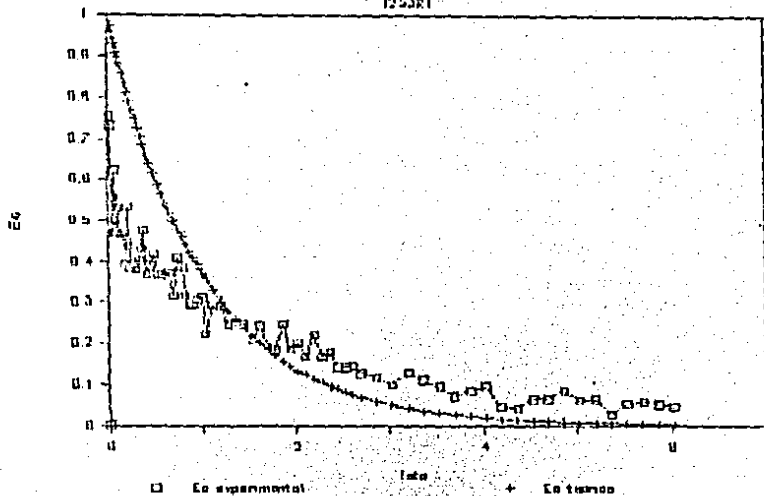


FIG. 3.29-B

T253R1

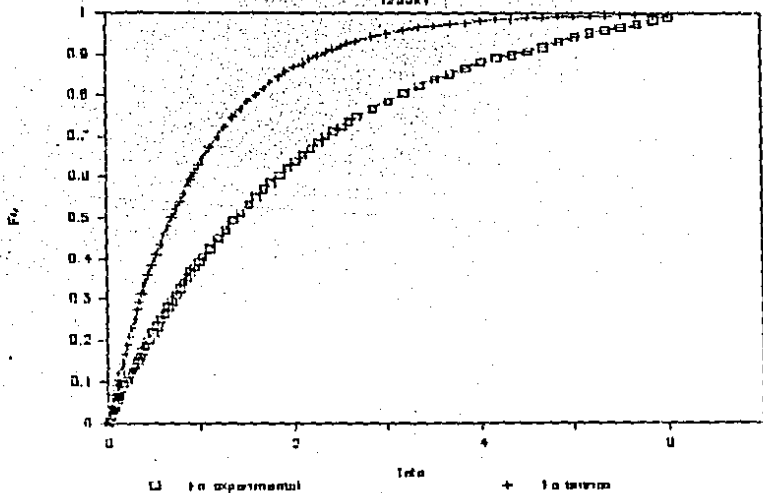


FIG. 3.30-A

TJ2382

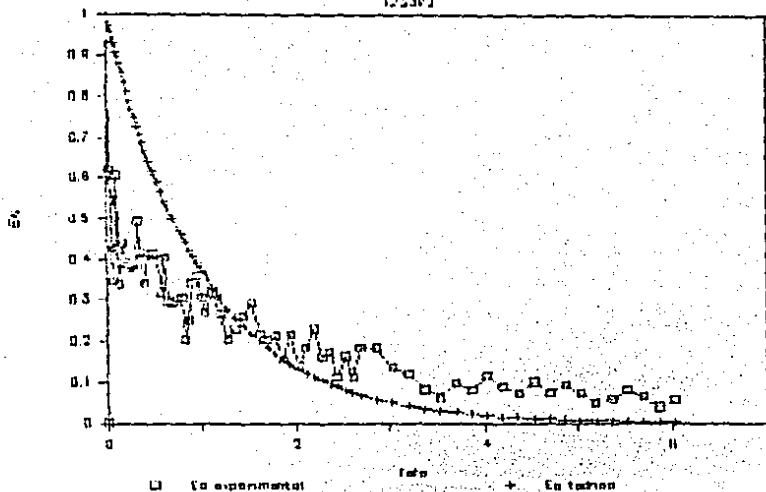


FIG. 3.30-B

TJ2382

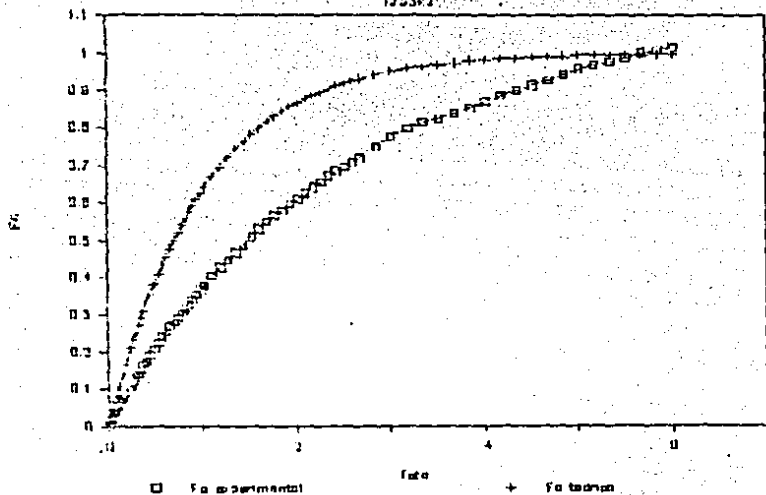


FIG. 3.31-A

TSP11

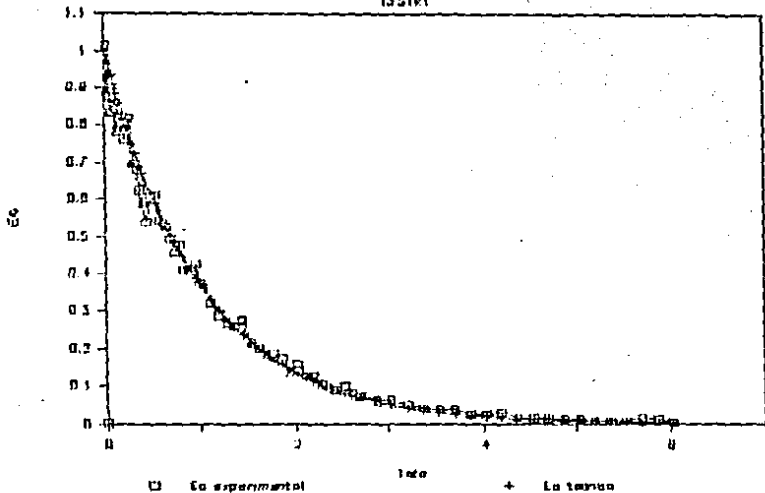


FIG. 3.31-B

TSP11

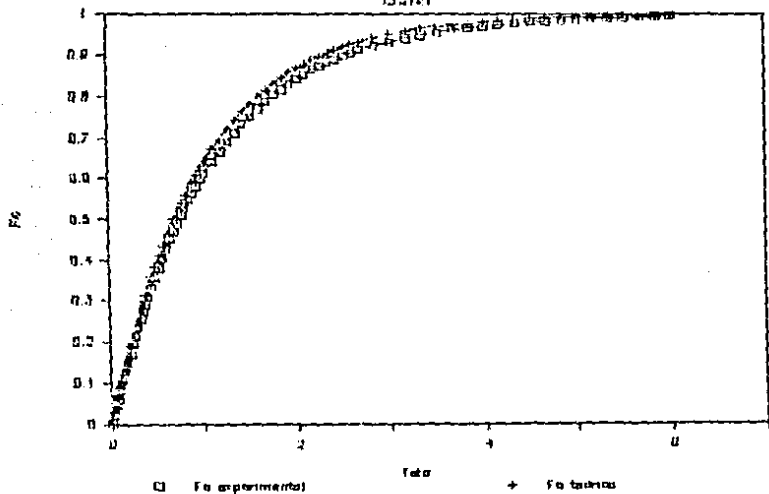


FIG. 3.32-A

135173

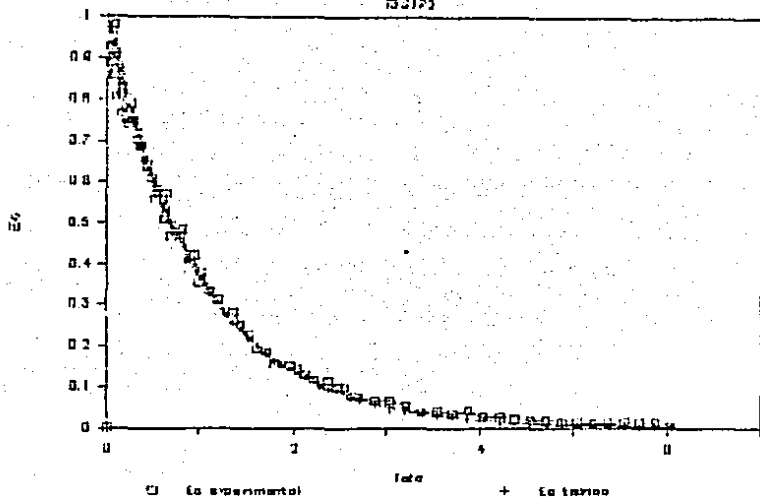


FIG. 3.32-B

135173

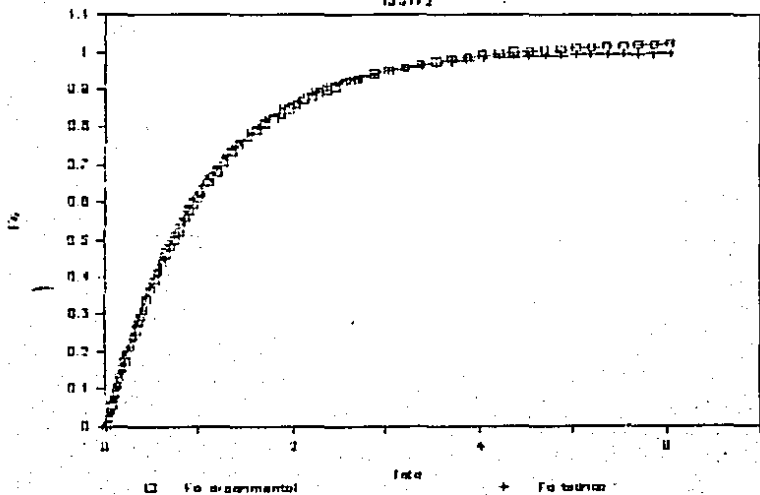


FIG. 3.33-A

D32P1

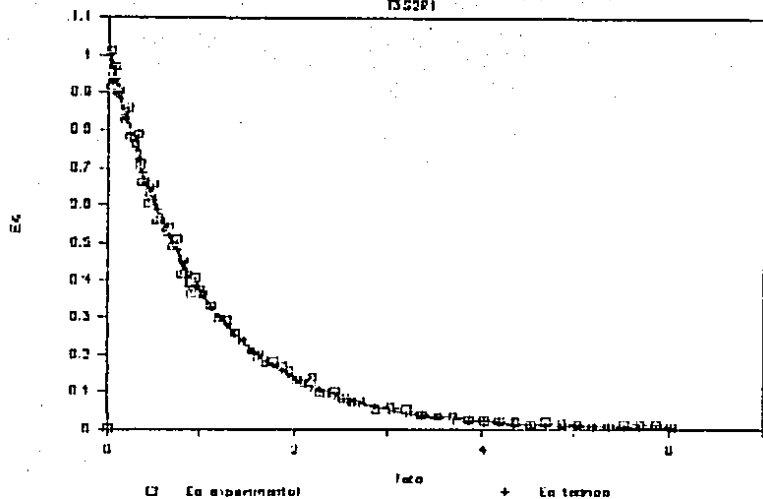


FIG. 3.33-B

D32P1

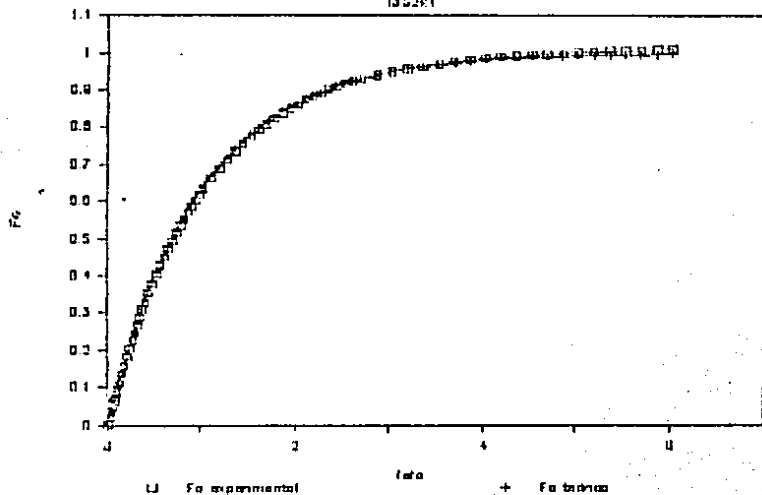


FIG. 3.34-A

T33292

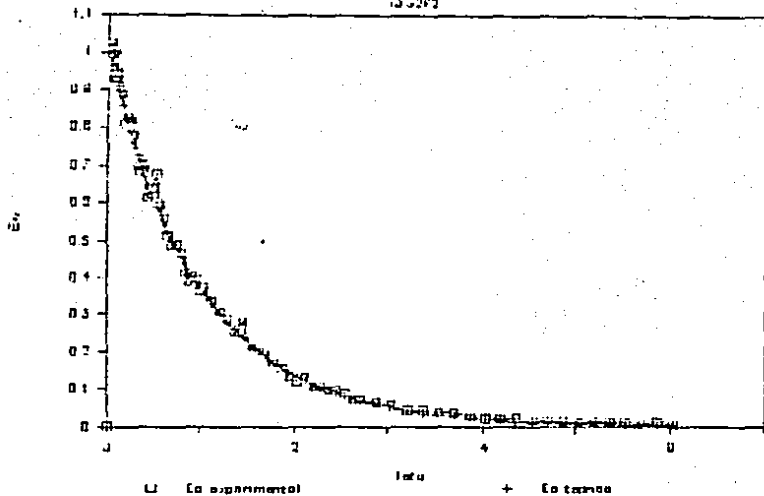


FIG. 3.34-B

T33292

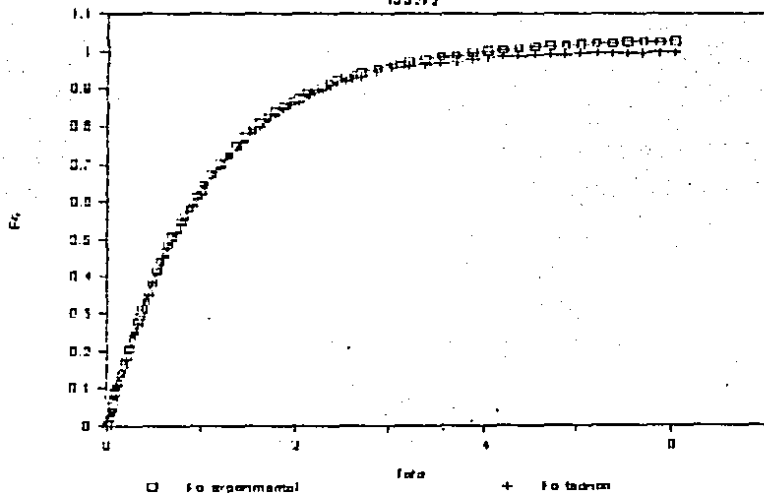


FIG. 3.35-A

T353P1

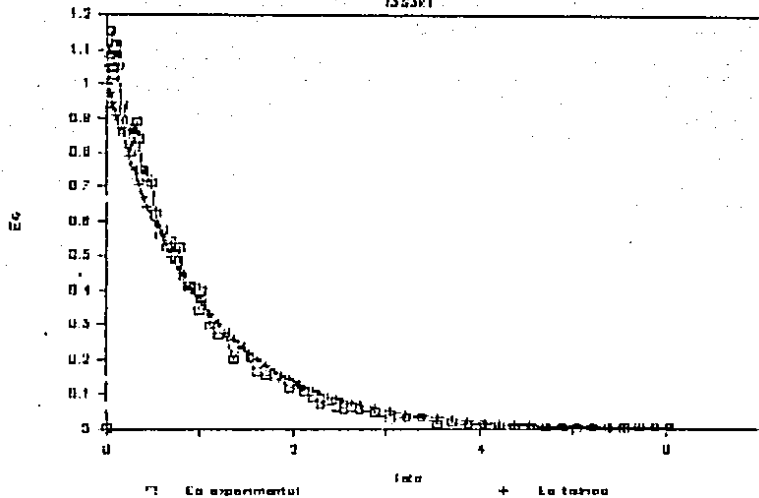


FIG. 3.35-B

T353P1

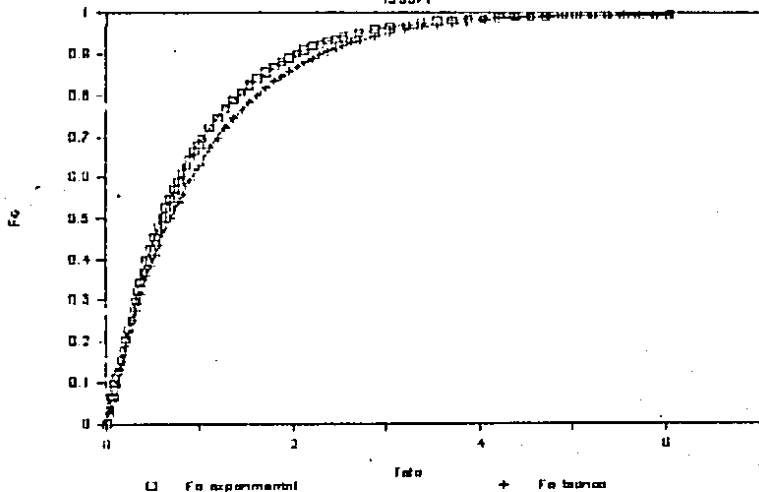


FIG. 3.36-A

135372

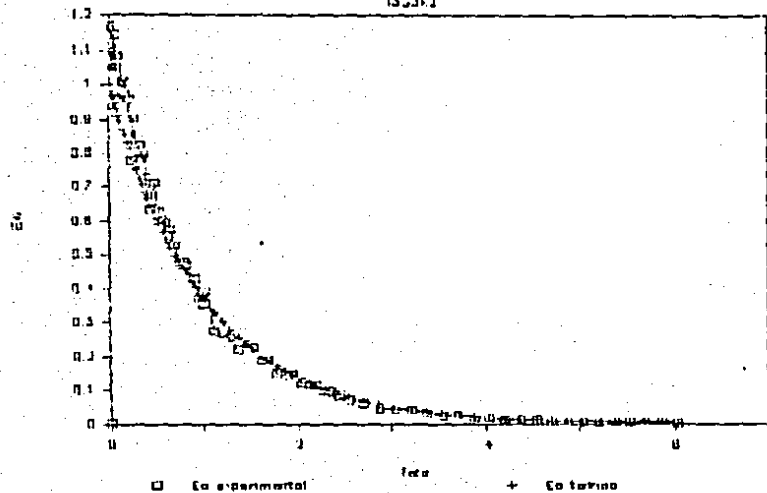
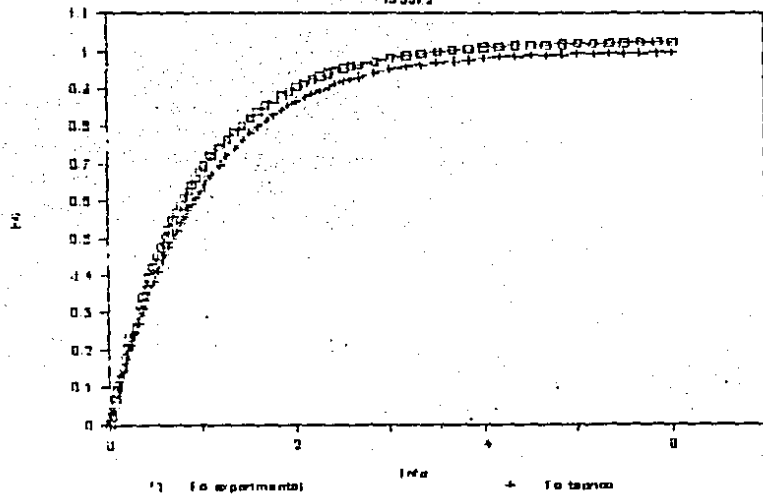


FIG. 3.36-B

135372



**CAPÍTULO 4**  
**ANÁLISIS ESTADÍSTICO**

## ANÁLISIS ESTADÍSTICO [7,9]

Una de las pruebas estadísticas utilizadas es la de Kolmogorov (test uni-muestral), para distribución de frecuencias (bondad de ajuste). El propósito de este modelo fue decidir si se acepta la hipótesis de que los datos experimentales siguen la distribución de frecuencias del modelo teórico de mezcla completa o se desvían significativamente.

También se utilizó la prueba de Kolmogorov-Smirnov (test bi-muestral), para verificar si los resultados arrojados por cada una de las dos réplicas de cada corrida, son consistentes. En este caso se propone la hipótesis de que los valores de las dos réplicas, siguen la misma distribución de frecuencias, lo que equivale a decir que las pruebas son repetitivas.

Las tablas detalladas para los análisis estadísticos mencionados, se encuentran en el apéndice V.

La tabla IV-1 muestra los valores de  $D$  para efectuar la prueba unimuestral de Kolmogorov.

En la tabla IV-2 se muestra una síntesis del análisis estadístico entre los datos teóricos y experimentales, calculados ambos por el método numérico.

La tabla IV-3 presenta la síntesis del análisis estadístico entre el promedio de las frecuencias acumuladas experimentales y teóricas, cuando estas últimas se encuentran mediante una ecuación continua.

La tabla IV-4 muestra los valores de D para efectuar la prueba de Kolmogorov-Smirnov.

En la tabla IV-5 se encuentra la síntesis del análisis estadístico entre las réplicas.

La tabla IV-6 se refiere al análisis estadístico aplicado a pruebas realizadas en estudios independientes.

Tabla IV-1 Valores máximos de D [6]

| $\alpha$ | D      |
|----------|--------|
| 20%      | 0.1244 |
| 15%      | 0.1325 |
| 10%      | 0.1418 |
| 5%       | 0.1581 |
| 1%       | 0.1895 |

Tabla IV-2 Comparación de los datos experimentales, con el modelo de mezcla completa.

| No. | prueba | DIF-A max |
|-----|--------|-----------|
| 1   | T1S1R1 | 0.6796 *  |
| 2   | T1S1R2 | 0.7078 *  |
| 3   | T1S2R1 | 0.5579 *  |
| 4   | T1S2R2 | 0.5680 *  |
| 5   | T1S3R1 | 0.5145 *  |
| 6   | T1S3R2 | 0.5223 *  |
| 7   | T2S1R1 | 0.5055 *  |
| 8   | T2S1R2 | 0.5344 *  |
| 9   | T2S2R1 | 0.4795 *  |
| 10  | T2S2R2 | 0.4497 *  |
| 11  | T2S3R1 | 0.3612 *  |
| 12  | T2S3R2 | 0.3847 *  |
| 13  | T3S1R1 | 0.0526    |
| 14  | T3S1R2 | 0.0321    |
| 15  | T3S2R1 | 0.0256    |
| 16  | T3S2R2 | 0.0124    |
| 17  | T3S3R1 | 0.0321    |
| 18  | T3S3R2 | 0.0639    |

Al comparar los valores de DIF-A max, con los de la tabla IV-1 se encontró que:

\* Para cualquier valor de  $\alpha$  se rechaza  $H_0$ .

Para cualquier valor de  $\alpha$  no se rechaza  $H_0$ .

Tabla IV-3 Comparación de la distribución promedio con el modelo teórico de mezcla completa.

| No. | Prueba        | A°max    |
|-----|---------------|----------|
| 19  | T1S1R1-T1S1R2 | 0.6934 * |
| 20  | T1S2R1-T1S2R2 | 0.5622 * |
| 21  | T1S3R1-T1S3R2 | 0.5182 * |
| 22  | T2S1R1-T2S1R2 | 0.5191 * |
| 23  | T2S2R1-T2S2R2 | 0.4644 * |
| 24  | T2S3R1-T2S3R2 | 0.3725 * |
| 25  | T3S1R1-T3S1R2 | 0.0414   |
| 26  | T3S2R1-T3S2R2 | 0.0177   |
| 27  | T3S3R1-T3S3R2 | 0.0365   |

Utilizando los valores de la tabla IV-1 a diferentes niveles de significancia :

Si  $A^{\circ}max > D$  , se rechaza  $H_0$  .

- \* Para cualquier valor de  $\alpha$  se rechaza  $H_0$
- Para cualquier valor de  $\alpha$  no se rechaza  $H_0$

Tabla IV-4 Valores máximos de D {6}

| $\alpha$ | D      |
|----------|--------|
| 10%      | 0.2006 |
| 5%       | 0.2236 |
| 2.5%     | 0.2433 |
| 1%       | 0.2680 |
| 0.5%     | 0.2844 |
| 0.1%     | 0.3206 |

Tabla IV-5 Comparación entre cada prueba y su réplica.

| No. | Prueba        | DIF(R1-R2)max |
|-----|---------------|---------------|
| 28  | T1S1R1-T1S1R2 | 0.0408        |
| 29  | T1S2R1-T1S2R2 | 0.0286        |
| 30  | T1S3R1-T1S3R2 | 0.0316        |
| 31  | T2S1R1-T2S1R2 | 0.0353        |
| 32  | T2S2R1-T2S2R2 | 0.0354        |
| 33  | T2S3R1-T2S3R2 | 0.0313        |
| 34  | T3S1R1-T3S1R2 | 0.0325        |
| 35  | T3S2R1-T3S2R2 | 0.0225        |
| 36  | T3S3R1-T3S3R2 | 0.0957        |

Al comparar los valores de DIF(R1-R2)max, con los valores de D de la tabla IV-4 se encontró que:

Para cualquier valor de  $\alpha$  no se rechaza  $H_0$

Tabla IV-6 Comparación con resultados de este estudio con los reportados en otro estudio independiente [1].

| No. | Prueba                 | DIF(Fo-Fo PROM) |
|-----|------------------------|-----------------|
| 37  | T1S2R1-T1S2R2-E1T1R1R2 | 0.0160          |
| 38  | T2S2R1-T2S2R2-E1T2R1R2 | 0.0238          |
| 39  | T3S2R1-T3S2R2-E1T3R1R2 | 0.0311          |

Utilizando los valores de la tabla IV-4 a distintos niveles de significancia :

Si  $DIF(Fo-Fo PROM) > D$  , se rechaza  $H_0$  .

Para cualquier valor de  $\alpha$  no se rechaza  $H_0$ .

**CAPÍTULO 5**  
**DISCUSIÓN DE RESULTADOS**

## DISCUSIÓN DE RESULTADOS

Después de observar y analizar los resultados obtenidos se puede decir que:

- 1.- Estadísticamente las dos réplicas de cada corrida son consistentes. (Tabla IV-5).
- 2.- Al comparar el modelo teórico de mezcla completa con el modelo experimental para los tamaños de partícula de trazador T1 y T2, que corresponden a las mallas 40-45 y 50-55 respectivamente, se rechaza la hipótesis de que no existen diferencias significativas entre ambos modelos. Mientras que en la comparación entre el modelo experimental con el modelo teórico de mezcla completa efectuada para el tamaño T3, correspondiente a la malla 80-90, se observa que ambos modelos son iguales, es decir no existe diferencia significativa entre los modelos, por lo cual se comprueba que el tamaño de la partícula de trazador sí afecta a la distribución del tiempo de residencia del sólido. También se comprueba que el fluido, en el cual flota el sólido fino, sigue el modelo de mezcla

completa y que las desviaciones observadas con la arena más gruesa se deben a la poca homogeneidad de la mezcla sólido-líquido.

- 3.- Analizando la posición de salida del flujo para cada tamaño de partícula por separado, se observó que, entre mayor distancia hubiera de la salida respecto al fondo del tanque, mejores resultados se obtenían. Esto puede explicarse debido a la acción de la fuerza centrífuga, la cual empujaba a las partículas de trazador hacia arriba, produciendo un vórtice. Lo anterior se observó mejor con las mallas 40-45 y 50-55, correspondientes a la arena más gruesa. (Tabla 5.1). Por lo que se establece que la posición de salida del flujo sí afecta. Para la arena más fina, malla 80-90, la posición de salida del flujo no influye demasiado, existiendo una pequeña variación entre ellas, sin embargo la mayor cantidad de trazador que salió del tanque, se obtuvo con la salida más alta respecto al fondo del tanque. (Ver tabla 5.1).
- 4.- Mediante la tabla IV-5 se puede comprobar que las pruebas experimentales estuvieron realizadas en forma repetitiva.

5.- Al hacer la comparación entre pruebas de este estudio, y otras realizadas en forma paralela independientemente, tabla IV-6, se observa que no hay diferencia significativa entre ellas, lo cual confirma que el experimento es repetitivo.

Tabla 5.1

| Prueba | % de arena que salió del tanque |
|--------|---------------------------------|
| T1S1   | 41.15                           |
| T1S2   | 58.25                           |
| T1S3   | 65.13                           |
| T2S1   | 61.53                           |
| T2S2   | 70.47                           |
| T2S3   | 79.80                           |
| T3S1   | 97.43                           |
| T3S2   | 98.07                           |
| T3S3   | 99.13                           |

**RESUME**

### RESUMEN

El propósito de esta tesis es el de analizar la influencia del tamaño de partícula del trazador y de la posición de salida de alimento en la distribución de tiempos de residencia de un sólido, en un tanque continuo de fondo con cono y filete. El sólido utilizado fue arena sílica, en tanto que el fluido fue agua.

Se realizaron nueve pruebas, que resultan de la combinación de tres tamaños diferentes de trazador y tres salidas distintas de alimento. Cada prueba se hizo por duplicado, obteniéndose en total dieciocho pruebas.

El análisis se efectuó comparando las curvas de distribución de tiempos de residencia obtenidas en las pruebas experimentales, con la curva de distribución de tiempos de residencia del modelo teórico de mezcla completa.

El análisis estadístico utilizado fue la prueba de Kolmogorov-Smirnov para funciones de distribución de frecuencias, para lo que se recurrió a un programa de computación conocido como LOTUS 1-2-3. Dicho programa se utilizó también para elaborar las tablas y gráficas que contienen los resultados experimentales.

## CONCLUSIONS

~~CONCLUSIONES~~

Al observar los resultados se ve la influencia que tiene el tamaño de partícula de trazador, y la posición de salida del flujo sobre la distribución de tiempos de residencia. Por lo cual se puede decir que se cumplió con el objetivo de este estudio.

También se puede agregar que:

- 1.- Estadísticamente las dos réplicas de cada corrida son consistentes.
- 2.- La diferencia que se encontró entre los datos experimentales y los teóricos, correspondientes a la arena más gruesa, mallas 40-45 y 50-55 se debe básicamente al tamaño de partícula, para el que el agitador empleado resulta inadecuado.
- 3.- Respecto a la malla 80-90, se observó que los datos experimentales siguen la distribución de frecuencias del modelo teórico de mezcla completa.

**Sugerencias:**

- 1.- Elaborar pruebas similares acoplando mamparas al sistema, para observar el efecto que causarían sobre la distribución de tiempos de residencia.
- 2.- También podría variarse el tipo de aspa del agitador y la potencia del mismo.
- 3.- Utilizar otro tipo de trazador sólido y equipo más exacto para evitar al máximo los errores experimentales.

**APÉNDICE I**  
**DESCRIPCIÓN DEL EQUIPO**

### Descripción del equipo

El tanque utilizado es de fondo con cono hacia arriba y filete. Es de lámina galvanizada de 1/16" de espesor, está hecho a mano. Tiene 40 cm de sección recta y 25 cm de diámetro.

Consta de un filete a lo largo de toda la circunferencia del tanque, con una inclinación de 45° con respecto al fondo del tanque. En la parte media del fondo tiene un cono con vértice hacia arriba, con una altura de 5 cm y una base circular de 7.5 cm de diámetro.

Dicho tanque tiene varias perforaciones colocadas a 180°, en las cuales van soldados casquillos de 2" de largo, 1/4" de diámetro, con un espesor de 1/32", que forman las entradas y salidas del sistema.

Para este estudio, se utilizó una entrada ( a 18.5 cm del fondo) y 3 salidas (situadas a 12 cm, 18 cm, y 24 cm del fondo respectivamente). Además a otro orificio se le conectó un indicador de nivel.

Se utilizó un agitador marca Caframo, de 70 W, 115 V y 60 Hz, de corriente alterna, el cuál trabajó a una velocidad constante entre 150-160 rpm. La velocidad se midió con un tacómetro marca Power Instruments modelo 1891-AM.

Al agitador del tipo turbina de 4 aspas planas inclinadas 45°, de 7 cm de largo y 2.2 cm de ancho, se le acopló una flecha de acero inoxidable de 0.85 cm de diámetro. El agitador se colocó a 6 cm del fondo del tanque (1 cm por encima del cono), en posición central, eje vertical.

El volumen real del tanque es de 18.93 l, pero se trabajó a un volumen de 11.220 l, con un nivel de operación de 27 cm, sin agitación.

La entrada de alimento estaba situada a 18.5 cm del fondo del tanque.

Se utilizó como tanque de alimentación, un recipiente de plástico, alimentado por medio de una manguera. Dicho tanque estuvo colocado a un altura de 2.3 m, sobre una estructura que, a la vez, sostenía todo el equipo empleado.

Para mantener constante el nivel del tanque de alimentación, se le adaptó un rebosadero para eliminar el exceso de fluido, y así mantener la presión hidrostática constante.

Para medir el flujo de entrada al sistema, se utilizó un rotámetro marca Gilmont, dicho flujo se regulaba mediante una llave de paso.

Se utilizaron 75 tubos de ensayo marca PYREX para la recolección de las muestras. Los tiempos de recolección fueron medidos mediante un cronómetro.

Para eliminar el exceso de agua de las muestras se utilizó un secador marca FELISA.

El pesado de las muestras se realizó en una balanza analítica marca Mettler AE-163.

El trazador sólido utilizado fue arena sílica (arena para filtros industriales) de 3 mallas diferentes, 40-45, 50-55 y 80-90. Como fluido se empleó agua, se eligieron debido a su accesibilidad, bajo costo y fácil manejo.

**APÉNDICE II**  
**CALIBRACIÓN DEL ROTÁMETRO**

### CALIBRACIÓN DEL ROTÁMETRO

La calibración del rotámetro consiste en relacionar la diferencia de presión (altura) en el medidor de flujo, con el caudal del líquido fluyendo.

La ecuación que relaciona el caudal del fluido y las alturas en el rotámetro, es la siguiente:

$$V_o = a * \Delta h^b \quad \dots \text{Ec. II-1}$$

en donde:

$V_o$  : caudal del fluido, en l/min

$\Delta h$  : diferencia de alturas

$a, b$  : constantes del orificio

Al aplicar logaritmos a ambos miembros de la ecuación se tiene que:

$$\ln V_o = \ln a + b * \ln \Delta h \quad \dots \text{Ec. II-2}$$

En donde  $a$  y  $b$  se determinan a partir de una regresión lineal o con ayuda de una gráfica, ya que la ecuación obtenida es la de una recta, en la cual,  $b$  es la pendiente de la recta, y el  $\ln a$ , es la intersección en el eje de la ordenada.

El procedimiento seguido para la calibración del rotámetro es el siguiente:

- 1.- Se abre la válvula, permitiendo el paso de agua a través del rotámetro, lo cual origina que la canica de éste se levante a una determinada posición.
- 2.- Se toma como referencia la parte inferior de la canica y se anota la lectura del rotámetro.
- 3.- Con la ayuda de una probeta, se mide el volumen recolectado durante 1 minuto.

Se repite varias veces este procedimiento a diferentes lecturas.

El caudal es volumen/tiempo, el volumen en litros y el tiempo en minutos.

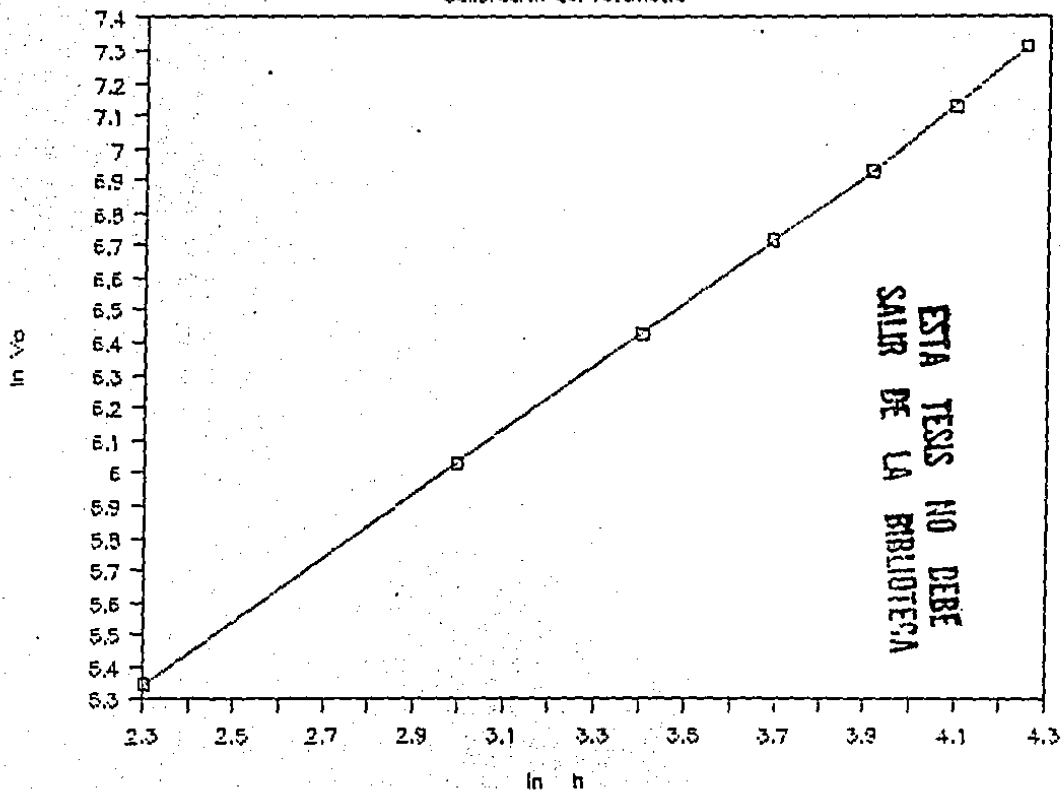
A continuación se muestran los datos obtenidos:

| Altura ( h ) | Caudal (l/min) |
|--------------|----------------|
| 10           | 0.2100         |
| 20           | 0.4150         |
| 30           | 0.6175         |
| 40           | 0.8215         |
| 50           | 1.0175         |
| 60           | 1.2450         |
| 70           | 1.4925         |



FIG: II-1

Calibración del rotámetro



**APÉNDICE III**  
**RESULTADOS OBTENIDOS**

Las tablas que a continuación se muestran contienen, de una forma resumida, los cálculos de cada corrida. Cada una de las tablas presenta lo siguiente:

Columna

- 1,6 Número : Número de la muestra tomada.
- 2,7  $E_o$  : Valor de  $E_o$  para cada tiempo de la réplica 1.
- 3,8  $F_o$  : Valor de la frecuencia acumulada de cada tiempo para la réplica 1. Ec. V-7
- 4,9  $E_o$  : Valor de  $E_o$  para cada tiempo de la réplica 2.
- 5,10  $F_o$  : Valor de la frecuencia acumulada de cada tiempo para la réplica 2. Ec. V-7

Las tablas 3.2 a la 3.17 corresponden a los cálculos realizados considerando la cantidad total de trazador agregada al sistema.

Las tablas 3.20 a la 3.35 corresponden a los cálculos efectuados al considerar solamente la cantidad de arena que salió del tanque.

TABLA 3.2

## PRUEBA T1S1R2

| Número | Eo     | Fo     | Número | Eo     | Fo     |
|--------|--------|--------|--------|--------|--------|
| inicio | 0.0000 | 0.0000 | 30     | 0.1220 | 0.1265 |
| 1      | 0.1242 | 0.0009 | 39     | 0.0759 | 0.1348 |
| 2      | 0.1185 | 0.0025 | 40     | 0.0767 | 0.1411 |
| 3      | 0.1310 | 0.0043 | 41     | 0.1144 | 0.1491 |
| 4      | 0.1308 | 0.0061 | 42     | 0.0688 | 0.1567 |
| 5      | 0.1179 | 0.0078 | 43     | 0.0835 | 0.1631 |
| 6      | 0.1253 | 0.0095 | 44     | 0.0912 | 0.1703 |
| 7      | 0.0928 | 0.0110 | 45     | 0.0783 | 0.1774 |
| 8      | 0.0824 | 0.0122 | 46     | 0.0767 | 0.1838 |
| 9      | 0.1245 | 0.0137 | 47     | 0.0743 | 0.1901 |
| 10     | 0.1029 | 0.0168 | 48     | 0.0808 | 0.1966 |
| 11     | 0.0917 | 0.0195 | 49     | 0.0494 | 0.2020 |
| 12     | 0.0928 | 0.0221 | 50     | 0.0461 | 0.2060 |
| 13     | 0.1043 | 0.0248 | 51     | 0.0494 | 0.2099 |
| 14     | 0.0934 | 0.0276 | 52     | 0.0510 | 0.2141 |
| 15     | 0.0988 | 0.0302 | 53     | 0.0633 | 0.2189 |
| 16     | 0.0986 | 0.0330 | 54     | 0.0753 | 0.2247 |
| 17     | 0.1174 | 0.0360 | 55     | 0.0612 | 0.2360 |
| 18     | 0.0966 | 0.0389 | 56     | 0.0494 | 0.2452 |
| 19     | 0.1171 | 0.0419 | 57     | 0.0595 | 0.2543 |
| 20     | 0.0713 | 0.0458 | 58     | 0.0538 | 0.2637 |
| 21     | 0.0865 | 0.0491 | 59     | 0.0322 | 0.2709 |
| 22     | 0.0726 | 0.0524 | 60     | 0.0325 | 0.2763 |
| 23     | 0.0980 | 0.0560 | 61     | 0.1177 | 0.2888 |
| 24     | 0.0846 | 0.0598 | 62     | 0.0794 | 0.3052 |
| 25     | 0.0745 | 0.0631 | 63     | 0.0551 | 0.3164 |
| 26     | 0.0844 | 0.0664 | 64     | 0.0363 | 0.3240 |
| 27     | 0.1092 | 0.0704 | 65     | 0.0672 | 0.3326 |
| 28     | 0.0934 | 0.0746 | 66     | 0.0388 | 0.3414 |
| 29     | 0.0964 | 0.0786 | 67     | 0.0366 | 0.3477 |
| 30     | 0.0920 | 0.0825 | 68     | 0.0442 | 0.3544 |
| 31     | 0.0696 | 0.0859 | 69     | 0.0494 | 0.3622 |
| 32     | 0.1026 | 0.0894 | 70     | 0.0644 | 0.3717 |
| 33     | 0.0986 | 0.0936 | 71     | 0.0238 | 0.3790 |
| 34     | 0.0898 | 0.0976 | 72     | 0.0440 | 0.3847 |
| 35     | 0.0794 | 0.1046 | 73     | 0.0319 | 0.3910 |
| 36     | 0.0884 | 0.1116 | 74     | 0.0303 | 0.3962 |
| 37     | 0.0745 | 0.1184 |        |        |        |

| PRUEBA T1S2R1 |        |        | PRUEBA T1S2R2 |        | PRUEBA T1S2R1 |        |        | PRUEBA T1S2R2 |        |
|---------------|--------|--------|---------------|--------|---------------|--------|--------|---------------|--------|
| Número        | Eo     | Fo     | Ee            | Fo     | Número        | Ee     | Fo     | Eo            | Fo     |
| Inicio        | 0.0000 | 0.0000 | 0.0000        | 0.0000 | 38            | 0.1196 | 0.2268 | 0.1193        | 0.2169 |
| 1             | 0.4106 | 0.0028 | 0.4024        | 0.0028 | 39            | 0.1493 | 0.2380 | 0.1103        | 0.2264 |
| 2             | 0.2536 | 0.0075 | 0.2337        | 0.0072 | 40            | 0.1095 | 0.2488 | 0.1327        | 0.2365 |
| 3             | 0.2266 | 0.0108 | 0.2061        | 0.0103 | 41            | 0.1073 | 0.2578 | 0.1228        | 0.2472 |
| 4             | 0.1668 | 0.0135 | 0.2039        | 0.0131 | 42            | 0.1471 | 0.2684 | 0.1638        | 0.2591 |
| 5             | 0.1755 | 0.0159 | 0.2451        | 0.0162 | 43            | 0.1592 | 0.2812 | 0.1455        | 0.2720 |
| 6             | 0.1545 | 0.0182 | 0.1594        | 0.0190 | 44            | 0.1157 | 0.2926 | 0.1269        | 0.2833 |
| 7             | 0.2350 | 0.0209 | 0.1698        | 0.0213 | 45            | 0.1562 | 0.3039 | 0.1381        | 0.2944 |
| 8             | 0.1570 | 0.0236 | 0.2077        | 0.0239 | 46            | 0.1087 | 0.3149 | 0.0996        | 0.3043 |
| 9             | 0.1294 | 0.0256 | 0.1346        | 0.0263 | 47            | 0.1177 | 0.3244 | 0.0890        | 0.3121 |
| 10            | 0.1682 | 0.0297 | 0.2200        | 0.0312 | 48            | 0.0811 | 0.3326 | 0.1119        | 0.3205 |
| 11            | 0.1783 | 0.0345 | 0.1540        | 0.0364 | 49            | 0.0849 | 0.3395 | 0.1283        | 0.3305 |
| 12            | 0.1903 | 0.0396 | 0.2127        | 0.0415 | 50            | 0.1403 | 0.3489 | 0.1002        | 0.3400 |
| 13            | 0.1684 | 0.0446 | 0.1884        | 0.0471 | 51            | 0.1026 | 0.3590 | 0.0770        | 0.3474 |
| 14            | 0.1433 | 0.0489 | 0.1654        | 0.0520 | 52            | 0.0644 | 0.3660 | 0.1056        | 0.3550 |
| 15            | 0.1597 | 0.0531 | 0.1878        | 0.0569 | 53            | 0.0895 | 0.3724 | 0.0906        | 0.3631 |
| 16            | 0.1723 | 0.0577 | 0.1501        | 0.0616 | 54            | 0.0925 | 0.3800 | 0.0895        | 0.3706 |
| 17            | 0.1572 | 0.0623 | 0.1693        | 0.0660 | 55            | 0.0909 | 0.3952 | 0.0682        | 0.3838 |
| 18            | 0.2061 | 0.0674 | 0.1824        | 0.0709 | 56            | 0.0830 | 0.4097 | 0.0642        | 0.3948 |
| 19            | 0.1815 | 0.0727 | 0.1993        | 0.0762 | 57            | 0.0838 | 0.4236 | 0.0999        | 0.4084 |
| 20            | 0.1684 | 0.0800 | 0.1463        | 0.0834 | 58            | 0.0909 | 0.4381 | 0.0573        | 0.4215 |
| 21            | 0.1540 | 0.0867 | 0.1581        | 0.0897 | 59            | 0.0466 | 0.4498 | 0.0661        | 0.4318 |
| 22            | 0.1641 | 0.0934 | 0.1447        | 0.0960 | 60            | 0.0819 | 0.4606 | 0.0707        | 0.4432 |
| 23            | 0.1758 | 0.1004 | 0.1463        | 0.1020 | 61            | 0.0729 | 0.4735 | 0.0612        | 0.4542 |
| 24            | 0.2075 | 0.1084 | 0.1739        | 0.1087 | 62            | 0.0778 | 0.4861 | 0.0636        | 0.4645 |
| 25            | 0.1643 | 0.1161 | 0.1499        | 0.1154 | 63            | 0.0691 | 0.4983 | 0.0598        | 0.4748 |
| 26            | 0.2236 | 0.1242 | 0.1682        | 0.1221 | 64            | 0.0805 | 0.5107 | 0.0691        | 0.4855 |
| 27            | 0.2165 | 0.1334 | 0.1589        | 0.1289 | 65            | 0.0581 | 0.5223 | 0.0688        | 0.4970 |
| 28            | 0.2009 | 0.1421 | 0.1608        | 0.1355 | 66            | 0.0549 | 0.5317 | 0.0401        | 0.5061 |
| 29            | 0.1622 | 0.1496 | 0.1769        | 0.1426 | 67            | 0.0778 | 0.5427 | 0.0557        | 0.5141 |
| 30            | 0.2244 | 0.1577 | 0.1504        | 0.1494 | 68            | 0.0341 | 0.5520 | 0.0609        | 0.5238 |
| 31            | 0.1512 | 0.1655 | 0.1592        | 0.1558 | 69            | 0.0470 | 0.5588 | 0.0527        | 0.5332 |
| 32            | 0.1360 | 0.1715 | 0.1084        | 0.1614 | 70            | 0.0363 | 0.5657 | 0.0497        | 0.5417 |
| 33            | 0.1542 | 0.1775 | 0.1239        | 0.1662 | 71            | 0.0524 | 0.5731 | 0.0628        | 0.5511 |
| 34            | 0.1275 | 0.1834 | 0.1163        | 0.1712 | 72            | 0.0450 | 0.5812 | 0.0538        | 0.5608 |
| 35            | 0.1248 | 0.1939 | 0.1728        | 0.1832 | 73            | 0.0418 | 0.5885 | 0.0431        | 0.5689 |
| 36            | 0.1600 | 0.2057 | 0.1493        | 0.1966 | 74            | 0.0325 | 0.5946 | 0.0420        | 0.5760 |
| 37            | 0.1141 | 0.2171 | 0.1087        | 0.2074 |               |        |        |               |        |

| TABLA 3.5 |        | PRUEBA T1S3R1 |        | PRUEBA T1S3R2 |        | PRUEBA T1S3R1 |        | PRUEBA T1S3R2 |        |
|-----------|--------|---------------|--------|---------------|--------|---------------|--------|---------------|--------|
| Número    | Eo     | Fo            | Eo     | Fo            | Número | Eo            | Fo     | Eo            | Fo     |
| inicio    | 0.0000 | 0.0000        | 0.0000 | 0.0000        | 38     | 0.1569        | 0.2573 | 0.1327        | 0.2568 |
| 1         | 0.6361 | 0.0044        | 0.7122 | 0.0049        | 39     | 0.1545        | 0.2704 | 0.1480        | 0.2605 |
| 2         | 0.3249 | 0.0111        | 0.3795 | 0.0125        | 40     | 0.1799        | 0.2043 | 0.1390        | 0.2805 |
| 3         | 0.2132 | 0.0148        | 0.2891 | 0.0172        | 41     | 0.1223        | 0.2969 | 0.1179        | 0.2912 |
| 4         | 0.2528 | 0.0180        | 0.3041 | 0.0213        | 42     | 0.1602        | 0.3086 | 0.1630        | 0.3028 |
| 5         | 0.2610 | 0.0216        | 0.2667 | 0.0252        | 43     | 0.1379        | 0.3210 | 0.1215        | 0.3147 |
| 6         | 0.2703 | 0.0253        | 0.2681 | 0.0289        | 44     | 0.1684        | 0.3338 | 0.1529        | 0.3261 |
| 7         | 0.2299 | 0.0288        | 0.2735 | 0.0327        | 45     | 0.0912        | 0.3446 | 0.0925        | 0.3363 |
| 8         | 0.2539 | 0.0321        | 0.2380 | 0.0362        | 46     | 0.1294        | 0.3538 | 0.1400        | 0.3460 |
| 9         | 0.2086 | 0.0353        | 0.2279 | 0.0395        | 47     | 0.1390        | 0.3649 | 0.1376        | 0.3576 |
| 10        | 0.3161 | 0.0426        | 0.3088 | 0.0469        | 48     | 0.1387        | 0.3765 | 0.0947        | 0.3672 |
| 11        | 0.2572 | 0.0506        | 0.2225 | 0.0543        | 49     | 0.0988        | 0.3864 | 0.0936        | 0.3751 |
| 12        | 0.2170 | 0.0571        | 0.2219 | 0.0605        | 50     | 0.0672        | 0.3933 | 0.1209        | 0.3840 |
| 13        | 0.1933 | 0.0628        | 0.2653 | 0.0672        | 51     | 0.1428        | 0.4020 | 0.1155        | 0.3938 |
| 14        | 0.2140 | 0.0685        | 0.1925 | 0.0736        | 52     | 0.0633        | 0.4106 | 0.0852        | 0.4022 |
| 15        | 0.2959 | 0.0756        | 0.2689 | 0.0800        | 53     | 0.1087        | 0.4178 | 0.1360        | 0.4114 |
| 16        | 0.1698 | 0.0820        | 0.2271 | 0.0869        | 54     | 0.1084        | 0.4268 | 0.1117        | 0.4217 |
| 17        | 0.1474 | 0.0864        | 0.2299 | 0.0932        | 55     | 0.1302        | 0.4467 | 0.1147        | 0.4405 |
| 18        | 0.2020 | 0.0913        | 0.2091 | 0.0993        | 56     | 0.0702        | 0.4633 | 0.0510        | 0.4543 |
| 19        | 0.1766 | 0.0965        | 0.2181 | 0.1052        | 57     | 0.0893        | 0.4766 | 0.0928        | 0.4663 |
| 20        | 0.1840 | 0.1040        | 0.2083 | 0.1141        | 58     | 0.0778        | 0.4905 | 0.0833        | 0.4810 |
| 21        | 0.1354 | 0.1107        | 0.1643 | 0.1218        | 59     | 0.0658        | 0.5025 | 0.0783        | 0.4944 |
| 22        | 0.1867 | 0.1174        | 0.1682 | 0.1288        | 60     | 0.0816        | 0.5148 | 0.0879        | 0.5083 |
| 23        | 0.2042 | 0.1255        | 0.1635 | 0.1357        | 61     | 0.0895        | 0.5290 | 0.0562        | 0.5203 |
| 24        | 0.1922 | 0.1338        | 0.1848 | 0.1429        | 62     | 0.0781        | 0.5430 | 0.0549        | 0.5295 |
| 25        | 0.1832 | 0.1416        | 0.1843 | 0.1506        | 63     | 0.0838        | 0.5564 | 0.0622        | 0.5393 |
| 26        | 0.1755 | 0.1490        | 0.1619 | 0.1578        | 64     | 0.0868        | 0.5706 | 0.0830        | 0.5513 |
| 27        | 0.1562 | 0.1559        | 0.1736 | 0.1648        | 65     | 0.0568        | 0.5826 | 0.0822        | 0.5651 |
| 28        | 0.2181 | 0.1637        | 0.1744 | 0.1720        | 66     | 0.0693        | 0.5931 | 0.0633        | 0.5772 |
| 29        | 0.1755 | 0.1719        | 0.1469 | 0.1787        | 67     | 0.0601        | 0.6039 | 0.0483        | 0.5865 |
| 30        | 0.1387 | 0.1785        | 0.1261 | 0.1844        | 68     | 0.0543        | 0.6134 | 0.0478        | 0.5945 |
| 31        | 0.2061 | 0.1856        | 0.1660 | 0.1905        | 69     | 0.0715        | 0.6239 | 0.0524        | 0.6028 |
| 32        | 0.1529 | 0.1931        | 0.1324 | 0.1967        | 70     | 0.0568        | 0.6345 | 0.0508        | 0.6114 |
| 33        | 0.2121 | 0.2007        | 0.1796 | 0.2032        | 71     | 0.0360        | 0.6423 | 0.0385        | 0.6189 |
| 34        | 0.1630 | 0.2085        | 0.1780 | 0.2106        | 72     | 0.0633        | 0.6505 | 0.0442        | 0.6257 |
| 35        | 0.1892 | 0.2232        | 0.1602 | 0.2247        | 73     | 0.0524        | 0.6602 | 0.0339        | 0.6322 |
| 36        | 0.1305 | 0.2365        | 0.1360 | 0.2370        | 74     | 0.0573        | 0.6693 | 0.0319        | 0.6377 |
| 37        | 0.1059 | 0.2463        | 0.1037 | 0.2470        |        |               |        |               |        |

| TABLA 3.7 |        | PRUEBA T2S1R1 |        | PRUEBA T2S1R2 |        | PRUEBA T2S1R1 |        | PRUEBA T2S1R2 |        |
|-----------|--------|---------------|--------|---------------|--------|---------------|--------|---------------|--------|
| Número    | Eo     | Fo            | Eo     | Fo            | Número | Eo            | Fo     | Eo            | Fo     |
| inicio    | 0.0000 | 0.0000        | 0.0000 | 0.0000        | 38     | 0.1441        | 0.2765 | 0.1250        | 0.2588 |
| 1         | 0.3317 | 0.0023        | 0.2432 | 0.0017        | 39     | 0.1526        | 0.2888 | 0.0923        | 0.2678 |
| 2         | 0.2905 | 0.0066        | 0.2812 | 0.0053        | 40     | 0.1253        | 0.3004 | 0.1422        | 0.2776 |
| 3         | 0.2719 | 0.0105        | 0.2170 | 0.0088        | 41     | 0.1534        | 0.3120 | 0.1370        | 0.2892 |
| 4         | 0.3279 | 0.0147        | 0.2110 | 0.0118        | 42     | 0.1155        | 0.3232 | 0.1360        | 0.3006 |
| 5         | 0.2274 | 0.0185        | 0.2075 | 0.0147        | 43     | 0.1220        | 0.3331 | 0.1313        | 0.3117 |
| 6         | 0.2580 | 0.0219        | 0.2285 | 0.0177        | 44     | 0.1463        | 0.3442 | 0.1051        | 0.3215 |
| 7         | 0.2924 | 0.0257        | 0.2356 | 0.0209        | 45     | 0.1496        | 0.3565 | 0.1035        | 0.3302 |
| 8         | 0.2678 | 0.0296        | 0.2247 | 0.0241        | 46     | 0.1016        | 0.3670 | 0.1228        | 0.3396 |
| 9         | 0.2834 | 0.0334        | 0.2015 | 0.0270        | 47     | 0.1133        | 0.3759 | 0.0923        | 0.3486 |
| 10        | 0.2441 | 0.0407        | 0.2320 | 0.0331        | 48     | 0.0792        | 0.3840 | 0.1076        | 0.3569 |
| 11        | 0.2602 | 0.0477        | 0.2080 | 0.0392        | 49     | 0.1127        | 0.3919 | 0.0737        | 0.3644 |
| 12        | 0.2948 | 0.0554        | 0.1695 | 0.0444        | 50     | 0.1275        | 0.4019 | 0.0912        | 0.3713 |
| 13        | 0.2752 | 0.0633        | 0.2749 | 0.0506        | 51     | 0.0814        | 0.4106 | 0.1035        | 0.3794 |
| 14        | 0.2659 | 0.0709        | 0.1867 | 0.0570        | 52     | 0.0950        | 0.4180 | 0.0822        | 0.3871 |
| 15        | 0.2561 | 0.0781        | 0.2389 | 0.0629        | 53     | 0.1108        | 0.4265 | 0.0778        | 0.3938 |
| 16        | 0.2356 | 0.0849        | 0.2604 | 0.0698        | 54     | 0.0669        | 0.4339 | 0.0737        | 0.4001 |
| 17        | 0.2299 | 0.0914        | 0.1750 | 0.0758        | 55     | 0.0726        | 0.4456 | 0.0797        | 0.4129 |
| 18        | 0.2170 | 0.0976        | 0.2684 | 0.0820        | 56     | 0.0633        | 0.4569 | 0.0726        | 0.4256 |
| 19        | 0.2138 | 0.1036        | 0.2181 | 0.0887        | 57     | 0.0871        | 0.4694 | 0.0620        | 0.4368 |
| 20        | 0.2288 | 0.1128        | 0.2544 | 0.0986        | 58     | 0.0693        | 0.4824 | 0.0622        | 0.4471 |
| 21        | 0.2006 | 0.1217        | 0.1927 | 0.1079        | 59     | 0.0489        | 0.4923 | 0.1029        | 0.4608 |
| 22        | 0.2135 | 0.1303        | 0.1843 | 0.1157        | 60     | 0.0453        | 0.5001 | 0.0710        | 0.4753 |
| 23        | 0.1728 | 0.1384        | 0.2337 | 0.1244        | 61     | 0.0636        | 0.5092 | 0.0652        | 0.4867 |
| 24        | 0.2337 | 0.1468        | 0.1742 | 0.1329        | 62     | 0.0642        | 0.5198 | 0.0568        | 0.4968 |
| 25        | 0.2312 | 0.1565        | 0.2312 | 0.1414        | 63     | 0.0636        | 0.5304 | 0.0775        | 0.5080 |
| 26        | 0.2042 | 0.1656        | 0.2222 | 0.1508        | 64     | 0.0546        | 0.5403 | 0.0710        | 0.5204 |
| 27        | 0.1946 | 0.1739        | 0.2118 | 0.1598        | 65     | 0.0557        | 0.5495 | 0.0710        | 0.5322 |
| 28        | 0.1660 | 0.1814        | 0.1824 | 0.1680        | 66     | 0.0412        | 0.5575 | 0.0699        | 0.5439 |
| 29        | 0.1957 | 0.1889        | 0.1521 | 0.1750        | 67     | 0.0358        | 0.5639 | 0.0423        | 0.5532 |
| 30        | 0.1976 | 0.1971        | 0.1461 | 0.1812        | 68     | 0.0538        | 0.5714 | 0.0423        | 0.5603 |
| 31        | 0.1952 | 0.2052        | 0.2279 | 0.1890        | 69     | 0.0319        | 0.5785 | 0.0388        | 0.5670 |
| 32        | 0.1679 | 0.2128        | 0.1938 | 0.1978        | 70     | 0.0360        | 0.5842 | 0.0456        | 0.5741 |
| 33        | 0.1504 | 0.2194        | 0.1346 | 0.2046        | 71     | 0.0491        | 0.5913 | 0.0614        | 0.5830 |
| 34        | 0.1209 | 0.2251        | 0.2083 | 0.2117        | 72     | 0.0385        | 0.5986 | 0.0379        | 0.5912 |
| 35        | 0.1646 | 0.2370        | 0.1491 | 0.2206        | 73     | 0.0431        | 0.6054 | 0.0595        | 0.5994 |
| 36        | 0.1758 | 0.2511        | 0.1294 | 0.2382        | 74     | 0.0399        | 0.6123 | 0.0527        | 0.6087 |
| 37        | 0.1444 | 0.2645        | 0.1201 | 0.2486        |        |               |        |               |        |

| TABLA 3.9 |        | PRUEBA T2S2R1 |        | PRUEBA T2S2R2 |        | PRUEBA T2S2R1 |        | PRUEBA T2S2R2 |        |
|-----------|--------|---------------|--------|---------------|--------|---------------|--------|---------------|--------|
| Número    | Eo     | Fo            | Eo     | Fo            | Número | Eo            | Fo     | Eo            | Fo     |
| inicio    | 0.0000 | 0.0000        | 0.0000 | 0.0000        | 38     | 0.1665        | 0.2934 | 0.1632        | 0.3179 |
| 1         | 0.3792 | 0.0026        | 0.4840 | 0.0034        | 39     | 0.1769        | 0.3077 | 0.2017        | 0.3331 |
| 2         | 0.3816 | 0.0079        | 0.3325 | 0.0090        | 40     | 0.1365        | 0.3208 | 0.1422        | 0.3474 |
| 3         | 0.3478 | 0.0130        | 0.3011 | 0.0134        | 41     | 0.1182        | 0.3314 | 0.1444        | 0.3593 |
| 4         | 0.3295 | 0.0177        | 0.2921 | 0.0175        | 42     | 0.1403        | 0.3421 | 0.1329        | 0.3709 |
| 5         | 0.2468 | 0.0217        | 0.3382 | 0.0219        | 43     | 0.1578        | 0.3545 | 0.1485        | 0.3826 |
| 6         | 0.3445 | 0.0258        | 0.2932 | 0.0263        | 44     | 0.1136        | 0.3658 | 0.1979        | 0.3970 |
| 7         | 0.2378 | 0.0298        | 0.3494 | 0.0307        | 45     | 0.1720        | 0.3777 | 0.0972        | 0.4093 |
| 8         | 0.2924 | 0.0335        | 0.2722 | 0.0351        | 46     | 0.1125        | 0.3896 | 0.1436        | 0.4193 |
| 9         | 0.2566 | 0.0373        | 0.3112 | 0.0391        | 47     | 0.1220        | 0.3993 | 0.0912        | 0.4291 |
| 10        | 0.2252 | 0.0440        | 0.2790 | 0.0473        | 48     | 0.1332        | 0.4100 | 0.1744        | 0.4401 |
| 11        | 0.2948 | 0.0512        | 0.2388 | 0.0545        | 49     | 0.1067        | 0.4199 | 0.0917        | 0.4512 |
| 12        | 0.1810 | 0.0578        | 0.2727 | 0.0616        | 50     | 0.1444        | 0.4304 | 0.1021        | 0.4593 |
| 13        | 0.2129 | 0.0633        | 0.2673 | 0.0690        | 51     | 0.0887        | 0.4401 | 0.1166        | 0.4684 |
| 14        | 0.3642 | 0.0713        | 0.2673 | 0.0765        | 52     | 0.1278        | 0.4491 | 0.1084        | 0.4778 |
| 15        | 0.2547 | 0.0799        | 0.3262 | 0.0847        | 53     | 0.1078        | 0.4589 | 0.0996        | 0.4864 |
| 16        | 0.2716 | 0.0872        | 0.3573 | 0.0942        | 54     | 0.0904        | 0.4672 | 0.1234        | 0.4957 |
| 17        | 0.2138 | 0.0939        | 0.2290 | 0.1023        | 55     | 0.0996        | 0.4830 | 0.1193        | 0.5159 |
| 18        | 0.2132 | 0.0998        | 0.2574 | 0.1091        | 56     | 0.0986        | 0.4995 | 0.0783        | 0.5324 |
| 19        | 0.1873 | 0.1054        | 0.2675 | 0.1163        | 57     | 0.0988        | 0.5159 | 0.0759        | 0.5452 |
| 20        | 0.2361 | 0.1142        | 0.2714 | 0.1276        | 58     | 0.0966        | 0.5322 | 0.0999        | 0.5598 |
| 21        | 0.2402 | 0.1241        | 0.2225 | 0.1378        | 59     | 0.0568        | 0.5450 | 0.0874        | 0.5754 |
| 22        | 0.2047 | 0.1334        | 0.2301 | 0.1473        | 60     | 0.0928        | 0.5574 | 0.0800        | 0.5893 |
| 23        | 0.2443 | 0.1427        | 0.1881 | 0.1560        | 61     | 0.0622        | 0.5703 | 0.0781        | 0.6025 |
| 24        | 0.2380 | 0.1527        | 0.2077 | 0.1642        | 62     | 0.0824        | 0.5824 | 0.0803        | 0.6157 |
| 25        | 0.1949 | 0.1617        | 0.2258 | 0.1732        | 63     | 0.0614        | 0.5943 | 0.0647        | 0.6278 |
| 26        | 0.1641 | 0.1692        | 0.2476 | 0.1831        | 64     | 0.0644        | 0.6048 | 0.0543        | 0.6377 |
| 27        | 0.2621 | 0.1781        | 0.2593 | 0.1936        | 65     | 0.0587        | 0.6151 | 0.0456        | 0.6460 |
| 28        | 0.2135 | 0.1880        | 0.2091 | 0.2034        | 66     | 0.1037        | 0.6286 | 0.0756        | 0.6561 |
| 29        | 0.1944 | 0.1965        | 0.1955 | 0.2118        | 67     | 0.0396        | 0.6405 | 0.0854        | 0.6695 |
| 30        | 0.1967 | 0.2044        | 0.2129 | 0.2203        | 68     | 0.0609        | 0.6489 | 0.0541        | 0.6811 |
| 31        | 0.2236 | 0.2129        | 0.2023 | 0.2289        | 69     | 0.0557        | 0.6586 | 0.0543        | 0.6901 |
| 32        | 0.1938 | 0.2216        | 0.3074 | 0.2395        | 70     | 0.0374        | 0.6663 | 0.0614        | 0.6997 |
| 33        | 0.1646 | 0.2291        | 0.1663 | 0.2494        | 71     | 0.0565        | 0.6741 | 0.0557        | 0.7095 |
| 34        | 0.2173 | 0.2370        | 0.2367 | 0.2578        | 72     | 0.0606        | 0.6839 | 0.0431        | 0.7177 |
| 35        | 0.1660 | 0.2530        | 0.1949 | 0.2757        | 73     | 0.0510        | 0.6932 | 0.0371        | 0.7244 |
| 36        | 0.1739 | 0.2671        | 0.1458 | 0.2899        | 74     | 0.0437        | 0.7011 | 0.0300        | 0.7300 |
| 37        | 0.1458 | 0.2804        | 0.1815 | 0.3035        |        |               |        |               |        |

TABLA 3.11

PRUEBA T2S3R1

PRUEBA T2S3R2

PRUEBA T2S3R1

PRUEBA T2S3R2

| Número | Eo     | Fo     | Eo     | Fo     | Número | Eo     | Fo     | Eo     | Fo     |
|--------|--------|--------|--------|--------|--------|--------|--------|--------|--------|
| inicio | 0.0000 | 0.0000 | 0.0000 | 0.0000 | 38     | 0.2012 | 0.3954 | 0.1821 | 0.3689 |
| 1      | 0.6077 | 0.0042 | 0.7344 | 0.0051 | 39     | 0.1993 | 0.4121 | 0.2047 | 0.3850 |
| 2      | 0.5883 | 0.0125 | 0.4895 | 0.0136 | 40     | 0.1693 | 0.4274 | 0.2331 | 0.4032 |
| 3      | 0.3939 | 0.0193 | 0.4308 | 0.0200 | 41     | 0.1944 | 0.4426 | 0.1717 | 0.4201 |
| 4      | 0.3786 | 0.0247 | 0.3371 | 0.0253 | 42     | 0.1545 | 0.4571 | 0.1622 | 0.4340 |
| 5      | 0.5004 | 0.0308 | 0.2754 | 0.0295 | 43     | 0.1469 | 0.4696 | 0.1684 | 0.4477 |
| 6      | 0.4076 | 0.0371 | 0.3494 | 0.0339 | 44     | 0.1993 | 0.4840 | 0.1223 | 0.4598 |
| 7      | 0.3784 | 0.0425 | 0.4805 | 0.0396 | 45     | 0.1499 | 0.4986 | 0.1714 | 0.4721 |
| 8      | 0.4281 | 0.0481 | 0.3401 | 0.0453 | 46     | 0.1622 | 0.5116 | 0.1095 | 0.4838 |
| 9      | 0.3745 | 0.0537 | 0.2686 | 0.0496 | 47     | 0.1338 | 0.5239 | 0.1461 | 0.4944 |
| 10     | 0.3710 | 0.0640 | 0.3341 | 0.0579 | 48     | 0.1769 | 0.5368 | 0.1818 | 0.5080 |
| 11     | 0.3183 | 0.0736 | 0.3464 | 0.0674 | 49     | 0.1343 | 0.5498 | 0.1283 | 0.5209 |
| 12     | 0.4302 | 0.0840 | 0.3082 | 0.0764 | 50     | 0.1433 | 0.5613 | 0.1373 | 0.5320 |
| 13     | 0.3088 | 0.0942 | 0.3022 | 0.0849 | 51     | 0.1125 | 0.5720 | 0.0876 | 0.5414 |
| 14     | 0.3186 | 0.1029 | 0.3052 | 0.0933 | 52     | 0.1133 | 0.5814 | 0.1297 | 0.5504 |
| 15     | 0.3077 | 0.1116 | 0.3036 | 0.1018 | 53     | 0.1144 | 0.5908 | 0.0887 | 0.5595 |
| 16     | 0.3224 | 0.1204 | 0.3907 | 0.1114 | 54     | 0.1010 | 0.5998 | 0.1458 | 0.5693 |
| 17     | 0.3467 | 0.1297 | 0.3309 | 0.1214 | 55     | 0.0923 | 0.6159 | 0.1444 | 0.5934 |
| 18     | 0.3836 | 0.1398 | 0.3142 | 0.1304 | 56     | 0.0805 | 0.6303 | 0.1059 | 0.6143 |
| 19     | 0.2962 | 0.1492 | 0.2689 | 0.1385 | 57     | 0.1018 | 0.6455 | 0.0947 | 0.6310 |
| 20     | 0.3134 | 0.1619 | 0.3287 | 0.1509 | 58     | 0.0879 | 0.6613 | 0.0652 | 0.6443 |
| 21     | 0.3369 | 0.1754 | 0.3262 | 0.1645 | 59     | 0.0756 | 0.6749 | 0.0497 | 0.6538 |
| 22     | 0.2970 | 0.1886 | 0.3142 | 0.1779 | 60     | 0.0568 | 0.6859 | 0.0762 | 0.6643 |
| 23     | 0.2962 | 0.2010 | 0.2531 | 0.1897 | 61     | 0.0685 | 0.6963 | 0.0628 | 0.6759 |
| 24     | 0.2937 | 0.2133 | 0.3183 | 0.2016 | 62     | 0.0753 | 0.7083 | 0.0917 | 0.6888 |
| 25     | 0.3000 | 0.2256 | 0.2353 | 0.2131 | 63     | 0.0363 | 0.7176 | 0.0704 | 0.7022 |
| 26     | 0.2544 | 0.2371 | 0.2331 | 0.2228 | 64     | 0.0333 | 0.7234 | 0.0576 | 0.7129 |
| 27     | 0.3287 | 0.2493 | 0.2389 | 0.2326 | 65     | 0.0505 | 0.7304 | 0.0803 | 0.7244 |
| 28     | 0.3107 | 0.2626 | 0.2413 | 0.2426 | 66     | 0.0505 | 0.7388 | 0.0584 | 0.7359 |
| 29     | 0.2563 | 0.2744 | 0.1619 | 0.2510 | 67     | 0.0672 | 0.7486 | 0.0732 | 0.7469 |
| 30     | 0.2367 | 0.2847 | 0.2004 | 0.2586 | 68     | 0.0480 | 0.7581 | 0.0581 | 0.7578 |
| 31     | 0.2364 | 0.2945 | 0.2711 | 0.2684 | 69     | 0.0502 | 0.7663 | 0.0396 | 0.7659 |
| 32     | 0.2471 | 0.3046 | 0.2842 | 0.2799 | 70     | 0.0207 | 0.7722 | 0.0453 | 0.7730 |
| 33     | 0.2509 | 0.3149 | 0.2419 | 0.2909 | 71     | 0.0429 | 0.7775 | 0.0625 | 0.7820 |
| 34     | 0.1810 | 0.3239 | 0.2138 | 0.3004 | 72     | 0.0450 | 0.7849 | 0.0505 | 0.7914 |
| 35     | 0.2375 | 0.3413 | 0.2512 | 0.3197 | 73     | 0.0415 | 0.7921 | 0.0311 | 0.7982 |
| 36     | 0.2331 | 0.3609 | 0.2105 | 0.3389 | 74     | 0.0363 | 0.7985 | 0.0450 | 0.8045 |
| 37     | 0.1974 | 0.3788 | 0.1638 | 0.3545 |        |        |        |        |        |

| TABLA 3.13 |        | PRUEBA T3S1R1 |        | PRUEBA T3S1R2 |        | PRUEBA T3S1R1 |        | PRUEBA T3S1R2 |        |
|------------|--------|---------------|--------|---------------|--------|---------------|--------|---------------|--------|
| Número     | Eo     | Fo            | Eo     | Fo            | Número | Eo            | Fo     | Eo            | Fo     |
| inicio     | 0.0000 | 0.0000        | 0.0000 | 0.0000        | 38     | 0.2522        | 0.6908 | 0.2738        | 0.7131 |
| 1          | 0.9844 | 0.0068        | 0.9074 | 0.0063        | 39     | 0.2656        | 0.7123 | 0.2462        | 0.7347 |
| 2          | 0.8553 | 0.0196        | 0.8689 | 0.0186        | 40     | 0.2083        | 0.7320 | 0.2225        | 0.7542 |
| 3          | 0.9066 | 0.0318        | 0.9102 | 0.0310        | 41     | 0.1936        | 0.7488 | 0.1881        | 0.7713 |
| 4          | 0.8108 | 0.0437        | 0.8386 | 0.0431        | 42     | 0.1777        | 0.7642 | 0.1813        | 0.7892 |
| 5          | 0.8506 | 0.0553        | 0.8960 | 0.0551        | 43     | 0.1821        | 0.7792 | 0.1518        | 0.8031 |
| 6          | 0.8334 | 0.0669        | 0.9585 | 0.0680        | 44     | 0.1660        | 0.7937 | 0.1501        | 0.8157 |
| 7          | 0.8242 | 0.0784        | 0.8097 | 0.0808        | 45     | 0.1340        | 0.8062 | 0.1444        | 0.8279 |
| 8          | 0.8168 | 0.0898        | 0.7879 | 0.0924        | 46     | 0.1518        | 0.8181 | 0.1400        | 0.8398 |
| 9          | 0.7600 | 0.1008        | 0.8621 | 0.1039        | 47     | 0.1242        | 0.8296 | 0.1267        | 0.8509 |
| 10         | 0.7958 | 0.1223        | 0.7513 | 0.1263        | 48     | 0.1215        | 0.8398 | 0.1122        | 0.8608 |
| 11         | 0.7799 | 0.1442        | 0.8116 | 0.1480        | 49     | 0.1002        | 0.8490 | 0.1005        | 0.8697 |
| 12         | 0.7395 | 0.1653        | 0.7349 | 0.1694        | 50     | 0.0893        | 0.8569 | 0.1095        | 0.8784 |
| 13         | 0.7813 | 0.1864        | 0.7259 | 0.1897        | 51     | 0.0863        | 0.8642 | 0.0931        | 0.8868 |
| 14         | 0.7936 | 0.2082        | 0.7715 | 0.2105        | 52     | 0.0955        | 0.8718 | 0.0942        | 0.8946 |
| 15         | 0.6751 | 0.2286        | 0.7330 | 0.2313        | 53     | 0.0781        | 0.8790 | 0.0751        | 0.9017 |
| 16         | 0.6795 | 0.2474        | 0.6874 | 0.2510        | 54     | 0.0677        | 0.8851 | 0.0721        | 0.9078 |
| 17         | 0.6606 | 0.2660        | 0.6658 | 0.2698        | 55     | 0.0590        | 0.8956 | 0.0642        | 0.9191 |
| 18         | 0.6063 | 0.2836        | 0.6721 | 0.2884        | 56     | 0.0598        | 0.9055 | 0.0625        | 0.9297 |
| 19         | 0.5730 | 0.2999        | 0.6363 | 0.3065        | 57     | 0.0480        | 0.9145 | 0.0513        | 0.9392 |
| 20         | 0.5220 | 0.3227        | 0.6230 | 0.3327        | 58     | 0.0396        | 0.9218 | 0.0369        | 0.9465 |
| 21         | 0.5875 | 0.3458        | 0.5946 | 0.3581        | 59     | 0.0355        | 0.9280 | 0.0396        | 0.9529 |
| 22         | 0.5924 | 0.3704        | 0.5457 | 0.3818        | 60     | 0.0347        | 0.9339 | 0.0322        | 0.9588 |
| 23         | 0.5252 | 0.3936        | 0.5569 | 0.4048        | 61     | 0.0232        | 0.9387 | 0.0393        | 0.9648 |
| 24         | 0.5187 | 0.4154        | 0.4958 | 0.4267        | 62     | 0.0248        | 0.9427 | 0.0240        | 0.9701 |
| 25         | 0.5094 | 0.4367        | 0.5569 | 0.4486        | 63     | 0.0281        | 0.9471 | 0.0235        | 0.9740 |
| 26         | 0.4777 | 0.4573        | 0.4570 | 0.4697        | 64     | 0.0164        | 0.9508 | 0.0197        | 0.9776 |
| 27         | 0.4431 | 0.4765        | 0.4660 | 0.4889        | 65     | 0.0134        | 0.9533 | 0.0169        | 0.9806 |
| 28         | 0.4638 | 0.4953        | 0.4575 | 0.5081        | 66     | 0.0134        | 0.9555 | 0.0161        | 0.9834 |
| 29         | 0.3969 | 0.5132        | 0.4723 | 0.5274        | 67     | 0.0109        | 0.9575 | 0.0150        | 0.9860 |
| 30         | 0.4005 | 0.5298        | 0.4035 | 0.5457        | 68     | 0.0098        | 0.9592 | 0.0115        | 0.9882 |
| 31         | 0.3950 | 0.5464        | 0.4114 | 0.5626        | 69     | 0.0076        | 0.9607 | 0.0106        | 0.9900 |
| 32         | 0.4144 | 0.5632        | 0.4106 | 0.5797        | 70     | 0.0074        | 0.9619 | 0.0117        | 0.9919 |
| 33         | 0.3634 | 0.5794        | 0.3462 | 0.5955        | 71     | 0.0063        | 0.9631 | 0.0128        | 0.9939 |
| 34         | 0.3552 | 0.5944        | 0.3688 | 0.6104        | 72     | 0.0139        | 0.9648 | 0.0134        | 0.9961 |
| 35         | 0.3126 | 0.6222        | 0.3254 | 0.6393        | 73     | 0.0090        | 0.9667 | 0.0145        | 0.9984 |
| 36         | 0.2787 | 0.6468        | 0.3077 | 0.6656        | 74     | 0.0038        | 0.9677 | 0.0063        | 1.0002 |
| 37         | 0.2629 | 0.6693        | 0.2793 | 0.6900        |        |               |        |               |        |

| TABLA 3.15 |        | PRUEBA T3S2R1 |        | PRUEBA T3S2R2 |        | PRUEBA T3S2R1 |        | PRUEBA T3S2R2 |        |
|------------|--------|---------------|--------|---------------|--------|---------------|--------|---------------|--------|
| Número     | Eo     | Fo            | Eo     | Fo            | Número | Eo            | Fo     | Eo            | Fo     |
| inicio     | 0.0000 | 0.0000        | 0.0000 | 0.0000        | 38     | 0.2542        | 0.7201 | 0.2465        | 0.7362 |
| 1          | 0.8968 | 0.0062        | 0.9934 | 0.0069        | 39     | 0.2326        | 0.7404 | 0.2774        | 0.7580 |
| 2          | 0.9882 | 0.0193        | 0.9809 | 0.0206        | 40     | 0.2086        | 0.7588 | 0.2088        | 0.7783 |
| 3          | 0.9350 | 0.0326        | 1.0082 | 0.0344        | 41     | 0.1927        | 0.7755 | 0.1960        | 0.7951 |
| 4          | 0.9110 | 0.0454        | 0.9143 | 0.0477        | 42     | 0.1731        | 0.7907 | 0.1878        | 0.8111 |
| 5          | 0.9462 | 0.0583        | 0.9265 | 0.0605        | 43     | 0.1758        | 0.8052 | 0.1654        | 0.8258 |
| 6          | 0.8891 | 0.0711        | 0.9882 | 0.0738        | 44     | 0.1630        | 0.8193 | 0.1545        | 0.8391 |
| 7          | 0.8801 | 0.0833        | 0.9137 | 0.0870        | 45     | 0.1515        | 0.8324 | 0.1294        | 0.8509 |
| 8          | 0.8777 | 0.0955        | 0.9309 | 0.0998        | 46     | 0.1272        | 0.8440 | 0.1177        | 0.8612 |
| 9          | 0.8840 | 0.1077        | 0.8919 | 0.1124        | 47     | 0.1185        | 0.8542 | 0.1294        | 0.8715 |
| 10         | 0.8179 | 0.1314        | 0.8728 | 0.1369        | 48     | 0.1346        | 0.8648 | 0.1054        | 0.8813 |
| 11         | 0.8116 | 0.1540        | 0.7980 | 0.1601        | 49     | 0.0942        | 0.8743 | 0.1062        | 0.8901 |
| 12         | 0.8411 | 0.1769        | 0.8157 | 0.1825        | 50     | 0.0912        | 0.8820 | 0.0955        | 0.8985 |
| 13         | 0.7682 | 0.1992        | 0.8072 | 0.2050        | 51     | 0.0977        | 0.8899 | 0.0942        | 0.9084 |
| 14         | 0.7584 | 0.2204        | 0.8010 | 0.2273        | 52     | 0.0803        | 0.8973 | 0.0868        | 0.9139 |
| 15         | 0.7455 | 0.2413        | 0.7685 | 0.2491        | 53     | 0.0682        | 0.9035 | 0.0707        | 0.9204 |
| 16         | 0.7709 | 0.2623        | 0.6838 | 0.2692        | 54     | 0.0726        | 0.9093 | 0.0685        | 0.9262 |
| 17         | 0.6939 | 0.2826        | 0.6740 | 0.2880        | 55     | 0.0510        | 0.9196 | 0.0631        | 0.9372 |
| 18         | 0.6451 | 0.3012        | 0.6904 | 0.3070        | 56     | 0.0562        | 0.9285 | 0.0571        | 0.9472 |
| 19         | 0.6516 | 0.3192        | 0.6811 | 0.3260        | 57     | 0.0500        | 0.9374 | 0.0418        | 0.9554 |
| 20         | 0.5916 | 0.3451        | 0.6047 | 0.3528        | 58     | 0.0355        | 0.9445 | 0.0426        | 0.9624 |
| 21         | 0.6418 | 0.3707        | 0.6276 | 0.3784        | 59     | 0.0314        | 0.9501 | 0.0379        | 0.9691 |
| 22         | 0.5463 | 0.3955        | 0.6658 | 0.4053        | 60     | 0.0311        | 0.9553 | 0.0355        | 0.9753 |
| 23         | 0.5474 | 0.4182        | 0.5834 | 0.4313        | 61     | 0.0238        | 0.9598 | 0.0243        | 0.9802 |
| 24         | 0.5250 | 0.4405        | 0.5487 | 0.4549        | 62     | 0.0218        | 0.9636 | 0.0210        | 0.9840 |
| 25         | 0.5280 | 0.4625        | 0.5056 | 0.4768        | 63     | 0.0194        | 0.9671 | 0.0207        | 0.9875 |
| 26         | 0.4794 | 0.4834        | 0.4777 | 0.4973        | 64     | 0.0172        | 0.9701 | 0.0210        | 0.9910 |
| 27         | 0.4979 | 0.5038        | 0.4818 | 0.5173        | 65     | 0.0117        | 0.9725 | 0.0167        | 0.9941 |
| 28         | 0.4089 | 0.5226        | 0.4594 | 0.5369        | 66     | 0.0169        | 0.9749 | 0.0156        | 0.9968 |
| 29         | 0.4409 | 0.5403        | 0.4076 | 0.5549        | 67     | 0.0131        | 0.9774 | 0.0128        | 0.9991 |
| 30         | 0.3846 | 0.5575        | 0.3797 | 0.5713        | 68     | 0.0106        | 0.9794 | 0.0098        | 1.0010 |
| 31         | 0.3582 | 0.5730        | 0.3975 | 0.5875        | 69     | 0.0079        | 0.9809 | 0.0101        | 1.0027 |
| 32         | 0.3983 | 0.5887        | 0.3901 | 0.6038        | 70     | 0.0074        | 0.9822 | 0.0098        | 1.0043 |
| 33         | 0.3672 | 0.6046        | 0.3576 | 0.6194        | 71     | 0.0082        | 0.9835 | 0.0106        | 1.0060 |
| 34         | 0.3530 | 0.6196        | 0.3658 | 0.6345        | 72     | 0.0104        | 0.9850 | 0.0063        | 1.0075 |
| 35         | 0.3254 | 0.6478        | 0.3314 | 0.6635        | 73     | 0.0093        | 0.9867 | 0.0115        | 1.0089 |
| 36         | 0.2905 | 0.6735        | 0.3019 | 0.6898        | 74     | 0.0052        | 0.9879 | 0.0057        | 1.0104 |
| 37         | 0.2883 | 0.6976        | 0.2828 | 0.7142        |        |               |        |               |        |

| TABLA 3.17 |        | PRUEBA T3S3R1 |        | PRUEBA T3S3R2 |        | PRUEBA T3S3R1 |        | PRUEBA T3S3R2 |        |
|------------|--------|---------------|--------|---------------|--------|---------------|--------|---------------|--------|
| Número     | Eo     | Fo            | Eo     | Fo            | Número | Eo            | Fo     | Eo            | Fo     |
| Inicio     | 0.0000 | 0.0000        | 0.0000 | 0.0000        | 38     | 0.2738        | 0.7131 | 0.2176        | 0.7781 |
| 1          | 0.9074 | 0.0063        | 1.1575 | 0.0080        | 39     | 0.2462        | 0.7347 | 0.2356        | 0.7969 |
| 2          | 0.8689 | 0.0186        | 1.0439 | 0.0233        | 40     | 0.2225        | 0.7542 | 0.2219        | 0.8160 |
| 3          | 0.9102 | 0.0310        | 1.0366 | 0.0377        | 41     | 0.1881        | 0.7713 | 0.1875        | 0.8330 |
| 4          | 0.8386 | 0.0431        | 1.1348 | 0.0528        | 42     | 0.1813        | 0.7892 | 0.1867        | 0.8486 |
| 5          | 0.8960 | 0.0551        | 1.0753 | 0.0681        | 43     | 0.1518        | 0.8031 | 0.1485        | 0.8626 |
| 6          | 0.9585 | 0.0680        | 0.9544 | 0.0822        | 44     | 0.1501        | 0.8157 | 0.1417        | 0.8746 |
| 7          | 0.8897 | 0.0808        | 0.9525 | 0.0954        | 45     | 0.1444        | 0.8279 | 0.1469        | 0.8866 |
| 8          | 0.7879 | 0.0924        | 1.0770 | 0.1095        | 46     | 0.1400        | 0.8398 | 0.1185        | 0.8977 |
| 9          | 0.8621 | 0.1039        | 0.9964 | 0.1239        | 47     | 0.1267        | 0.8509 | 0.1166        | 0.9075 |
| 10         | 0.7513 | 0.1263        | 0.9940 | 0.1515        | 48     | 0.1122        | 0.8608 | 0.1138        | 0.9171 |
| 11         | 0.8116 | 0.1480        | 1.0172 | 0.1794        | 49     | 0.1005        | 0.8697 | 0.0945        | 0.9257 |
| 12         | 0.7349 | 0.1694        | 0.9511 | 0.2067        | 50     | 0.1095        | 0.8784 | 0.0928        | 0.9335 |
| 13         | 0.7259 | 0.1897        | 0.7696 | 0.2306        | 51     | 0.0931        | 0.8868 | 0.0835        | 0.9409 |
| 14         | 0.7715 | 0.2105        | 0.8946 | 0.2537        | 52     | 0.0942        | 0.8946 | 0.0674        | 0.9472 |
| 15         | 0.7330 | 0.2313        | 0.7510 | 0.2765        | 53     | 0.0751        | 0.9017 | 0.0620        | 0.9525 |
| 16         | 0.6874 | 0.2510        | 0.8160 | 0.2983        | 54     | 0.0721        | 0.9078 | 0.0606        | 0.9576 |
| 17         | 0.6658 | 0.2698        | 0.7780 | 0.3204        | 55     | 0.0642        | 0.9191 | 0.0472        | 0.9666 |
| 18         | 0.6721 | 0.2884        | 0.7889 | 0.3421        | 56     | 0.0625        | 0.9297 | 0.0409        | 0.9740 |
| 19         | 0.6363 | 0.3065        | 0.7240 | 0.3631        | 57     | 0.0513        | 0.9392 | 0.0412        | 0.9808 |
| 20         | 0.6230 | 0.3327        | 0.6306 | 0.3913        | 58     | 0.0369        | 0.9465 | 0.0303        | 0.9868 |
| 21         | 0.5946 | 0.3581        | 0.7057 | 0.4191        | 59     | 0.0396        | 0.9529 | 0.0229        | 0.9912 |
| 22         | 0.5457 | 0.3818        | 0.6197 | 0.4467        | 60     | 0.0322        | 0.9588 | 0.0259        | 0.9952 |
| 23         | 0.5569 | 0.4048        | 0.5987 | 0.4720        | 61     | 0.0393        | 0.9648 | 0.0175        | 0.9989 |
| 24         | 0.4958 | 0.4267        | 0.5886 | 0.4967        | 62     | 0.0240        | 0.9701 | 0.0164        | 1.0017 |
| 25         | 0.5569 | 0.4486        | 0.5714 | 0.5209        | 63     | 0.0235        | 0.9740 | 0.0112        | 1.0040 |
| 26         | 0.4570 | 0.4697        | 0.5261 | 0.5437        | 64     | 0.0197        | 0.9776 | 0.0120        | 1.0059 |
| 27         | 0.4660 | 0.4889        | 0.4753 | 0.5646        | 65     | 0.0169        | 0.9806 | 0.0098        | 1.0077 |
| 28         | 0.4575 | 0.5081        | 0.4726 | 0.5843        | 66     | 0.0161        | 0.9834 | 0.0068        | 1.0091 |
| 29         | 0.4723 | 0.5274        | 0.4641 | 0.6038        | 67     | 0.0150        | 0.9860 | 0.0079        | 1.0103 |
| 30         | 0.4035 | 0.5457        | 0.4253 | 0.6223        | 68     | 0.0115        | 0.9882 | 0.0055        | 1.0115 |
| 31         | 0.4114 | 0.5626        | 0.4261 | 0.6400        | 69     | 0.0106        | 0.9900 | 0.0060        | 1.0124 |
| 32         | 0.4106 | 0.5797        | 0.3688 | 0.6566        | 70     | 0.0117        | 0.9919 | 0.0063        | 1.0134 |
| 33         | 0.3462 | 0.5955        | 0.3522 | 0.6716        | 71     | 0.0128        | 0.9939 | 0.0049        | 1.0144 |
| 34         | 0.3688 | 0.6104        | 0.3863 | 0.6869        | 72     | 0.0134        | 0.9961 | 0.0090        | 1.0155 |
| 35         | 0.3254 | 0.6393        | 0.2724 | 0.7143        | 73     | 0.0145        | 0.9984 | 0.0074        | 1.0169 |
| 36         | 0.3077 | 0.6656        | 0.2670 | 0.7368        | 74     | 0.0063        | 1.0002 | 0.0016        | 1.0176 |
| 37         | 0.2793 | 0.6900        | 0.2536 | 0.7585        |        |               |        |               |        |

TABLA 3.20

## PRUEBA T1S1R2

| Número | Eo     | Fe     | Número | Eo     | Fe     |
|--------|--------|--------|--------|--------|--------|
| inicio | 0.0000 | 0.0000 | 38     | 0.3066 | 0.3180 |
| 1      | 0.3121 | 0.0022 | 39     | 0.1907 | 0.3387 |
| 2      | 0.2977 | 0.0064 | 40     | 0.1927 | 0.3546 |
| 3      | 0.3292 | 0.0107 | 41     | 0.2874 | 0.3746 |
| 4      | 0.3286 | 0.0153 | 42     | 0.1728 | 0.3938 |
| 5      | 0.2963 | 0.0196 | 43     | 0.2099 | 0.4097 |
| 6      | 0.3148 | 0.0239 | 44     | 0.2291 | 0.4280 |
| 7      | 0.2332 | 0.0277 | 45     | 0.1969 | 0.4457 |
| 8      | 0.2071 | 0.0307 | 46     | 0.1927 | 0.4619 |
| 9      | 0.3128 | 0.0343 | 47     | 0.1866 | 0.4777 |
| 10     | 0.2586 | 0.0423 | 48     | 0.2030 | 0.4939 |
| 11     | 0.2305 | 0.0491 | 49     | 0.1241 | 0.5075 |
| 12     | 0.2332 | 0.0555 | 50     | 0.1159 | 0.5175 |
| 13     | 0.2620 | 0.0624 | 51     | 0.1241 | 0.5275 |
| 14     | 0.2346 | 0.0693 | 52     | 0.1283 | 0.5380 |
| 15     | 0.2483 | 0.0760 | 53     | 0.1591 | 0.5500 |
| 16     | 0.2476 | 0.0828 | 54     | 0.1893 | 0.5645 |
| 17     | 0.2949 | 0.0904 | 55     | 0.1536 | 0.5930 |
| 18     | 0.2428 | 0.0978 | 56     | 0.1241 | 0.6162 |
| 19     | 0.2943 | 0.1053 | 57     | 0.1495 | 0.6389 |
| 20     | 0.1790 | 0.1151 | 58     | 0.1351 | 0.6626 |
| 21     | 0.2174 | 0.1234 | 59     | 0.0809 | 0.6806 |
| 22     | 0.1825 | 0.1317 | 60     | 0.0816 | 0.6942 |
| 23     | 0.2462 | 0.1406 | 61     | 0.2956 | 0.7256 |
| 24     | 0.2126 | 0.1502 | 62     | 0.1996 | 0.7668 |
| 25     | 0.1873 | 0.1585 | 63     | 0.1386 | 0.7949 |
| 26     | 0.2119 | 0.1668 | 64     | 0.0912 | 0.8141 |
| 27     | 0.2744 | 0.1769 | 65     | 0.1687 | 0.8357 |
| 28     | 0.2346 | 0.1875 | 66     | 0.0974 | 0.8579 |
| 29     | 0.2421 | 0.1974 | 67     | 0.0919 | 0.8736 |
| 30     | 0.2312 | 0.2073 | 68     | 0.1111 | 0.8905 |
| 31     | 0.1749 | 0.2157 | 69     | 0.1241 | 0.9101 |
| 32     | 0.2579 | 0.2247 | 70     | 0.1619 | 0.9339 |
| 33     | 0.2476 | 0.2353 | 71     | 0.0597 | 0.9523 |
| 34     | 0.2257 | 0.2451 | 72     | 0.1104 | 0.9665 |
| 35     | 0.1996 | 0.2628 | 73     | 0.0803 | 0.9824 |
| 36     | 0.2222 | 0.2804 | 74     | 0.0761 | 0.9954 |
| 37     | 0.1873 | 0.2974 |        |        |        |

| PRUEBA T1S2R1 |        | PRUEBA T1S2R2 |        | PRUEBA T1S2R1 |        | PRUEBA T1S2R2 |        |        |        |
|---------------|--------|---------------|--------|---------------|--------|---------------|--------|--------|--------|
| Número        | Eo     | Fo            | Eo     | Fo            | Número | Eo            | Fo     | Eo     | Fo     |
| inicio        | 0.0000 | 0.0000        | 0.0000 | 0.0000        | 38     | 0.2029        | 0.3850 | 0.2072 | 0.3766 |
| 1             | 0.6968 | 0.0048        | 0.6988 | 0.0048        | 39     | 0.2534        | 0.4040 | 0.1915 | 0.3932 |
| 2             | 0.4304 | 0.0127        | 0.4058 | 0.0125        | 40     | 0.1858        | 0.4223 | 0.2304 | 0.4108 |
| 3             | 0.3846 | 0.0183        | 0.3580 | 0.0178        | 41     | 0.1821        | 0.4376 | 0.2133 | 0.4293 |
| 4             | 0.2831 | 0.0229        | 0.3542 | 0.0227        | 42     | 0.2497        | 0.4556 | 0.2845 | 0.4500 |
| 5             | 0.2979 | 0.0270        | 0.4258 | 0.0282        | 43     | 0.2701        | 0.4772 | 0.2527 | 0.4724 |
| 6             | 0.2622 | 0.0309        | 0.2769 | 0.0330        | 44     | 0.1965        | 0.4966 | 0.2205 | 0.4921 |
| 7             | 0.3989 | 0.0354        | 0.2949 | 0.0370        | 45     | 0.2650        | 0.5158 | 0.2399 | 0.5112 |
| 8             | 0.2664 | 0.0401        | 0.3608 | 0.0415        | 46     | 0.1844        | 0.5345 | 0.1731 | 0.5284 |
| 9             | 0.2196 | 0.0434        | 0.2337 | 0.0457        | 47     | 0.1997        | 0.5505 | 0.1546 | 0.5420 |
| 10            | 0.2854 | 0.0504        | 0.3821 | 0.0542        | 48     | 0.1376        | 0.5646 | 0.1944 | 0.5566 |
| 11            | 0.3026 | 0.0586        | 0.2674 | 0.0632        | 49     | 0.1441        | 0.5763 | 0.2228 | 0.5739 |
| 12            | 0.3229 | 0.0673        | 0.3693 | 0.0721        | 50     | 0.2382        | 0.5922 | 0.1740 | 0.5904 |
| 13            | 0.2859 | 0.0757        | 0.3271 | 0.0817        | 51     | 0.1742        | 0.6094 | 0.1337 | 0.6032 |
| 14            | 0.2432 | 0.0831        | 0.2873 | 0.0903        | 52     | 0.1093        | 0.6212 | 0.1835 | 0.6165 |
| 15            | 0.2710 | 0.0902        | 0.3262 | 0.0988        | 53     | 0.1520        | 0.6320 | 0.1574 | 0.6306 |
| 16            | 0.2924 | 0.0980        | 0.2608 | 0.1069        | 54     | 0.1571        | 0.6449 | 0.1555 | 0.6437 |
| 17            | 0.2669 | 0.1058        | 0.2939 | 0.1146        | 55     | 0.1543        | 0.6708 | 0.1185 | 0.6665 |
| 18            | 0.3490 | 0.1143        | 0.3167 | 0.1231        | 56     | 0.1409        | 0.6954 | 0.1114 | 0.6856 |
| 19            | 0.3081 | 0.1235        | 0.3461 | 0.1323        | 57     | 0.1422        | 0.7189 | 0.1735 | 0.7093 |
| 20            | 0.2859 | 0.1358        | 0.2541 | 0.1448        | 58     | 0.1543        | 0.7436 | 0.0996 | 0.7321 |
| 21            | 0.2613 | 0.1472        | 0.2745 | 0.1558        | 59     | 0.0825        | 0.7633 | 0.1147 | 0.7499 |
| 22            | 0.2785 | 0.1584        | 0.2513 | 0.1667        | 60     | 0.1390        | 0.7818 | 0.1228 | 0.7697 |
| 23            | 0.2984 | 0.1704        | 0.2541 | 0.1772        | 61     | 0.1237        | 0.8036 | 0.1062 | 0.7887 |
| 24            | 0.3521 | 0.1840        | 0.3020 | 0.1888        | 62     | 0.1320        | 0.8249 | 0.1105 | 0.8068 |
| 25            | 0.2789 | 0.1971        | 0.2603 | 0.2005        | 63     | 0.1172        | 0.8457 | 0.1038 | 0.8246 |
| 26            | 0.3795 | 0.2108        | 0.2921 | 0.2120        | 64     | 0.1367        | 0.8668 | 0.1199 | 0.8432 |
| 27            | 0.3674 | 0.2264        | 0.2759 | 0.2238        | 65     | 0.0987        | 0.8864 | 0.1195 | 0.8632 |
| 28            | 0.3410 | 0.2411        | 0.2793 | 0.2354        | 66     | 0.0931        | 0.9024 | 0.0697 | 0.8789 |
| 29            | 0.2752 | 0.2539        | 0.3072 | 0.2476        | 67     | 0.1320        | 0.9211 | 0.0967 | 0.8928 |
| 30            | 0.3809 | 0.2676        | 0.2612 | 0.2594        | 68     | 0.0579        | 0.9369 | 0.1057 | 0.9096 |
| 31            | 0.2567 | 0.2808        | 0.2764 | 0.2706        | 69     | 0.0797        | 0.9484 | 0.0915 | 0.9260 |
| 32            | 0.2307 | 0.2910        | 0.1882 | 0.2803        | 70     | 0.0616        | 0.9602 | 0.0863 | 0.9408 |
| 33            | 0.2618 | 0.3012        | 0.2152 | 0.2887        | 71     | 0.0890        | 0.9727 | 0.1090 | 0.9571 |
| 34            | 0.2164 | 0.3112        | 0.2020 | 0.2973        | 72     | 0.0764        | 0.9865 | 0.0934 | 0.9740 |
| 35            | 0.2117 | 0.3290        | 0.3001 | 0.3182        | 73     | 0.0709        | 0.9987 | 0.0749 | 0.9880 |
| 36            | 0.2715 | 0.3491        | 0.2593 | 0.3415        | 74     | 0.0551        | 1.0092 | 0.0730 | 1.0003 |
| 37            | 0.1937 | 0.3685        | 0.1887 | 0.3602        |        |               |        |        |        |

| PRUEBA T1S3R1 |        | PRUEBA T1S3R2 |        | PRUEBA T1S3R1 |        | PRUEBA T1S3R2 |        |        |        |
|---------------|--------|---------------|--------|---------------|--------|---------------|--------|--------|--------|
| Número        | Eo     | Fo            | Eo     | Fo            | Número | Eo            | Fo     | Eo     | Fo     |
| Inicio        | 0.0000 | 0.0000        | 0.0000 | 0.0000        | 38     | 0.2412        | 0.3907 | 0.2060 | 0.3989 |
| 1             | 0.9658 | 0.0067        | 1.1061 | 0.0077        | 39     | 0.2346        | 0.4105 | 0.2298 | 0.4170 |
| 2             | 0.4933 | 0.0168        | 0.5893 | 0.0194        | 40     | 0.2732        | 0.4317 | 0.2158 | 0.4355 |
| 3             | 0.3237 | 0.0225        | 0.4490 | 0.0266        | 41     | 0.1857        | 0.4508 | 0.1831 | 0.4521 |
| 4             | 0.3838 | 0.0274        | 0.4723 | 0.0330        | 42     | 0.2433        | 0.4686 | 0.2531 | 0.4703 |
| 5             | 0.3963 | 0.0328        | 0.4142 | 0.0392        | 43     | 0.2093        | 0.4875 | 0.1887 | 0.4887 |
| 6             | 0.4104 | 0.0384        | 0.4163 | 0.0449        | 44     | 0.2557        | 0.5068 | 0.2374 | 0.5064 |
| 7             | 0.3490 | 0.0437        | 0.4248 | 0.0508        | 45     | 0.1384        | 0.5232 | 0.1437 | 0.5223 |
| 8             | 0.3855 | 0.0488        | 0.3697 | 0.0563        | 46     | 0.1965        | 0.5372 | 0.2175 | 0.5373 |
| 9             | 0.3167 | 0.0536        | 0.3540 | 0.0613        | 47     | 0.2110        | 0.5541 | 0.2137 | 0.5553 |
| 10            | 0.4800 | 0.0647        | 0.4795 | 0.0729        | 48     | 0.2106        | 0.5717 | 0.1471 | 0.5703 |
| 11            | 0.3905 | 0.0768        | 0.3455 | 0.0843        | 49     | 0.1501        | 0.5867 | 0.1454 | 0.5825 |
| 12            | 0.3295 | 0.0868        | 0.3447 | 0.0939        | 50     | 0.1020        | 0.5972 | 0.1878 | 0.5963 |
| 13            | 0.2935 | 0.0954        | 0.4121 | 0.1044        | 51     | 0.2168        | 0.6104 | 0.1793 | 0.6116 |
| 14            | 0.3250 | 0.1040        | 0.2989 | 0.1143        | 52     | 0.0962        | 0.6235 | 0.1323 | 0.6246 |
| 15            | 0.4493 | 0.1147        | 0.4176 | 0.1242        | 53     | 0.1650        | 0.6343 | 0.2111 | 0.6389 |
| 16            | 0.2578 | 0.1245        | 0.3527 | 0.1349        | 54     | 0.1646        | 0.6481 | 0.1734 | 0.6549 |
| 17            | 0.2238 | 0.1312        | 0.3570 | 0.1447        | 55     | 0.1977        | 0.6782 | 0.1781 | 0.6841 |
| 18            | 0.3067 | 0.1386        | 0.3247 | 0.1542        | 56     | 0.1065        | 0.7035 | 0.0793 | 0.7056 |
| 19            | 0.2682 | 0.1466        | 0.3387 | 0.1634        | 57     | 0.1355        | 0.7237 | 0.1441 | 0.7242 |
| 20            | 0.2794 | 0.1579        | 0.3235 | 0.1772        | 58     | 0.1181        | 0.7448 | 0.1293 | 0.7469 |
| 21            | 0.2056 | 0.1680        | 0.2552 | 0.1892        | 59     | 0.0999        | 0.7630 | 0.1217 | 0.7678 |
| 22            | 0.2835 | 0.1782        | 0.2612 | 0.2000        | 60     | 0.1239        | 0.7816 | 0.1365 | 0.7893 |
| 23            | 0.3100 | 0.1906        | 0.2539 | 0.2107        | 61     | 0.1360        | 0.8032 | 0.0873 | 0.8079 |
| 24            | 0.2918 | 0.2031        | 0.2870 | 0.2219        | 62     | 0.1185        | 0.8244 | 0.0852 | 0.8223 |
| 25            | 0.2781 | 0.2150        | 0.2862 | 0.2339        | 63     | 0.1273        | 0.8449 | 0.0967 | 0.8374 |
| 26            | 0.2665 | 0.2263        | 0.2514 | 0.2451        | 64     | 0.1318        | 0.8664 | 0.1289 | 0.8562 |
| 27            | 0.2371 | 0.2368        | 0.2696 | 0.2559        | 65     | 0.0862        | 0.8846 | 0.1276 | 0.8776 |
| 28            | 0.3312 | 0.2486        | 0.2709 | 0.2671        | 66     | 0.1053        | 0.9005 | 0.0984 | 0.8964 |
| 29            | 0.2665 | 0.2610        | 0.2281 | 0.2775        | 67     | 0.0912        | 0.9169 | 0.0750 | 0.9108 |
| 30            | 0.2106 | 0.2710        | 0.1959 | 0.2864        | 68     | 0.0825        | 0.9313 | 0.0742 | 0.9232 |
| 31            | 0.3130 | 0.2819        | 0.2578 | 0.2958        | 69     | 0.1086        | 0.9472 | 0.0814 | 0.9362 |
| 32            | 0.2321 | 0.2932        | 0.2056 | 0.3054        | 70     | 0.0862        | 0.9635 | 0.0789 | 0.9495 |
| 33            | 0.3221 | 0.3047        | 0.2790 | 0.3155        | 71     | 0.0547        | 0.9752 | 0.0598 | 0.9611 |
| 34            | 0.2475 | 0.3166        | 0.2764 | 0.3271        | 72     | 0.0962        | 0.9878 | 0.0687 | 0.9718 |
| 35            | 0.2873 | 0.3389        | 0.2489 | 0.3489        | 73     | 0.0796        | 1.0024 | 0.0526 | 0.9818 |
| 36            | 0.1981 | 0.3591        | 0.2111 | 0.3681        | 74     | 0.0870        | 1.0163 | 0.0496 | 0.9904 |
| 37            | 0.1608 | 0.3740        | 0.1611 | 0.3836        |        |               |        |        |        |

| TABLA 3.25 |        | PRUEBA T2S1R1 |        | PRUEBA T2S1R2 |        | PRUEBA T2S1R1 |        | PRUEBA T2S1R2 |        |
|------------|--------|---------------|--------|---------------|--------|---------------|--------|---------------|--------|
| Número     | Eo     | Fo            | Eo     | Fo            | Número | Eo            | Fo     | Eo            | Fo     |
| inicio     | 0.0000 | 0.0000        | 0.0000 | 0.0000        | 38     | 0.2340        | 0.4488 | 0.2034        | 0.4211 |
| 1          | 0.5304 | 0.0037        | 0.3958 | 0.0027        | 39     | 0.2477        | 0.4688 | 0.1501        | 0.4358 |
| 2          | 0.4715 | 0.0107        | 0.4575 | 0.0087        | 40     | 0.2034        | 0.4876 | 0.2314        | 0.4516 |
| 3          | 0.4413 | 0.0171        | 0.3531 | 0.0143        | 41     | 0.2490        | 0.5064 | 0.2230        | 0.4706 |
| 4          | 0.5322 | 0.0238        | 0.3434 | 0.0191        | 42     | 0.1874        | 0.5246 | 0.2212        | 0.4890 |
| 5          | 0.3691 | 0.0301        | 0.3376 | 0.0238        | 43     | 0.1981        | 0.5406 | 0.2137        | 0.5071 |
| 6          | 0.4188 | 0.0355        | 0.3718 | 0.0288        | 44     | 0.2375        | 0.5588 | 0.1710        | 0.5232 |
| 7          | 0.4746 | 0.0417        | 0.3833 | 0.0340        | 45     | 0.2428        | 0.5788 | 0.1683        | 0.5373 |
| 8          | 0.4347 | 0.0480        | 0.3656 | 0.0392        | 46     | 0.1648        | 0.5957 | 0.1999        | 0.5526 |
| 9          | 0.4600 | 0.0543        | 0.3278 | 0.0440        | 47     | 0.1839        | 0.6102 | 0.1501        | 0.5672 |
| 10         | 0.3962 | 0.0661        | 0.3776 | 0.0538        | 48     | 0.1285        | 0.6232 | 0.1750        | 0.5807 |
| 11         | 0.4223 | 0.0775        | 0.3385 | 0.0637        | 49     | 0.1830        | 0.6362 | 0.1199        | 0.5930 |
| 12         | 0.4786 | 0.0900        | 0.2758 | 0.0722        | 50     | 0.2069        | 0.6524 | 0.1484        | 0.6042 |
| 13         | 0.4467 | 0.1028        | 0.4473 | 0.0823        | 51     | 0.1321        | 0.6665 | 0.1683        | 0.6173 |
| 14         | 0.4316 | 0.1150        | 0.3038 | 0.0927        | 52     | 0.1542        | 0.6785 | 0.1337        | 0.6299 |
| 15         | 0.4156 | 0.1268        | 0.3887 | 0.1023        | 53     | 0.1799        | 0.6924 | 0.1266        | 0.6407 |
| 16         | 0.3824 | 0.1378        | 0.4237 | 0.1136        | 54     | 0.1086        | 0.7044 | 0.1199        | 0.6510 |
| 17         | 0.3731 | 0.1483        | 0.2847 | 0.1234        | 55     | 0.1179        | 0.7232 | 0.1297        | 0.6718 |
| 18         | 0.3523 | 0.1584        | 0.4366 | 0.1334        | 56     | 0.1028        | 0.7416 | 0.1102        | 0.6924 |
| 19         | 0.3470 | 0.1681        | 0.3549 | 0.1444        | 57     | 0.1414        | 0.7619 | 0.1008        | 0.7106 |
| 20         | 0.3713 | 0.1830        | 0.4140 | 0.1604        | 58     | 0.1126        | 0.7831 | 0.1013        | 0.7275 |
| 21         | 0.3257 | 0.1975        | 0.3136 | 0.1755        | 59     | 0.0793        | 0.7990 | 0.1675        | 0.7498 |
| 22         | 0.3465 | 0.2115        | 0.2998 | 0.1883        | 60     | 0.0736        | 0.8117 | 0.1155        | 0.7734 |
| 23         | 0.2805 | 0.2246        | 0.3802 | 0.2025        | 61     | 0.1032        | 0.8265 | 0.1062        | 0.7918 |
| 24         | 0.3793 | 0.2383        | 0.2834 | 0.2163        | 62     | 0.1041        | 0.8437 | 0.0924        | 0.8084 |
| 25         | 0.3753 | 0.2540        | 0.3762 | 0.2300        | 63     | 0.1032        | 0.8610 | 0.1261        | 0.8266 |
| 26         | 0.3315 | 0.2687        | 0.3616 | 0.2454        | 64     | 0.0886        | 0.8770 | 0.1155        | 0.8467 |
| 27         | 0.3159 | 0.2822        | 0.3447 | 0.2601        | 65     | 0.0904        | 0.8919 | 0.1155        | 0.8659 |
| 28         | 0.2694 | 0.2944        | 0.2967 | 0.2734        | 66     | 0.0669        | 0.9050 | 0.1137        | 0.8850 |
| 29         | 0.3177 | 0.3066        | 0.2474 | 0.2847        | 67     | 0.0580        | 0.9154 | 0.0688        | 0.9002 |
| 30         | 0.3208 | 0.3199        | 0.2376 | 0.2948        | 68     | 0.0873        | 0.9275 | 0.0688        | 0.9116 |
| 31         | 0.3168 | 0.3332        | 0.3709 | 0.3075        | 69     | 0.0518        | 0.9390 | 0.0631        | 0.9226 |
| 32         | 0.2725 | 0.3454        | 0.3154 | 0.3218        | 70     | 0.0585        | 0.9482 | 0.0742        | 0.9340 |
| 33         | 0.2442 | 0.3562        | 0.2190 | 0.3329        | 71     | 0.0798        | 0.9597 | 0.0999        | 0.9485 |
| 34         | 0.1963 | 0.3653        | 0.3389 | 0.3445        | 72     | 0.0625        | 0.9716 | 0.0617        | 0.9620 |
| 35         | 0.2672 | 0.3846        | 0.2425 | 0.3687        | 73     | 0.0700        | 0.9826 | 0.0968        | 0.9752 |
| 36         | 0.2854 | 0.4076        | 0.2105 | 0.3876        | 74     | 0.0647        | 0.9938 | 0.0857        | 0.9904 |
| 37         | 0.2344 | 0.4293        | 0.1954 | 0.4044        |        |               |        |               |        |

| TABLA 3.27 |        | PRUEBA T2S2R1 |        | PRUEBA T2S2R2 |        | PRUEBA T2S2R1 |        | PRUEBA T2S2R2 |        |
|------------|--------|---------------|--------|---------------|--------|---------------|--------|---------------|--------|
| Número     | Eo     | Fo            | Eo     | Fo            | Número | Eo            | Fo     | Eo            | Fo     |
| inicio     | 0.0000 | 0.0000        | 0.0000 | 0.0000        | 38     | 0.2418        | 0.4261 | 0.2265        | 0.4410 |
| 1          | 0.5506 | 0.0038        | 0.6715 | 0.0047        | 39     | 0.2569        | 0.4469 | 0.2799        | 0.4621 |
| 2          | 0.5542 | 0.0115        | 0.4613 | 0.0125        | 40     | 0.1982        | 0.4658 | 0.1973        | 0.4820 |
| 3          | 0.5050 | 0.0188        | 0.4177 | 0.0186        | 41     | 0.1716        | 0.4812 | 0.2004        | 0.4985 |
| 4          | 0.4785 | 0.0257        | 0.4052 | 0.0243        | 42     | 0.2038        | 0.4968 | 0.1844        | 0.5145 |
| 5          | 0.3584 | 0.0315        | 0.4693 | 0.0304        | 43     | 0.2291        | 0.5148 | 0.2060        | 0.5308 |
| 6          | 0.5003 | 0.0374        | 0.4068 | 0.0365        | 44     | 0.1649        | 0.5312 | 0.2746        | 0.5508 |
| 7          | 0.3453 | 0.0433        | 0.4848 | 0.0427        | 45     | 0.2497        | 0.5485 | 0.1348        | 0.5678 |
| 8          | 0.4246 | 0.0486        | 0.3776 | 0.0486        | 46     | 0.1633        | 0.5657 | 0.1992        | 0.5817 |
| 9          | 0.3726 | 0.0542        | 0.4318 | 0.0542        | 47     | 0.1772        | 0.5799 | 0.1265        | 0.5953 |
| 10         | 0.3270 | 0.0639        | 0.3871 | 0.0656        | 48     | 0.1934        | 0.5953 | 0.2420        | 0.6106 |
| 11         | 0.4281 | 0.0743        | 0.3303 | 0.0756        | 49     | 0.1550        | 0.6098 | 0.1273        | 0.6260 |
| 12         | 0.2628 | 0.0839        | 0.3784 | 0.0854        | 50     | 0.2097        | 0.6250 | 0.1416        | 0.6372 |
| 13         | 0.3092 | 0.0919        | 0.3708 | 0.0958        | 51     | 0.1288        | 0.6391 | 0.1617        | 0.6498 |
| 14         | 0.5288 | 0.1035        | 0.3708 | 0.1061        | 52     | 0.1855        | 0.6521 | 0.1504        | 0.6628 |
| 15         | 0.3698 | 0.1160        | 0.4526 | 0.1175        | 53     | 0.1566        | 0.6664 | 0.1382        | 0.6748 |
| 16         | 0.3944 | 0.1266        | 0.4958 | 0.1307        | 54     | 0.1312        | 0.6784 | 0.1712        | 0.6877 |
| 17         | 0.3104 | 0.1363        | 0.3178 | 0.1419        | 55     | 0.1447        | 0.7013 | 0.1655        | 0.7157 |
| 18         | 0.3096 | 0.1449        | 0.3571 | 0.1513        | 56     | 0.1431        | 0.7253 | 0.1087        | 0.7386 |
| 19         | 0.2719 | 0.1530        | 0.3712 | 0.1614        | 57     | 0.1435        | 0.7491 | 0.1053        | 0.7564 |
| 20         | 0.3429 | 0.1658        | 0.3765 | 0.1770        | 58     | 0.1403        | 0.7728 | 0.1386        | 0.7767 |
| 21         | 0.3488 | 0.1802        | 0.3087 | 0.1912        | 59     | 0.0825        | 0.7913 | 0.1212        | 0.7983 |
| 22         | 0.2973 | 0.1936        | 0.3193 | 0.2043        | 60     | 0.1348        | 0.8094 | 0.1110        | 0.8176 |
| 23         | 0.3548 | 0.2072        | 0.2609 | 0.2164        | 61     | 0.0904        | 0.8281 | 0.1083        | 0.8359 |
| 24         | 0.3457 | 0.2218        | 0.2882 | 0.2278        | 62     | 0.1197        | 0.8456 | 0.1113        | 0.8542 |
| 25         | 0.2830 | 0.2349        | 0.3132 | 0.2403        | 63     | 0.0892        | 0.8630 | 0.0898        | 0.8709 |
| 26         | 0.2382 | 0.2457        | 0.3435 | 0.2540        | 64     | 0.0936        | 0.8782 | 0.0754        | 0.8847 |
| 27         | 0.3806 | 0.2586        | 0.3598 | 0.2686        | 65     | 0.0852        | 0.8931 | 0.0632        | 0.8962 |
| 28         | 0.3100 | 0.2730        | 0.2901 | 0.2821        | 66     | 0.1506        | 0.9127 | 0.1049        | 0.9102 |
| 29         | 0.2822 | 0.2853        | 0.2712 | 0.2938        | 67     | 0.0575        | 0.9301 | 0.1185        | 0.9288 |
| 30         | 0.2711 | 0.2968        | 0.2954 | 0.3056        | 68     | 0.0884        | 0.9422 | 0.0750        | 0.9449 |
| 31         | 0.3247 | 0.3092        | 0.2806 | 0.3176        | 69     | 0.0809        | 0.9563 | 0.0754        | 0.9574 |
| 32         | 0.2814 | 0.3218        | 0.4265 | 0.3323        | 70     | 0.0543        | 0.9676 | 0.0852        | 0.9708 |
| 33         | 0.2390 | 0.3327        | 0.2307 | 0.3460        | 71     | 0.0821        | 0.9789 | 0.0773        | 0.9843 |
| 34         | 0.3155 | 0.3442        | 0.3284 | 0.3576        | 72     | 0.0880        | 0.9931 | 0.0598        | 0.9957 |
| 35         | 0.2410 | 0.3674        | 0.2704 | 0.3826        | 73     | 0.0741        | 1.0066 | 0.0515        | 1.0050 |
| 36         | 0.2525 | 0.3879        | 0.2022 | 0.4022        | 74     | 0.0634        | 1.0180 | 0.0417        | 1.0128 |
| 37         | 0.2117 | 0.4072        | 0.2519 | 0.4211        |        |               |        |               |        |

| PRUEBA T253R1 |        | PRUEBA T253R2 |        | PRUEBA T253R1 |        | PRUEBA T253R2 |        |        |        |
|---------------|--------|---------------|--------|---------------|--------|---------------|--------|--------|--------|
| Número        | Eo     | Fo            | Eo     | Fo            | Número | Eo            | Fo     | Eo     | Fo     |
| inicio        | 0.0000 | 0.0000        | 0.0000 | 0.0000        | 38     | 0.2500        | 0.4913 | 0.2301 | 0.4663 |
| 1             | 0.7551 | 0.0052        | 0.9281 | 0.0064        | 39     | 0.2476        | 0.5120 | 0.2588 | 0.4866 |
| 2             | 0.7310 | 0.0155        | 0.6187 | 0.0172        | 40     | 0.2103        | 0.5311 | 0.2947 | 0.5096 |
| 3             | 0.4895 | 0.0240        | 0.5445 | 0.0252        | 41     | 0.2415        | 0.5499 | 0.2170 | 0.5309 |
| 4             | 0.4705 | 0.0307        | 0.4261 | 0.0320        | 42     | 0.1920        | 0.5680 | 0.2050 | 0.5485 |
| 5             | 0.6218 | 0.0382        | 0.3481 | 0.0373        | 43     | 0.1825        | 0.5835 | 0.2129 | 0.5659 |
| 6             | 0.5064 | 0.0461        | 0.4416 | 0.0428        | 44     | 0.2476        | 0.6014 | 0.1546 | 0.5812 |
| 7             | 0.4701 | 0.0529        | 0.6073 | 0.0501        | 45     | 0.1862        | 0.6195 | 0.2167 | 0.5966 |
| 8             | 0.5319 | 0.0598        | 0.4299 | 0.0573        | 46     | 0.2015        | 0.6356 | 0.1384 | 0.6114 |
| 9             | 0.4654 | 0.0667        | 0.3395 | 0.0626        | 47     | 0.1662        | 0.6509 | 0.1846 | 0.6249 |
| 10            | 0.4610 | 0.0796        | 0.4223 | 0.0732        | 48     | 0.2198        | 0.6670 | 0.2298 | 0.6421 |
| 11            | 0.3955 | 0.0915        | 0.4379 | 0.0851        | 49     | 0.1669        | 0.6831 | 0.1622 | 0.6584 |
| 12            | 0.5346 | 0.1044        | 0.3895 | 0.0966        | 50     | 0.1781        | 0.6975 | 0.1736 | 0.6724 |
| 13            | 0.3836 | 0.1171        | 0.3820 | 0.1073        | 51     | 0.1398        | 0.7107 | 0.1108 | 0.6842 |
| 14            | 0.3959 | 0.1279        | 0.3858 | 0.1180        | 52     | 0.1408        | 0.7224 | 0.1639 | 0.6957 |
| 15            | 0.3823 | 0.1387        | 0.3837 | 0.1286        | 53     | 0.1421        | 0.7341 | 0.1121 | 0.7072 |
| 16            | 0.4006 | 0.1496        | 0.4937 | 0.1408        | 54     | 0.1255        | 0.7453 | 0.1842 | 0.7195 |
| 17            | 0.4308 | 0.1611        | 0.4182 | 0.1535        | 55     | 0.1147        | 0.7653 | 0.1825 | 0.7500 |
| 18            | 0.4766 | 0.1737        | 0.3971 | 0.1648        | 56     | 0.1001        | 0.7831 | 0.1339 | 0.7764 |
| 19            | 0.3680 | 0.1854        | 0.3399 | 0.1750        | 57     | 0.1265        | 0.8020 | 0.1197 | 0.7975 |
| 20            | 0.3894 | 0.2012        | 0.4154 | 0.1907        | 58     | 0.1092        | 0.8216 | 0.0825 | 0.8143 |
| 21            | 0.4186 | 0.2180        | 0.4123 | 0.2079        | 59     | 0.0940        | 0.8385 | 0.0628 | 0.8264 |
| 22            | 0.3691 | 0.2344        | 0.3971 | 0.2248        | 60     | 0.0706        | 0.8522 | 0.0963 | 0.8396 |
| 23            | 0.3680 | 0.2497        | 0.3198 | 0.2397        | 61     | 0.0851        | 0.8652 | 0.0794 | 0.8543 |
| 24            | 0.3650 | 0.2650        | 0.4023 | 0.2547        | 62     | 0.0936        | 0.8801 | 0.1159 | 0.8705 |
| 25            | 0.3728 | 0.2803        | 0.2974 | 0.2693        | 63     | 0.0451        | 0.8916 | 0.0890 | 0.8876 |
| 26            | 0.3161 | 0.2947        | 0.2947 | 0.2816        | 64     | 0.0414        | 0.8988 | 0.0728 | 0.9010 |
| 27            | 0.4084 | 0.3097        | 0.3019 | 0.2940        | 65     | 0.0628        | 0.9075 | 0.1014 | 0.9156 |
| 28            | 0.3860 | 0.3263        | 0.3050 | 0.3067        | 66     | 0.0628        | 0.9179 | 0.0738 | 0.9301 |
| 29            | 0.3185 | 0.3409        | 0.2046 | 0.3173        | 67     | 0.0834        | 0.9301 | 0.0925 | 0.9440 |
| 30            | 0.2941 | 0.3537        | 0.2533 | 0.3268        | 68     | 0.0597        | 0.9420 | 0.0735 | 0.9578 |
| 31            | 0.2938 | 0.3659        | 0.3426 | 0.3392        | 69     | 0.0624        | 0.9522 | 0.0500 | 0.9681 |
| 32            | 0.3070 | 0.3784        | 0.3592 | 0.3536        | 70     | 0.0258        | 0.9595 | 0.0573 | 0.9770 |
| 33            | 0.3117 | 0.3913        | 0.3057 | 0.3677        | 71     | 0.0533        | 0.9661 | 0.0790 | 0.9884 |
| 34            | 0.2249 | 0.4025        | 0.2702 | 0.3796        | 72     | 0.0560        | 0.9752 | 0.0638 | 1.0003 |
| 35            | 0.2951 | 0.4241        | 0.3174 | 0.4041        | 73     | 0.0516        | 0.9842 | 0.0393 | 1.0088 |
| 36            | 0.2897 | 0.4485        | 0.2660 | 0.4284        | 74     | 0.0451        | 0.9922 | 0.0569 | 1.0169 |
| 37            | 0.2452 | 0.4707        | 0.2070 | 0.4481        |        |               |        |        |        |

| TABLA 3.31 PRUEBA T3S1R1 |        |        |        |        | PRUEBA T3S1R2 |        |        |        |        |
|--------------------------|--------|--------|--------|--------|---------------|--------|--------|--------|--------|
| Número                   | Eo     | Fo     | Eo     | Fo     | Número        | Eo     | Fo     | Eo     | Fo     |
| inicio                   | 0.0000 | 0.0000 | 0.0000 | 0.0000 | 38            | 0.2597 | 0.7113 | 0.2801 | 0.7295 |
| 1                        | 1.0137 | 0.0070 | 0.9284 | 0.0064 | 39            | 0.2735 | 0.7335 | 0.2519 | 0.7517 |
| 2                        | 0.8807 | 0.0202 | 0.8890 | 0.0190 | 40            | 0.2145 | 0.7538 | 0.2276 | 0.7716 |
| 3                        | 0.9336 | 0.0328 | 0.9312 | 0.0317 | 41            | 0.1993 | 0.7710 | 0.1924 | 0.7891 |
| 4                        | 0.8349 | 0.0450 | 0.8580 | 0.0441 | 42            | 0.1830 | 0.7869 | 0.1855 | 0.8075 |
| 5                        | 0.8759 | 0.0569 | 0.9167 | 0.0564 | 43            | 0.1875 | 0.8024 | 0.1553 | 0.8217 |
| 6                        | 0.8582 | 0.0689 | 0.9806 | 0.0696 | 44            | 0.1709 | 0.8173 | 0.1536 | 0.8345 |
| 7                        | 0.8487 | 0.0808 | 0.9103 | 0.0827 | 45            | 0.1380 | 0.8301 | 0.1478 | 0.8471 |
| 8                        | 0.8411 | 0.0925 | 0.8061 | 0.0946 | 46            | 0.1563 | 0.8424 | 0.1433 | 0.8592 |
| 9                        | 0.7826 | 0.1038 | 0.8820 | 0.1063 | 47            | 0.1279 | 0.8542 | 0.1296 | 0.8705 |
| 10                       | 0.8194 | 0.1260 | 0.7686 | 0.1292 | 48            | 0.1251 | 0.8647 | 0.1148 | 0.8807 |
| 11                       | 0.8031 | 0.1485 | 0.8304 | 0.1514 | 49            | 0.1032 | 0.8742 | 0.1028 | 0.8898 |
| 12                       | 0.7615 | 0.1702 | 0.7519 | 0.1733 | 50            | 0.0919 | 0.8824 | 0.1120 | 0.8987 |
| 13                       | 0.8045 | 0.1919 | 0.7427 | 0.1941 | 51            | 0.0888 | 0.8899 | 0.0952 | 0.9073 |
| 14                       | 0.8172 | 0.2144 | 0.7893 | 0.2153 | 52            | 0.0984 | 0.8977 | 0.0964 | 0.9153 |
| 15                       | 0.6952 | 0.2354 | 0.7499 | 0.2367 | 53            | 0.0804 | 0.9051 | 0.0768 | 0.9225 |
| 16                       | 0.6997 | 0.2548 | 0.7033 | 0.2568 | 54            | 0.0697 | 0.9114 | 0.0737 | 0.9288 |
| 17                       | 0.6803 | 0.2739 | 0.6812 | 0.2760 | 55            | 0.0607 | 0.9222 | 0.0656 | 0.9404 |
| 18                       | 0.6243 | 0.2920 | 0.6876 | 0.2950 | 56            | 0.0616 | 0.9324 | 0.0640 | 0.9512 |
| 19                       | 0.5900 | 0.3089 | 0.6511 | 0.3136 | 57            | 0.0495 | 0.9417 | 0.0525 | 0.9609 |
| 20                       | 0.5375 | 0.3323 | 0.6374 | 0.3404 | 58            | 0.0408 | 0.9492 | 0.0377 | 0.9684 |
| 21                       | 0.6049 | 0.3561 | 0.6083 | 0.3664 | 59            | 0.0365 | 0.9556 | 0.0405 | 0.9749 |
| 22                       | 0.6100 | 0.3814 | 0.5583 | 0.3906 | 60            | 0.0357 | 0.9616 | 0.0330 | 0.9810 |
| 23                       | 0.5409 | 0.4053 | 0.5698 | 0.4141 | 61            | 0.0239 | 0.9666 | 0.0402 | 0.9871 |
| 24                       | 0.5341 | 0.4277 | 0.5072 | 0.4365 | 62            | 0.0256 | 0.9707 | 0.0246 | 0.9925 |
| 25                       | 0.5245 | 0.4497 | 0.5698 | 0.4589 | 63            | 0.0290 | 0.9752 | 0.0240 | 0.9965 |
| 26                       | 0.4919 | 0.4709 | 0.4676 | 0.4805 | 64            | 0.0169 | 0.9790 | 0.0201 | 1.0005 |
| 27                       | 0.4562 | 0.4906 | 0.4768 | 0.5002 | 65            | 0.0138 | 0.9816 | 0.0173 | 1.0033 |
| 28                       | 0.4776 | 0.5101 | 0.4681 | 0.5198 | 66            | 0.0138 | 0.9839 | 0.0165 | 1.0061 |
| 29                       | 0.4087 | 0.5285 | 0.4832 | 0.5396 | 67            | 0.0112 | 0.9860 | 0.0154 | 1.0088 |
| 30                       | 0.4124 | 0.5456 | 0.4128 | 0.5583 | 68            | 0.0101 | 0.9877 | 0.0117 | 1.0110 |
| 31                       | 0.4068 | 0.5626 | 0.4209 | 0.5756 | 69            | 0.0079 | 0.9892 | 0.0109 | 1.0129 |
| 32                       | 0.4267 | 0.5800 | 0.4201 | 0.5931 | 70            | 0.0076 | 0.9905 | 0.0120 | 1.0148 |
| 33                       | 0.3742 | 0.5966 | 0.3542 | 0.6093 | 71            | 0.0065 | 0.9917 | 0.0131 | 1.0169 |
| 34                       | 0.3657 | 0.6120 | 0.3773 | 0.6245 | 72            | 0.0143 | 0.9934 | 0.0137 | 1.0192 |
| 35                       | 0.3219 | 0.6407 | 0.3329 | 0.6540 | 73            | 0.0093 | 0.9954 | 0.0148 | 1.0215 |
| 36                       | 0.2870 | 0.6660 | 0.3148 | 0.6810 | 74            | 0.0039 | 0.9965 | 0.0064 | 1.0233 |
| 37                       | 0.2707 | 0.6892 | 0.2857 | 0.7060 |               |        |        |        |        |

TABLA 3.33 PRUEBA T3S2R1

PRUEBA T3S2R2

PRUEBA T3S2R1

PRUEBA T3S2R2

| Número | Eo     | Fo     | Eo     | Fo     | Número | Eo     | Fo     | Eo     | Fo     |
|--------|--------|--------|--------|--------|--------|--------|--------|--------|--------|
| inicio | 0.0000 | 0.0000 | 0.0000 | 0.0000 | 38     | 0.2599 | 0.7366 | 0.2506 | 0.7484 |
| 1      | 0.9172 | 0.0064 | 1.0098 | 0.0070 | 39     | 0.2379 | 0.7573 | 0.2819 | 0.7706 |
| 2      | 1.0107 | 0.0197 | 0.9971 | 0.0209 | 40     | 0.2133 | 0.7761 | 0.2123 | 0.7911 |
| 3      | 0.9563 | 0.0334 | 1.0248 | 0.0350 | 41     | 0.1971 | 0.7931 | 0.1992 | 0.8083 |
| 4      | 0.9317 | 0.0465 | 0.9294 | 0.0485 | 42     | 0.1770 | 0.8087 | 0.1909 | 0.8245 |
| 5      | 0.9677 | 0.0597 | 0.9419 | 0.0615 | 43     | 0.1798 | 0.8236 | 0.1682 | 0.8394 |
| 6      | 0.9094 | 0.0727 | 1.0046 | 0.0750 | 44     | 0.1667 | 0.8380 | 0.1571 | 0.8530 |
| 7      | 0.9002 | 0.0852 | 0.9288 | 0.0884 | 45     | 0.1550 | 0.8514 | 0.1315 | 0.8650 |
| 8      | 0.8977 | 0.0977 | 0.9463 | 0.1014 | 46     | 0.1301 | 0.8632 | 0.1196 | 0.8754 |
| 9      | 0.9041 | 0.1102 | 0.9066 | 0.1143 | 47     | 0.1212 | 0.8737 | 0.1315 | 0.8859 |
| 10     | 0.8365 | 0.1343 | 0.8872 | 0.1392 | 48     | 0.1377 | 0.8845 | 0.1071 | 0.8958 |
| 11     | 0.8301 | 0.1575 | 0.8112 | 0.1627 | 49     | 0.0963 | 0.8942 | 0.1080 | 0.9048 |
| 12     | 0.8602 | 0.1809 | 0.8292 | 0.1855 | 50     | 0.0933 | 0.9021 | 0.0971 | 0.9133 |
| 13     | 0.7857 | 0.2038 | 0.8206 | 0.2084 | 51     | 0.1000 | 0.9101 | 0.0957 | 0.9213 |
| 14     | 0.7756 | 0.2254 | 0.8142 | 0.2310 | 52     | 0.0821 | 0.9177 | 0.0882 | 0.9290 |
| 15     | 0.7625 | 0.2468 | 0.7812 | 0.2532 | 53     | 0.0698 | 0.9240 | 0.0719 | 0.9357 |
| 16     | 0.7885 | 0.2683 | 0.6952 | 0.2737 | 54     | 0.0743 | 0.9300 | 0.0697 | 0.9416 |
| 17     | 0.7098 | 0.2891 | 0.6852 | 0.2928 | 55     | 0.0522 | 0.9406 | 0.0641 | 0.9527 |
| 18     | 0.6598 | 0.3081 | 0.7018 | 0.3121 | 56     | 0.0575 | 0.9497 | 0.0580 | 0.9629 |
| 19     | 0.6665 | 0.3265 | 0.6924 | 0.3314 | 57     | 0.0511 | 0.9587 | 0.0425 | 0.9712 |
| 20     | 0.6050 | 0.3529 | 0.6147 | 0.3586 | 58     | 0.0363 | 0.9660 | 0.0433 | 0.9784 |
| 21     | 0.6564 | 0.3792 | 0.6380 | 0.3847 | 59     | 0.0321 | 0.9717 | 0.0386 | 0.9852 |
| 22     | 0.5587 | 0.4045 | 0.6768 | 0.4120 | 60     | 0.0318 | 0.9770 | 0.0361 | 0.9914 |
| 23     | 0.5598 | 0.4277 | 0.5930 | 0.4385 | 61     | 0.0243 | 0.9817 | 0.0247 | 0.9964 |
| 24     | 0.5369 | 0.4506 | 0.5578 | 0.4624 | 62     | 0.0223 | 0.9856 | 0.0214 | 1.0003 |
| 25     | 0.5400 | 0.4730 | 0.5139 | 0.4847 | 63     | 0.0198 | 0.9891 | 0.0211 | 1.0038 |
| 26     | 0.4903 | 0.4944 | 0.4856 | 0.5055 | 64     | 0.0176 | 0.9922 | 0.0214 | 1.0073 |
| 27     | 0.5093 | 0.5152 | 0.4898 | 0.5258 | 65     | 0.0120 | 0.9947 | 0.0169 | 1.0105 |
| 28     | 0.4183 | 0.5345 | 0.4670 | 0.5457 | 66     | 0.0173 | 0.9971 | 0.0158 | 1.0133 |
| 29     | 0.4509 | 0.5526 | 0.4143 | 0.5641 | 67     | 0.0134 | 0.9997 | 0.0130 | 1.0157 |
| 30     | 0.3934 | 0.5702 | 0.3860 | 0.5807 | 68     | 0.0109 | 1.0017 | 0.0100 | 1.0176 |
| 31     | 0.3663 | 0.5860 | 0.4040 | 0.5972 | 69     | 0.0081 | 1.0033 | 0.0103 | 1.0193 |
| 32     | 0.4074 | 0.6021 | 0.3966 | 0.6138 | 70     | 0.0075 | 1.0046 | 0.0100 | 1.0210 |
| 33     | 0.3755 | 0.6184 | 0.3635 | 0.6296 | 71     | 0.0084 | 1.0059 | 0.0108 | 1.0227 |
| 34     | 0.3610 | 0.6337 | 0.3719 | 0.6450 | 72     | 0.0106 | 1.0075 | 0.0064 | 1.0241 |
| 35     | 0.3328 | 0.6626 | 0.3369 | 0.6745 | 73     | 0.0095 | 1.0092 | 0.0117 | 1.0255 |
| 36     | 0.2971 | 0.6838 | 0.3069 | 0.7012 | 74     | 0.0053 | 1.0104 | 0.0058 | 1.0271 |
| 37     | 0.2948 | 0.7135 | 0.2875 | 0.7260 |        |        |        |        |        |

TABLA 3.35 PRUEBA T3S3R1 PRUEBA T3S3R2 PRUEBA T3S3R1 PRUEBA T3S3R2

| Número | Eo     | Fo     | Eo     | Fo     | Número | Eo     | Fo     | Eo     | Fo     |
|--------|--------|--------|--------|--------|--------|--------|--------|--------|--------|
| inicio | 0.0000 | 0.0000 | 0.0000 | 0.0000 | 38     | 0.1989 | 0.7881 | 0.2193 | 0.7844 |
| 1      | 1.0455 | 0.0073 | 1.1668 | 0.0081 | 39     | 0.2398 | 0.8064 | 0.2375 | 0.8034 |
| 2      | 1.0764 | 0.0220 | 1.0523 | 0.0235 | 40     | 0.2042 | 0.8248 | 0.2237 | 0.8226 |
| 3      | 1.1523 | 0.0374 | 1.0449 | 0.0380 | 41     | 0.1642 | 0.8402 | 0.1891 | 0.8397 |
| 4      | 1.0461 | 0.0527 | 1.1440 | 0.0532 | 42     | 0.1545 | 0.8556 | 0.1882 | 0.8554 |
| 5      | 1.0248 | 0.0670 | 1.0840 | 0.0687 | 43     | 0.1487 | 0.8683 | 0.1497 | 0.8695 |
| 6      | 1.1189 | 0.0819 | 0.9621 | 0.0829 | 44     | 0.1366 | 0.8801 | 0.1428 | 0.8817 |
| 7      | 1.1112 | 0.0974 | 0.9602 | 0.0962 | 45     | 0.1179 | 0.8907 | 0.1481 | 0.8938 |
| 8      | 1.0866 | 0.1126 | 1.0856 | 0.1104 | 46     | 0.1261 | 0.9009 | 0.1194 | 0.9049 |
| 9      | 1.0535 | 0.1275 | 1.0045 | 0.1249 | 47     | 0.1043 | 0.9105 | 0.1175 | 0.9148 |
| 10     | 0.8571 | 0.1540 | 1.0020 | 0.1527 | 48     | 0.0861 | 0.9184 | 0.1148 | 0.9245 |
| 11     | 0.9385 | 0.1789 | 1.0254 | 0.1809 | 49     | 0.0671 | 0.9248 | 0.0952 | 0.9332 |
| 12     | 0.8709 | 0.2040 | 0.9588 | 0.2084 | 50     | 0.0800 | 0.9309 | 0.0936 | 0.9411 |
| 13     | 0.8722 | 0.2282 | 0.7758 | 0.2325 | 51     | 0.0618 | 0.9368 | 0.0842 | 0.9485 |
| 14     | 0.8013 | 0.2514 | 0.9018 | 0.2557 | 52     | 0.0566 | 0.9417 | 0.0680 | 0.9548 |
| 15     | 0.8651 | 0.2745 | 0.7571 | 0.2787 | 53     | 0.0618 | 0.9467 | 0.0625 | 0.9602 |
| 16     | 0.8882 | 0.2989 | 0.8226 | 0.3007 | 54     | 0.0563 | 0.9516 | 0.0611 | 0.9654 |
| 17     | 0.8405 | 0.3228 | 0.7843 | 0.3230 | 55     | 0.0441 | 0.9599 | 0.0476 | 0.9744 |
| 18     | 0.7514 | 0.3449 | 0.7953 | 0.3449 | 56     | 0.0281 | 0.9659 | 0.0413 | 0.9818 |
| 19     | 0.7481 | 0.3657 | 0.7298 | 0.3660 | 57     | 0.0315 | 0.9709 | 0.0416 | 0.9887 |
| 20     | 0.7268 | 0.3964 | 0.6357 | 0.3944 | 58     | 0.0309 | 0.9761 | 0.0305 | 0.9947 |
| 21     | 0.7125 | 0.4264 | 0.7114 | 0.4225 | 59     | 0.0119 | 0.9797 | 0.0231 | 0.9992 |
| 22     | 0.6222 | 0.4541 | 0.6247 | 0.4503 | 60     | 0.0177 | 0.9821 | 0.0261 | 1.0033 |
| 23     | 0.5596 | 0.4787 | 0.6035 | 0.4758 | 61     | 0.0130 | 0.9847 | 0.0176 | 1.0069 |
| 24     | 0.5753 | 0.5024 | 0.5933 | 0.5008 | 62     | 0.0108 | 0.9866 | 0.0165 | 1.0098 |
| 25     | 0.5281 | 0.5253 | 0.5760 | 0.5251 | 63     | 0.0080 | 0.9882 | 0.0113 | 1.0121 |
| 26     | 0.5436 | 0.5476 | 0.5303 | 0.5481 | 64     | 0.0088 | 0.9896 | 0.0121 | 1.0140 |
| 27     | 0.4879 | 0.5691 | 0.4791 | 0.5691 | 65     | 0.0080 | 0.9910 | 0.0099 | 1.0159 |
| 28     | 0.5237 | 0.5901 | 0.4764 | 0.5890 | 66     | 0.0047 | 0.9921 | 0.0069 | 1.0173 |
| 29     | 0.4423 | 0.6103 | 0.4678 | 0.6087 | 67     | 0.0028 | 0.9927 | 0.0080 | 1.0185 |
| 30     | 0.4109 | 0.6280 | 0.4288 | 0.6273 | 68     | 0.0006 | 0.9930 | 0.0055 | 1.0196 |
| 31     | 0.4147 | 0.6452 | 0.4296 | 0.6452 | 69     | 0.0033 | 0.9933 | 0.0061 | 1.0206 |
| 32     | 0.4089 | 0.6623 | 0.3718 | 0.6619 | 70     | 0.0003 | 0.9936 | 0.0063 | 1.0216 |
| 33     | 0.3419 | 0.6780 | 0.3550 | 0.6770 | 71     | 0.0008 | 0.9937 | 0.0050 | 1.0225 |
| 34     | 0.3968 | 0.6933 | 0.3894 | 0.6925 | 72     | 0.0047 | 0.9941 | 0.0091 | 1.0237 |
| 35     | 0.2964 | 0.7222 | 0.2746 | 0.7201 | 73     | 0.0036 | 0.9948 | 0.0074 | 1.0251 |
| 36     | 0.2677 | 0.7457 | 0.2691 | 0.7427 | 74     | 0.0030 | 0.9954 | 0.0017 | 1.0258 |
| 37     | 0.2765 | 0.7683 | 0.2557 | 0.7646 |        |        |        |        |        |

**APÉNDICE IV**

**PRUEBA DE KOLMOGOROV-SMIRNOV PARA FUNCIONES DE  
DISTRIBUCION DE FRECUENCIAS (BONDAD DE AJUSTE)**

**PRUEBA DE KOLMOGOROV-SHIRNOV PARA FUNCIONES DE  
DISTRIBUCION DE FRECUENCIAS(BONDAD DE AJUSTE)**

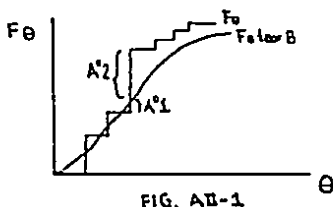
**1.- Prueba de Kolmogorov (test uni-muestral)**

Se interesa en el grado de acuerdo entre la distribución de un conjunto de valores de la muestra experimental y alguna distribución teórica. Determina si puede pensarse que los puntos de la muestra experimental provengan de una población que tenga esa distribución teórica. Se determina el punto en que estas dos distribuciones muestran la mayor divergencia. La distribución teórica representa lo esperado conforme a  $H_0$ .

Sea  $F_{o \text{ teorA}}(\theta)$ , la función de distribución acumulada de frecuencias teóricas, y  $F_o(\theta)$  la distribución acumulada de frecuencias observadas, de los resultados experimentales. Conforme a  $H_0$ , se espera que la diferencia entre  $F_o$  y  $F_{o \text{ teorA}}$  sea pequeña. El valor más grande de la diferencia  $DIF-A = | F_{o \text{ teorA}}(\theta) - F_o(\theta) |$  se le ha designado como  $DIF-A \text{ max}$ , será este valor el que se compare con el valor crítico que se encuentra en la tabla AIV-1. Si  $DIF-A \text{ max} > D$ , se rechaza  $H_0$ .

Para el caso de que una función de frecuencias provenga de una ecuación continua ( en nuestro caso la teórica ) y la segunda función provenga de una ecuación escalonada, se toman en cuenta los valores discretos que se encuentran por encima y por debajo de la curva continua, como se observa en la fig. AII-1.

Si  $F_{\theta}$  teorB proviene de una función continua y  $F_{\theta}$  de una función escalonada, entonces se determinan los valores de  $A^{\circ 1}$  y  $A^{\circ 2}$  donde:  $A^{\circ 1} = | F_{\theta} \text{ teorB } (\theta) - F_{\theta} (\theta-1) |$  y  $A^{\circ 2} = | F_{\theta} \text{ teorB } (\theta) - F_{\theta} (\theta) |$ , el valor máximo de estos parámetros se designa como  $A^{\circ} \text{ max}$ , el cual se compara con los valores críticos que se encuentran en la tabla AIV-2.



## 2.- Prueba de Kolmogorov-Smirnov (test bi-muestral)

Esta se enfoca hacia los puntos correspondientes en dos distribuciones acumulativas, la cual se aplicará a una prueba y a su réplica, para confirmar que dos muestras independientes han sido extraídas de la misma población. Si así fuera, es de esperar que las frecuencias acumuladas de ambas muestras sean claramente próximas entre sí. En caso contrario se rechaza la hipótesis de nulidad ( $H_0$ ).

Si  $F_0 R_1 (\theta)$  es la función que se ha observado en una determinada prueba, y  $F_0 R_2 (\theta)$  es la función que se observó en su réplica, se examina la diferencia:

$DIF(R_1-R_2) = | F_0 R_1 (\theta) - F_0 R_2 (\theta) |$  y a la máxima desviación de ésta, se designa como  $DIF (R_1-R_2) \max$ , siendo éste el valor que se compara con los valores críticos de la tabla AIV-2. Si  $DIF (R_1-R_2) \max > D$ , se rechaza  $H_0$ .

Tabla AIV-1

N=74

| $\alpha$ | D               |
|----------|-----------------|
| 20%      | $1.07/\sqrt{N}$ |
| 15%      | $1.14/\sqrt{N}$ |
| 10%      | $1.22/\sqrt{N}$ |
| 5%       | $1.36/\sqrt{N}$ |
| 1%       | $1.63/\sqrt{N}$ |

Tabla AIV-2

n=m=74

| $\alpha$ | D                             |
|----------|-------------------------------|
| 10%      | $1.22 \sqrt{\frac{n+m}{n*n}}$ |
| 5%       | $1.36 \sqrt{\frac{n+m}{n*n}}$ |
| 2.5%     | $1.48 \sqrt{\frac{n+m}{n*n}}$ |
| 1%       | $1.63 \sqrt{\frac{n+m}{n*n}}$ |
| 0.5%     | $1.73 \sqrt{\frac{n+m}{n*n}}$ |
| 0.1%     | $1.95 \sqrt{\frac{n+m}{n*n}}$ |

**APÉNDICE V**  
**TRATAMIENTO ESTADÍSTICO**

## TRATAMIENTO ESTADÍSTICO

A continuación se muestran las tablas estadísticas. Las tablas 4.1 y 4.19 constan de 7 columnas las cuales contienen lo siguiente:

| Columna |   |
|---------|---|
| 1       | Número : Número de la frecuencia acumulada.   |
| 2       | Fo teorA : Frecuencia teórica acumulada calculada a partir de valores puntuales.              |
| 3       | Fo teorB : Frecuencia teórica acumulada calculada a partir de valores continuos.              |
| 4       | Fo : Frecuencia acumulada experimental.   |
| 5       | DIF-A : Desviación para la prueba estadística<br>  Fo teorA ( $\theta$ ) - Fo ( $\theta$ )  . |
| 6       | A°1 : Desviación para la prueba estadística<br>  Fo teorB ( $\theta$ ) - Fo ( $\theta-1$ )  . |
| 7       | A°2 : Desviación para la prueba estadística<br>  Fo teorB ( $\theta$ ) - Fo ( $\theta$ )  .   |

La tabla 4.1 contiene los resultados para efectuar el análisis estadístico entre los datos teóricos y experimentales para la primera prueba. (T1S1R1).

Las tablas 4.20 a 4.27 se presentan de manera resumida. Cada una de las tablas consta de 10 columnas que contienen:

Columna

- 1,6 Número : Número de la frecuencia acumulada.  
 2,7  $F_0$  : Promedio de la frecuencia experimental.  
 3,8 DIF-A : Desviación para la prueba estadística.  
           |  $F_0 \text{ teorA } (\theta) - F_0 (\theta)$  |.  
 4,9  $A^{\circ 1}$  : Desviación para la prueba estadística  
           |  $F_0 \text{ teorB } (\theta) - F_0 (\theta-1)$  |.  
 5,10  $A^{\circ 2}$  : Desviación para la prueba estadística  
           |  $F_0 \text{ teorB } (\theta) - F_0 (\theta)$  |.

En las tablas de la 4.19 a la 4.27 se tomó un promedio de  $F_0$  entre las réplicas para hacer el análisis estadístico entre curvas experimentales y teóricas, cuando estas últimas son encontradas en base a datos continuos.

Las tablas 4.28 a 4.36 constan de 8 columnas las cuales se explican a continuación:

Columna

- 1,5 Número : Número de las frecuencias acumuladas.  
 2,6  $F_0 R_1$  : Frecuencias acumuladas de la prueba.  
 3,7  $F_0 R_2$  : Frecuencias acumuladas de su réplica.  
 4,8 DIF( $R_1-R_2$ ): Desviación para la prueba estadística  
           |  $F_0 R_1 (\theta) - F_0 R_2 (\theta)$  |.

Estas tablas se utilizaron para efectuar el análisis estadístico entre réplicas.

Finalmente las tablas 4.37, 4.38 y 4.39 corresponden a resultados de pruebas de este estudio, y otras realizadas en forma paralela independiente[1]. Se utilizaron para observar si las pruebas son repetitivas. Las tablas constan de 8 columnas, en donde:

| Columna |   |
|---------|---|
| 1       | NÚMERO : Número de las frecuencias acumuladas.                                      |
| 2       | $\bar{F}_o$ : Promedio de las frecuencias acumuladas observadas en este estudio.    |
| 3       | Fo PROM : Promedio de las frecuencias acumuladas de otro estudio(independiente).    |
| 4       | DIF(Fo-Fo PROM): Desviación para la prueba estadística<br>  Fo (θ) - Fo PROM (θ)  . |

La explicación de la prueba de Kolmogorov se puede consultar en el apéndice IV.

TABLA 4.1

Kolmogorov

T1S1R1

| Número | Fo teorA | Fo teorB | Fo     | DIF-A  | A° 1   | A° 2   |
|--------|----------|----------|--------|--------|--------|--------|
| 1      | 0.0138   | 0.0000   | 0.0015 | 0.0123 | 0.0000 | 0.0015 |
| 2      | 0.0274   | 0.0138   | 0.0043 | 0.0231 | 0.0123 | 0.0095 |
| 3      | 0.0408   | 0.0274   | 0.0066 | 0.0342 | 0.0231 | 0.0208 |
| 4      | 0.0540   | 0.0408   | 0.0087 | 0.0453 | 0.0342 | 0.0321 |
| 5      | 0.0670   | 0.0540   | 0.0106 | 0.0564 | 0.0453 | 0.0434 |
| 6      | 0.0799   | 0.0670   | 0.0128 | 0.0671 | 0.0564 | 0.0542 |
| 7      | 0.0926   | 0.0799   | 0.0149 | 0.0777 | 0.0671 | 0.0650 |
| 8      | 0.1051   | 0.0926   | 0.0169 | 0.0882 | 0.0777 | 0.0757 |
| 9      | 0.1174   | 0.1051   | 0.0187 | 0.0987 | 0.0882 | 0.0864 |
| 10     | 0.1415   | 0.1174   | 0.0223 | 0.1192 | 0.0987 | 0.0951 |
| 11     | 0.1650   | 0.1415   | 0.0258 | 0.1392 | 0.1192 | 0.1157 |
| 12     | 0.1879   | 0.1650   | 0.0293 | 0.1586 | 0.1392 | 0.1357 |
| 13     | 0.2101   | 0.1879   | 0.0329 | 0.1772 | 0.1586 | 0.1550 |
| 14     | 0.2317   | 0.2101   | 0.0375 | 0.1942 | 0.1772 | 0.1726 |
| 15     | 0.2528   | 0.2317   | 0.0419 | 0.2109 | 0.1942 | 0.1898 |
| 16     | 0.2732   | 0.2528   | 0.0454 | 0.2278 | 0.2109 | 0.2073 |
| 17     | 0.2931   | 0.2732   | 0.0487 | 0.2444 | 0.2278 | 0.2245 |
| 18     | 0.3124   | 0.2931   | 0.0520 | 0.2604 | 0.2444 | 0.2411 |
| 19     | 0.3313   | 0.3124   | 0.0555 | 0.2758 | 0.2604 | 0.2569 |
| 20     | 0.3585   | 0.3313   | 0.0605 | 0.2980 | 0.2758 | 0.2708 |
| 21     | 0.3847   | 0.3585   | 0.0650 | 0.3197 | 0.2980 | 0.2935 |
| 22     | 0.4098   | 0.3847   | 0.0692 | 0.3406 | 0.3197 | 0.3155 |
| 23     | 0.4338   | 0.4098   | 0.0736 | 0.3602 | 0.3406 | 0.3362 |
| 24     | 0.4569   | 0.4338   | 0.0780 | 0.3789 | 0.3602 | 0.3558 |
| 25     | 0.4791   | 0.4569   | 0.0821 | 0.3970 | 0.3789 | 0.3748 |
| 26     | 0.5003   | 0.4791   | 0.0863 | 0.4140 | 0.3970 | 0.3927 |
| 27     | 0.5207   | 0.5003   | 0.0902 | 0.4305 | 0.4140 | 0.4101 |
| 28     | 0.5402   | 0.5207   | 0.0944 | 0.4458 | 0.4304 | 0.4262 |
| 29     | 0.5590   | 0.5402   | 0.0992 | 0.4598 | 0.4458 | 0.4410 |
| 30     | 0.5770   | 0.5590   | 0.1039 | 0.4731 | 0.4597 | 0.4550 |
| 31     | 0.5942   | 0.5770   | 0.1083 | 0.4859 | 0.4730 | 0.4686 |
| 32     | 0.6108   | 0.5942   | 0.1130 | 0.4978 | 0.4859 | 0.4812 |
| 33     | 0.6266   | 0.6108   | 0.1166 | 0.5100 | 0.4977 | 0.4941 |
| 34     | 0.6419   | 0.6266   | 0.1203 | 0.5216 | 0.5100 | 0.5063 |
| 35     | 0.6705   | 0.6419   | 0.1286 | 0.5419 | 0.5215 | 0.5132 |
| 36     | 0.6968   | 0.6705   | 0.1373 | 0.5595 | 0.5418 | 0.5331 |
| 37     | 0.7211   | 0.6968   | 0.1481 | 0.5730 | 0.5594 | 0.5486 |

TABLA 4.1

Kolmogorov

TISIR1

Continuación

| Número | Fo teorA | Fo teorB | Fo     | DIF-A  | A° 1   | A° 2   |
|--------|----------|----------|--------|--------|--------|--------|
| 38     | 0.7434   | 0.7210   | 0.1576 | 0.5858 | 0.5729 | 0.5634 |
| 39     | 0.7639   | 0.7433   | 0.1640 | 0.5999 | 0.5857 | 0.5793 |
| 40     | 0.7828   | 0.7638   | 0.1700 | 0.6128 | 0.5998 | 0.5938 |
| 41     | 0.8001   | 0.7826   | 0.1767 | 0.6234 | 0.6126 | 0.6059 |
| 42     | 0.8161   | 0.8000   | 0.1834 | 0.6327 | 0.6233 | 0.6166 |
| 43     | 0.8308   | 0.8160   | 0.1892 | 0.6416 | 0.6326 | 0.6268 |
| 44     | 0.8444   | 0.8307   | 0.1964 | 0.6480 | 0.6415 | 0.6343 |
| 45     | 0.8568   | 0.8442   | 0.2042 | 0.6526 | 0.6478 | 0.6400 |
| 46     | 0.8683   | 0.8566   | 0.2105 | 0.6578 | 0.6524 | 0.6461 |
| 47     | 0.8788   | 0.8681   | 0.2152 | 0.6636 | 0.6576 | 0.6529 |
| 48     | 0.8885   | 0.8786   | 0.2196 | 0.6689 | 0.6634 | 0.6590 |
| 49     | 0.8974   | 0.8883   | 0.2244 | 0.6730 | 0.6687 | 0.6639 |
| 50     | 0.9057   | 0.8972   | 0.2298 | 0.6759 | 0.6728 | 0.6674 |
| 51     | 0.9132   | 0.9054   | 0.2353 | 0.6779 | 0.6756 | 0.6701 |
| 52     | 0.9202   | 0.9130   | 0.2413 | 0.6789 | 0.6777 | 0.6717 |
| 53     | 0.9266   | 0.9199   | 0.2470 | 0.6796 | 0.6786 | 0.6729 |
| 54     | 0.9325   | 0.9263   | 0.2533 | 0.6792 | 0.6793 | 0.6730 |
| 55     | 0.9429   | 0.9322   | 0.2655 | 0.6774 | 0.6789 | 0.6667 |
| 56     | 0.9517   | 0.9426   | 0.2742 | 0.6775 | 0.6771 | 0.6684 |
| 57     | 0.9592   | 0.9514   | 0.2853 | 0.6739 | 0.6772 | 0.6661 |
| 58     | 0.9655   | 0.9589   | 0.2952 | 0.6703 | 0.6736 | 0.6637 |
| 59     | 0.9708   | 0.9652   | 0.3051 | 0.6657 | 0.6700 | 0.6601 |
| 60     | 0.9754   | 0.9705   | 0.3171 | 0.6583 | 0.6654 | 0.6534 |
| 61     | 0.9792   | 0.9750   | 0.3259 | 0.6533 | 0.6579 | 0.6491 |
| 62     | 0.9825   | 0.9789   | 0.3334 | 0.6491 | 0.6530 | 0.6455 |
| 63     | 0.9852   | 0.9821   | 0.3406 | 0.6446 | 0.6487 | 0.6415 |
| 64     | 0.9875   | 0.9849   | 0.3475 | 0.6400 | 0.6443 | 0.6374 |
| 65     | 0.9895   | 0.9872   | 0.3560 | 0.6335 | 0.6397 | 0.6312 |
| 66     | 0.9912   | 0.9891   | 0.3646 | 0.6266 | 0.6331 | 0.6245 |
| 67     | 0.9926   | 0.9908   | 0.3717 | 0.6209 | 0.6262 | 0.6191 |
| 68     | 0.9938   | 0.9922   | 0.3783 | 0.6155 | 0.6205 | 0.6139 |
| 69     | 0.9948   | 0.9934   | 0.3869 | 0.6079 | 0.6151 | 0.6065 |
| 70     | 0.9957   | 0.9944   | 0.3958 | 0.5999 | 0.6075 | 0.5986 |
| 71     | 0.9964   | 0.9953   | 0.4024 | 0.5940 | 0.5995 | 0.5929 |
| 72     | 0.9970   | 0.9960   | 0.4082 | 0.5888 | 0.5936 | 0.5878 |
| 73     | 0.9975   | 0.9966   | 0.4152 | 0.5823 | 0.5884 | 0.5814 |
| 74     | 0.9980   | 0.9971   | 0.4218 | 0.5762 | 0.5819 | 0.5753 |

TABLA 4.19

Kolmogorov T1S1R1-T1S1R2

| Número | Fo teorA | Fo teorB | Fo     | DIF-A  | A° 1   | A° 2   |
|--------|----------|----------|--------|--------|--------|--------|
| 1      | 0.0138   | 0.0000   | 0.0012 | 0.0126 | 0.0000 | 0.0012 |
| 2      | 0.0274   | 0.0138   | 0.0034 | 0.0240 | 0.0126 | 0.0104 |
| 3      | 0.0408   | 0.0274   | 0.0055 | 0.0354 | 0.0240 | 0.0220 |
| 4      | 0.0540   | 0.0408   | 0.0074 | 0.0466 | 0.0354 | 0.0334 |
| 5      | 0.0670   | 0.0540   | 0.0092 | 0.0578 | 0.0466 | 0.0448 |
| 6      | 0.0799   | 0.0670   | 0.0112 | 0.0688 | 0.0578 | 0.0559 |
| 7      | 0.0926   | 0.0799   | 0.0130 | 0.0797 | 0.0688 | 0.0670 |
| 8      | 0.1051   | 0.0926   | 0.0146 | 0.0906 | 0.0797 | 0.0781 |
| 9      | 0.1174   | 0.1051   | 0.0162 | 0.1012 | 0.0906 | 0.0889 |
| 10     | 0.1415   | 0.1174   | 0.0196 | 0.1220 | 0.1012 | 0.0979 |
| 11     | 0.1650   | 0.1415   | 0.0227 | 0.1424 | 0.1220 | 0.1189 |
| 12     | 0.1879   | 0.1650   | 0.0257 | 0.1622 | 0.1424 | 0.1393 |
| 13     | 0.2101   | 0.1879   | 0.0289 | 0.1813 | 0.1622 | 0.1591 |
| 14     | 0.2317   | 0.2101   | 0.0326 | 0.1992 | 0.1813 | 0.1776 |
| 15     | 0.2528   | 0.2317   | 0.0361 | 0.2168 | 0.1992 | 0.1957 |
| 16     | 0.2732   | 0.2527   | 0.0392 | 0.2340 | 0.2167 | 0.2135 |
| 17     | 0.2931   | 0.2732   | 0.0424 | 0.2508 | 0.2340 | 0.2309 |
| 18     | 0.3124   | 0.2931   | 0.0455 | 0.2670 | 0.2508 | 0.2477 |
| 19     | 0.3313   | 0.3124   | 0.0487 | 0.2826 | 0.2670 | 0.2637 |
| 20     | 0.3585   | 0.3313   | 0.0532 | 0.3054 | 0.2826 | 0.2782 |
| 21     | 0.3847   | 0.3585   | 0.0571 | 0.3277 | 0.3054 | 0.3015 |
| 22     | 0.4098   | 0.3847   | 0.0608 | 0.3490 | 0.3277 | 0.3239 |
| 23     | 0.4338   | 0.4098   | 0.0648 | 0.3690 | 0.3490 | 0.3450 |
| 24     | 0.4569   | 0.4338   | 0.0689 | 0.3880 | 0.3690 | 0.3649 |
| 25     | 0.4791   | 0.4569   | 0.0726 | 0.4065 | 0.3880 | 0.3843 |
| 26     | 0.5003   | 0.4790   | 0.0764 | 0.4240 | 0.4064 | 0.4027 |
| 27     | 0.5207   | 0.5003   | 0.0803 | 0.4404 | 0.4240 | 0.4200 |
| 28     | 0.5402   | 0.5206   | 0.0845 | 0.4557 | 0.4403 | 0.4361 |
| 29     | 0.5590   | 0.5402   | 0.0889 | 0.4701 | 0.4557 | 0.4513 |
| 30     | 0.5770   | 0.5589   | 0.0932 | 0.4838 | 0.4700 | 0.4657 |
| 31     | 0.5942   | 0.5769   | 0.0971 | 0.4971 | 0.4837 | 0.4798 |
| 32     | 0.6108   | 0.5942   | 0.1012 | 0.5096 | 0.4971 | 0.4930 |
| 33     | 0.6266   | 0.6107   | 0.1051 | 0.5215 | 0.5095 | 0.5056 |
| 34     | 0.6419   | 0.6266   | 0.1090 | 0.5330 | 0.5215 | 0.5177 |
| 35     | 0.6705   | 0.6418   | 0.1166 | 0.5539 | 0.5329 | 0.5252 |
| 36     | 0.6968   | 0.6704   | 0.1245 | 0.5724 | 0.5538 | 0.5460 |
| 37     | 0.7211   | 0.6967   | 0.1333 | 0.5879 | 0.5723 | 0.5635 |

TABLA 4.19

Kolmogorov

TISIR1-TISIR2

Continuación

| Número | Fo teorA | Fo teorB | Fo     | DIF-A  | A° 1   | A° 2   |
|--------|----------|----------|--------|--------|--------|--------|
| 38     | 0.7434   | 0.7210   | 0.1421 | 0.6014 | 0.5878 | 0.5790 |
| 39     | 0.7639   | 0.7433   | 0.1494 | 0.6145 | 0.6013 | 0.5939 |
| 40     | 0.7828   | 0.7638   | 0.1556 | 0.6273 | 0.6144 | 0.6083 |
| 41     | 0.8001   | 0.7826   | 0.1629 | 0.6372 | 0.6271 | 0.6197 |
| 42     | 0.8161   | 0.8000   | 0.1701 | 0.6461 | 0.6371 | 0.6300 |
| 43     | 0.8308   | 0.8160   | 0.1762 | 0.6547 | 0.6460 | 0.6399 |
| 44     | 0.8444   | 0.8307   | 0.1834 | 0.6611 | 0.6546 | 0.6474 |
| 45     | 0.8568   | 0.8442   | 0.1908 | 0.6660 | 0.6609 | 0.6534 |
| 46     | 0.8683   | 0.8566   | 0.1972 | 0.6712 | 0.6658 | 0.6595 |
| 47     | 0.8788   | 0.8681   | 0.2027 | 0.6762 | 0.6710 | 0.6653 |
| 48     | 0.8885   | 0.8786   | 0.2081 | 0.6804 | 0.6760 | 0.6705 |
| 49     | 0.8974   | 0.8883   | 0.2132 | 0.6842 | 0.6802 | 0.6751 |
| 50     | 0.9057   | 0.8972   | 0.2179 | 0.6878 | 0.6840 | 0.6793 |
| 51     | 0.9132   | 0.9054   | 0.2226 | 0.6906 | 0.6875 | 0.6828 |
| 52     | 0.9202   | 0.9130   | 0.2277 | 0.6925 | 0.6904 | 0.6853 |
| 53     | 0.9266   | 0.9199   | 0.2330 | 0.6937 | 0.6922 | 0.6870 |
| 54     | 0.9325   | 0.9263   | 0.2390 | 0.6935 | 0.6934 | 0.6873 |
| 55     | 0.9429   | 0.9322   | 0.2508 | 0.6922 | 0.6932 | 0.6815 |
| 56     | 0.9517   | 0.9426   | 0.2597 | 0.6920 | 0.6919 | 0.6829 |
| 57     | 0.9592   | 0.9514   | 0.2698 | 0.6894 | 0.6917 | 0.6816 |
| 58     | 0.9655   | 0.9589   | 0.2795 | 0.6861 | 0.6891 | 0.6795 |
| 59     | 0.9708   | 0.9652   | 0.2880 | 0.6828 | 0.6858 | 0.6772 |
| 60     | 0.9754   | 0.9705   | 0.2967 | 0.6787 | 0.6825 | 0.6738 |
| 61     | 0.9792   | 0.9750   | 0.3074 | 0.6719 | 0.6783 | 0.6677 |
| 62     | 0.9825   | 0.9789   | 0.3193 | 0.6632 | 0.6716 | 0.6596 |
| 63     | 0.9852   | 0.9821   | 0.3285 | 0.6567 | 0.6628 | 0.6536 |
| 64     | 0.9875   | 0.9849   | 0.3358 | 0.6518 | 0.6564 | 0.6492 |
| 65     | 0.9895   | 0.9872   | 0.3443 | 0.6452 | 0.6515 | 0.6429 |
| 66     | 0.9912   | 0.9891   | 0.3530 | 0.6382 | 0.6448 | 0.6361 |
| 67     | 0.9926   | 0.9908   | 0.3597 | 0.6329 | 0.6378 | 0.6311 |
| 68     | 0.9938   | 0.9922   | 0.3664 | 0.6275 | 0.6325 | 0.6259 |
| 69     | 0.9948   | 0.9934   | 0.3746 | 0.6203 | 0.6271 | 0.6188 |
| 70     | 0.9957   | 0.9944   | 0.3838 | 0.6120 | 0.6198 | 0.6107 |
| 71     | 0.9964   | 0.9953   | 0.3907 | 0.6057 | 0.6116 | 0.6046 |
| 72     | 0.9970   | 0.9960   | 0.3965 | 0.6006 | 0.6053 | 0.5996 |
| 73     | 0.9975   | 0.9966   | 0.4031 | 0.5944 | 0.6002 | 0.5935 |
| 74     | 0.9980   | 0.9971   | 0.4090 | 0.5890 | 0.5940 | 0.5881 |

TABLA 4.20

Kolmogorov T1S2R1-T1S2R2

| Número | $\overline{F}_0$ | DIF-A  | A° 1   | A° 2   | Número | $\overline{F}_0$ | DIF-A  | A° 1   | A° 2   |
|--------|------------------|--------|--------|--------|--------|------------------|--------|--------|--------|
| 1      | 0.0028           | 0.0110 | 0.0000 | 0.0028 | 38     | 0.2219           | 0.5216 | 0.5088 | 0.4992 |
| 2      | 0.0074           | 0.0201 | 0.0110 | 0.0065 | 39     | 0.2322           | 0.5317 | 0.5215 | 0.5111 |
| 3      | 0.0106           | 0.0303 | 0.0201 | 0.0169 | 40     | 0.2427           | 0.5402 | 0.5316 | 0.5212 |
| 4      | 0.0133           | 0.0407 | 0.0303 | 0.0275 | 41     | 0.2525           | 0.5476 | 0.5400 | 0.5301 |
| 5      | 0.0161           | 0.0510 | 0.0407 | 0.0380 | 42     | 0.2638           | 0.5524 | 0.5475 | 0.5363 |
| 6      | 0.0186           | 0.0613 | 0.0510 | 0.0484 | 43     | 0.2766           | 0.5542 | 0.5522 | 0.5394 |
| 7      | 0.0211           | 0.0715 | 0.0613 | 0.0588 | 44     | 0.2880           | 0.5565 | 0.5541 | 0.5428 |
| 8      | 0.0238           | 0.0814 | 0.0715 | 0.0689 | 45     | 0.2992           | 0.5577 | 0.5563 | 0.5451 |
| 9      | 0.0260           | 0.0915 | 0.0814 | 0.0792 | 46     | 0.3096           | 0.5587 | 0.5575 | 0.5470 |
| 10     | 0.0305           | 0.1111 | 0.0915 | 0.0870 | 47     | 0.3183           | 0.5606 | 0.5585 | 0.5499 |
| 11     | 0.0355           | 0.1296 | 0.1111 | 0.1061 | 48     | 0.3266           | 0.5620 | 0.5604 | 0.5521 |
| 12     | 0.0406           | 0.1474 | 0.1296 | 0.1245 | 49     | 0.3350           | 0.5624 | 0.5618 | 0.5533 |
| 13     | 0.0459           | 0.1643 | 0.1474 | 0.1421 | 50     | 0.3445           | 0.5613 | 0.5622 | 0.5528 |
| 14     | 0.0505           | 0.1813 | 0.1643 | 0.1597 | 51     | 0.3532           | 0.5600 | 0.5610 | 0.5522 |
| 15     | 0.0550           | 0.1978 | 0.1813 | 0.1767 | 52     | 0.3605           | 0.5597 | 0.5598 | 0.5525 |
| 16     | 0.0597           | 0.2136 | 0.1977 | 0.1930 | 53     | 0.3678           | 0.5589 | 0.5594 | 0.5522 |
| 17     | 0.0642           | 0.2290 | 0.2136 | 0.2091 | 54     | 0.3753           | 0.5572 | 0.5586 | 0.5510 |
| 18     | 0.0692           | 0.2433 | 0.2290 | 0.2240 | 55     | 0.3895           | 0.5534 | 0.5569 | 0.5427 |
| 19     | 0.0745           | 0.2569 | 0.2433 | 0.2380 | 56     | 0.4023           | 0.5495 | 0.5531 | 0.5404 |
| 20     | 0.0817           | 0.2768 | 0.2569 | 0.2496 | 57     | 0.4160           | 0.5432 | 0.5492 | 0.5354 |
| 21     | 0.0882           | 0.2965 | 0.2768 | 0.2703 | 58     | 0.4298           | 0.5357 | 0.5429 | 0.5291 |
| 22     | 0.0947           | 0.3151 | 0.2965 | 0.2900 | 59     | 0.4408           | 0.5300 | 0.5354 | 0.5244 |
| 23     | 0.1012           | 0.3326 | 0.3151 | 0.3086 | 60     | 0.4519           | 0.5235 | 0.5297 | 0.5186 |
| 24     | 0.1086           | 0.3484 | 0.3326 | 0.3253 | 61     | 0.4639           | 0.5154 | 0.5231 | 0.5112 |
| 25     | 0.1158           | 0.3634 | 0.3484 | 0.3411 | 62     | 0.4753           | 0.5072 | 0.5151 | 0.5036 |
| 26     | 0.1232           | 0.3772 | 0.3633 | 0.3559 | 63     | 0.4866           | 0.4987 | 0.5068 | 0.4956 |
| 27     | 0.1312           | 0.3896 | 0.3772 | 0.3692 | 64     | 0.4981           | 0.4894 | 0.4984 | 0.4868 |
| 28     | 0.1388           | 0.4014 | 0.3895 | 0.3818 | 65     | 0.5097           | 0.4799 | 0.4891 | 0.4776 |
| 29     | 0.1461           | 0.4129 | 0.4014 | 0.3941 | 66     | 0.5189           | 0.4723 | 0.4795 | 0.4702 |
| 30     | 0.1536           | 0.4235 | 0.4128 | 0.4053 | 67     | 0.5284           | 0.4642 | 0.4719 | 0.4624 |
| 31     | 0.1607           | 0.4336 | 0.4234 | 0.4163 | 68     | 0.5379           | 0.4559 | 0.4638 | 0.4543 |
| 32     | 0.1665           | 0.4444 | 0.4336 | 0.4278 | 69     | 0.5460           | 0.4488 | 0.4555 | 0.4474 |
| 33     | 0.1719           | 0.4548 | 0.4443 | 0.4389 | 70     | 0.5537           | 0.4420 | 0.4484 | 0.4407 |
| 34     | 0.1773           | 0.4646 | 0.4548 | 0.4493 | 71     | 0.5621           | 0.4343 | 0.4416 | 0.4332 |
| 35     | 0.1886           | 0.4820 | 0.4645 | 0.4533 | 72     | 0.5710           | 0.4260 | 0.4339 | 0.4250 |
| 36     | 0.2012           | 0.4957 | 0.4819 | 0.4693 | 73     | 0.5787           | 0.4188 | 0.4256 | 0.4179 |
| 37     | 0.2123           | 0.5089 | 0.4956 | 0.4845 | 74     | 0.5853           | 0.4127 | 0.4184 | 0.4118 |

TABLA 4.21

Kolmogorov T1S3R1-T1S3R2

| Número | Fo     | DIF-A  | A° 1   | A° 2   | Número | Fo     | DIF-A  | A° 1   | A° 2   |
|--------|--------|--------|--------|--------|--------|--------|--------|--------|--------|
| 1      | 0.0047 | 0.0092 | 0.0000 | 0.0047 | 38     | 0.2571 | 0.4864 | 0.4744 | 0.4640 |
| 2      | 0.0118 | 0.0156 | 0.0092 | 0.0020 | 39     | 0.2695 | 0.4945 | 0.4863 | 0.4739 |
| 3      | 0.0160 | 0.0248 | 0.0156 | 0.0114 | 40     | 0.2824 | 0.5004 | 0.4944 | 0.4814 |
| 4      | 0.0197 | 0.0344 | 0.0248 | 0.0212 | 41     | 0.2941 | 0.5061 | 0.5002 | 0.4886 |
| 5      | 0.0234 | 0.0436 | 0.0344 | 0.0306 | 42     | 0.3057 | 0.5104 | 0.5060 | 0.4943 |
| 6      | 0.0271 | 0.0528 | 0.0436 | 0.0399 | 43     | 0.3179 | 0.5130 | 0.5103 | 0.4982 |
| 7      | 0.0308 | 0.0619 | 0.0528 | 0.0492 | 44     | 0.3300 | 0.5145 | 0.5129 | 0.5008 |
| 8      | 0.0342 | 0.0710 | 0.0619 | 0.0585 | 45     | 0.3405 | 0.5164 | 0.5143 | 0.5038 |
| 9      | 0.0374 | 0.0800 | 0.0710 | 0.0677 | 46     | 0.3499 | 0.5184 | 0.5162 | 0.5067 |
| 10     | 0.0448 | 0.0968 | 0.0800 | 0.0727 | 47     | 0.3613 | 0.5176 | 0.5182 | 0.5069 |
| 11     | 0.0525 | 0.1126 | 0.0968 | 0.0891 | 48     | 0.3719 | 0.5167 | 0.5174 | 0.5068 |
| 12     | 0.0588 | 0.1291 | 0.1126 | 0.1062 | 49     | 0.3808 | 0.5167 | 0.5165 | 0.5076 |
| 13     | 0.0650 | 0.1451 | 0.1291 | 0.1229 | 50     | 0.3887 | 0.5171 | 0.5165 | 0.5086 |
| 14     | 0.0711 | 0.1607 | 0.1451 | 0.1391 | 51     | 0.3979 | 0.5153 | 0.5168 | 0.5075 |
| 15     | 0.0778 | 0.1750 | 0.1607 | 0.1539 | 52     | 0.4064 | 0.5138 | 0.5151 | 0.5066 |
| 16     | 0.0845 | 0.1888 | 0.1749 | 0.1683 | 53     | 0.4146 | 0.5120 | 0.5135 | 0.5053 |
| 17     | 0.0898 | 0.2033 | 0.1888 | 0.1834 | 54     | 0.4242 | 0.5083 | 0.5117 | 0.5021 |
| 18     | 0.0953 | 0.2171 | 0.2033 | 0.1978 | 55     | 0.4436 | 0.4993 | 0.5080 | 0.4886 |
| 19     | 0.1009 | 0.2305 | 0.2171 | 0.2116 | 56     | 0.4588 | 0.4929 | 0.4990 | 0.4838 |
| 20     | 0.1091 | 0.2495 | 0.2305 | 0.2223 | 57     | 0.4715 | 0.4878 | 0.4926 | 0.4800 |
| 21     | 0.1163 | 0.2685 | 0.2495 | 0.2423 | 58     | 0.4858 | 0.4798 | 0.4875 | 0.4732 |
| 22     | 0.1231 | 0.2867 | 0.2685 | 0.2616 | 59     | 0.4985 | 0.4724 | 0.4795 | 0.4668 |
| 23     | 0.1306 | 0.3032 | 0.2867 | 0.2792 | 60     | 0.5116 | 0.4639 | 0.4721 | 0.4590 |
| 24     | 0.1384 | 0.3186 | 0.3032 | 0.2955 | 61     | 0.5247 | 0.4545 | 0.4635 | 0.4504 |
| 25     | 0.1461 | 0.3330 | 0.3186 | 0.3108 | 62     | 0.5363 | 0.4463 | 0.4543 | 0.4427 |
| 26     | 0.1534 | 0.3469 | 0.3329 | 0.3256 | 63     | 0.5479 | 0.4373 | 0.4459 | 0.4343 |
| 27     | 0.1604 | 0.3604 | 0.3469 | 0.3400 | 64     | 0.5610 | 0.4266 | 0.4371 | 0.4240 |
| 28     | 0.1679 | 0.3724 | 0.3603 | 0.3527 | 65     | 0.5739 | 0.4157 | 0.4262 | 0.4133 |
| 29     | 0.1753 | 0.3837 | 0.3724 | 0.3649 | 66     | 0.5852 | 0.4060 | 0.4152 | 0.4039 |
| 30     | 0.1815 | 0.3956 | 0.3836 | 0.3774 | 67     | 0.5952 | 0.3974 | 0.4057 | 0.3956 |
| 31     | 0.1881 | 0.4062 | 0.3955 | 0.3889 | 68     | 0.6040 | 0.3899 | 0.3970 | 0.3883 |
| 32     | 0.1949 | 0.4159 | 0.4062 | 0.3993 | 69     | 0.6134 | 0.3815 | 0.3895 | 0.3800 |
| 33     | 0.2020 | 0.4247 | 0.4158 | 0.4088 | 70     | 0.6230 | 0.3728 | 0.3810 | 0.3714 |
| 34     | 0.2096 | 0.4324 | 0.4247 | 0.4171 | 71     | 0.6306 | 0.3658 | 0.3724 | 0.3647 |
| 35     | 0.2240 | 0.4466 | 0.4323 | 0.4179 | 72     | 0.6381 | 0.3589 | 0.3654 | 0.3579 |
| 36     | 0.2368 | 0.4601 | 0.4465 | 0.4337 | 73     | 0.6462 | 0.3513 | 0.3585 | 0.3504 |
| 37     | 0.2467 | 0.4745 | 0.4600 | 0.4501 | 74     | 0.6535 | 0.3445 | 0.3509 | 0.3436 |

TABLA 4.22

Kolmogorov T2S1R1-T2S1R2

| Número | Fo     | DIF-A  | A° 1   | A° 2   | Número | Fo     | DIF-A  | A° 1   | A° 2   |
|--------|--------|--------|--------|--------|--------|--------|--------|--------|--------|
| 1      | 0.0020 | 0.0118 | 0.0000 | 0.0020 | 38     | 0.2677 | 0.4758 | 0.4645 | 0.4534 |
| 2      | 0.0060 | 0.0215 | 0.0118 | 0.0079 | 39     | 0.2783 | 0.4856 | 0.4757 | 0.4650 |
| 3      | 0.0097 | 0.0312 | 0.0215 | 0.0178 | 40     | 0.2890 | 0.4938 | 0.4855 | 0.4748 |
| 4      | 0.0133 | 0.0408 | 0.0312 | 0.0276 | 41     | 0.3006 | 0.4995 | 0.4936 | 0.4820 |
| 5      | 0.0166 | 0.0504 | 0.0408 | 0.0374 | 42     | 0.3119 | 0.5042 | 0.4994 | 0.4881 |
| 6      | 0.0198 | 0.0601 | 0.0504 | 0.0472 | 43     | 0.3224 | 0.5084 | 0.5041 | 0.4936 |
| 7      | 0.0233 | 0.0693 | 0.0601 | 0.0566 | 44     | 0.3329 | 0.5116 | 0.5083 | 0.4979 |
| 8      | 0.0269 | 0.0783 | 0.0693 | 0.0658 | 45     | 0.3434 | 0.5135 | 0.5114 | 0.5009 |
| 9      | 0.0302 | 0.0872 | 0.0783 | 0.0749 | 46     | 0.3533 | 0.5150 | 0.5133 | 0.5033 |
| 10     | 0.0369 | 0.1046 | 0.0872 | 0.0805 | 47     | 0.3623 | 0.5166 | 0.5148 | 0.5059 |
| 11     | 0.0435 | 0.1216 | 0.1046 | 0.0980 | 48     | 0.3705 | 0.5181 | 0.5164 | 0.5082 |
| 12     | 0.0499 | 0.1380 | 0.1216 | 0.1151 | 49     | 0.3782 | 0.5193 | 0.5179 | 0.5102 |
| 13     | 0.0570 | 0.1532 | 0.1380 | 0.1310 | 50     | 0.3866 | 0.5191 | 0.5191 | 0.5106 |
| 14     | 0.0640 | 0.1678 | 0.1532 | 0.1462 | 51     | 0.3950 | 0.5182 | 0.5188 | 0.5104 |
| 15     | 0.0705 | 0.1823 | 0.1678 | 0.1612 | 52     | 0.4026 | 0.5177 | 0.5180 | 0.5105 |
| 16     | 0.0774 | 0.1959 | 0.1822 | 0.1754 | 53     | 0.4102 | 0.5165 | 0.5174 | 0.5098 |
| 17     | 0.0836 | 0.2095 | 0.1959 | 0.1896 | 54     | 0.4170 | 0.5155 | 0.5162 | 0.5093 |
| 18     | 0.0898 | 0.2226 | 0.2095 | 0.2033 | 55     | 0.4293 | 0.5137 | 0.5152 | 0.5030 |
| 19     | 0.0962 | 0.2352 | 0.2226 | 0.2163 | 56     | 0.4413 | 0.5105 | 0.5134 | 0.5014 |
| 20     | 0.1057 | 0.2528 | 0.2352 | 0.2256 | 57     | 0.4531 | 0.5061 | 0.5102 | 0.4983 |
| 21     | 0.1148 | 0.2699 | 0.2528 | 0.2437 | 58     | 0.4648 | 0.5008 | 0.5058 | 0.4942 |
| 22     | 0.1230 | 0.2868 | 0.2699 | 0.2617 | 59     | 0.4766 | 0.4943 | 0.5005 | 0.4887 |
| 23     | 0.1314 | 0.3024 | 0.2868 | 0.2784 | 60     | 0.4877 | 0.4877 | 0.4940 | 0.4828 |
| 24     | 0.1399 | 0.3171 | 0.3024 | 0.2940 | 61     | 0.4980 | 0.4813 | 0.4873 | 0.4771 |
| 25     | 0.1490 | 0.3302 | 0.3171 | 0.3080 | 62     | 0.5083 | 0.4742 | 0.4810 | 0.4706 |
| 26     | 0.1582 | 0.3421 | 0.3301 | 0.3208 | 63     | 0.5192 | 0.4660 | 0.4738 | 0.4629 |
| 27     | 0.1669 | 0.3539 | 0.3421 | 0.3335 | 64     | 0.5304 | 0.4572 | 0.4657 | 0.4546 |
| 28     | 0.1747 | 0.3655 | 0.3537 | 0.3459 | 65     | 0.5409 | 0.4487 | 0.4569 | 0.4464 |
| 29     | 0.1820 | 0.3771 | 0.3655 | 0.3583 | 66     | 0.5507 | 0.4405 | 0.4483 | 0.4384 |
| 30     | 0.1892 | 0.3879 | 0.3769 | 0.3698 | 67     | 0.5586 | 0.4341 | 0.4401 | 0.4323 |
| 31     | 0.1971 | 0.3971 | 0.3878 | 0.3798 | 68     | 0.5659 | 0.4280 | 0.4337 | 0.4263 |
| 32     | 0.2053 | 0.4055 | 0.3971 | 0.3889 | 69     | 0.5728 | 0.4221 | 0.4275 | 0.4207 |
| 33     | 0.2120 | 0.4146 | 0.4054 | 0.3987 | 70     | 0.5792 | 0.4166 | 0.4217 | 0.4152 |
| 34     | 0.2184 | 0.4235 | 0.4146 | 0.4082 | 71     | 0.5872 | 0.4092 | 0.4161 | 0.4081 |
| 35     | 0.2318 | 0.4387 | 0.4234 | 0.4100 | 72     | 0.5949 | 0.4021 | 0.4088 | 0.4011 |
| 36     | 0.2447 | 0.4522 | 0.4386 | 0.4258 | 73     | 0.6024 | 0.3951 | 0.4017 | 0.3942 |
| 37     | 0.2566 | 0.4646 | 0.4521 | 0.4402 | 74     | 0.6105 | 0.3875 | 0.3947 | 0.3866 |

TABLA 4.23

Kolmogorov T2S2R1-T2S2R2

| Número | F <sub>o</sub> | DIF-A  | A° 1   | A° 2   | Número | F <sub>o</sub> | DIF-A  | A° 1   | A° 2   |
|--------|----------------|--------|--------|--------|--------|----------------|--------|--------|--------|
| 1      | 0.0030         | 0.0108 | 0.0000 | 0.0030 | 38     | 0.3057         | 0.4378 | 0.4291 | 0.4154 |
| 2      | 0.0085         | 0.0190 | 0.0108 | 0.0053 | 39     | 0.3204         | 0.4435 | 0.4377 | 0.4229 |
| 3      | 0.0132         | 0.0276 | 0.0190 | 0.0142 | 40     | 0.3361         | 0.4487 | 0.4434 | 0.4297 |
| 4      | 0.0176         | 0.0364 | 0.0276 | 0.0232 | 41     | 0.3454         | 0.4548 | 0.4485 | 0.4373 |
| 5      | 0.0218         | 0.0452 | 0.0364 | 0.0322 | 42     | 0.3565         | 0.4596 | 0.4547 | 0.4435 |
| 6      | 0.0261         | 0.0539 | 0.0452 | 0.0410 | 43     | 0.3686         | 0.4623 | 0.4595 | 0.4475 |
| 7      | 0.0303         | 0.0624 | 0.0539 | 0.0497 | 44     | 0.3814         | 0.4630 | 0.4622 | 0.4493 |
| 8      | 0.0343         | 0.0708 | 0.0624 | 0.0583 | 45     | 0.3935         | 0.4633 | 0.4628 | 0.4507 |
| 9      | 0.0382         | 0.0792 | 0.0708 | 0.0669 | 46     | 0.4045         | 0.4639 | 0.4631 | 0.4522 |
| 10     | 0.0457         | 0.0959 | 0.0792 | 0.0718 | 47     | 0.4142         | 0.4646 | 0.4637 | 0.4539 |
| 11     | 0.0529         | 0.1122 | 0.0959 | 0.0887 | 48     | 0.4251         | 0.4635 | 0.4644 | 0.4536 |
| 12     | 0.0597         | 0.1282 | 0.1122 | 0.1053 | 49     | 0.4356         | 0.4619 | 0.4633 | 0.4528 |
| 13     | 0.0662         | 0.1440 | 0.1282 | 0.1218 | 50     | 0.4449         | 0.4609 | 0.4617 | 0.4524 |
| 14     | 0.0739         | 0.1578 | 0.1440 | 0.1362 | 51     | 0.4543         | 0.4590 | 0.4606 | 0.4512 |
| 15     | 0.0823         | 0.1705 | 0.1578 | 0.1494 | 52     | 0.4635         | 0.4568 | 0.4588 | 0.4496 |
| 16     | 0.0907         | 0.1825 | 0.1704 | 0.1620 | 53     | 0.4727         | 0.4540 | 0.4565 | 0.4473 |
| 17     | 0.0981         | 0.1950 | 0.1825 | 0.1751 | 54     | 0.4815         | 0.4511 | 0.4537 | 0.4449 |
| 18     | 0.1045         | 0.2080 | 0.1950 | 0.1887 | 55     | 0.4995         | 0.4435 | 0.4508 | 0.4328 |
| 19     | 0.1109         | 0.2205 | 0.2080 | 0.2016 | 56     | 0.5160         | 0.4358 | 0.4432 | 0.4267 |
| 20     | 0.1209         | 0.2376 | 0.2205 | 0.2104 | 57     | 0.5306         | 0.4287 | 0.4355 | 0.4209 |
| 21     | 0.1310         | 0.2538 | 0.2376 | 0.2276 | 58     | 0.5460         | 0.4195 | 0.4283 | 0.4129 |
| 22     | 0.1404         | 0.2695 | 0.2538 | 0.2444 | 59     | 0.5602         | 0.4106 | 0.4192 | 0.4050 |
| 23     | 0.1494         | 0.2845 | 0.2695 | 0.2605 | 60     | 0.5734         | 0.4021 | 0.4103 | 0.3972 |
| 24     | 0.1585         | 0.2985 | 0.2845 | 0.2754 | 61     | 0.5864         | 0.3928 | 0.4016 | 0.3886 |
| 25     | 0.1675         | 0.3117 | 0.2985 | 0.2895 | 62     | 0.5991         | 0.3835 | 0.3925 | 0.3798 |
| 26     | 0.1762         | 0.3242 | 0.3116 | 0.3029 | 63     | 0.6111         | 0.3741 | 0.3830 | 0.3710 |
| 27     | 0.1859         | 0.3349 | 0.3242 | 0.3144 | 64     | 0.6213         | 0.3663 | 0.3738 | 0.3636 |
| 28     | 0.1957         | 0.3445 | 0.3347 | 0.3249 | 65     | 0.6306         | 0.3590 | 0.3659 | 0.3566 |
| 29     | 0.2042         | 0.3549 | 0.3445 | 0.3361 | 66     | 0.6424         | 0.3488 | 0.3585 | 0.3467 |
| 30     | 0.2124         | 0.3647 | 0.3547 | 0.3466 | 67     | 0.6550         | 0.3376 | 0.3484 | 0.3358 |
| 31     | 0.2209         | 0.3733 | 0.3646 | 0.3560 | 68     | 0.6650         | 0.3288 | 0.3372 | 0.3272 |
| 32     | 0.2306         | 0.3803 | 0.3733 | 0.3637 | 69     | 0.6744         | 0.3205 | 0.3284 | 0.3190 |
| 33     | 0.2393         | 0.3874 | 0.3802 | 0.3715 | 70     | 0.6830         | 0.3127 | 0.3200 | 0.3114 |
| 34     | 0.2474         | 0.3945 | 0.3874 | 0.3792 | 71     | 0.6918         | 0.3046 | 0.3123 | 0.3035 |
| 35     | 0.2644         | 0.4062 | 0.3944 | 0.3775 | 72     | 0.7008         | 0.2962 | 0.3042 | 0.2952 |
| 36     | 0.2785         | 0.4183 | 0.4061 | 0.3919 | 73     | 0.7088         | 0.2887 | 0.2958 | 0.2878 |
| 37     | 0.2920         | 0.4292 | 0.4182 | 0.4048 | 74     | 0.7156         | 0.2825 | 0.2883 | 0.2816 |

TABLA 4.24

Kolmogorov

T2S3R1-T2S3R2

| Número | F <sub>o</sub> | DIF-A  | A <sup>o</sup> 1 | A <sup>o</sup> 2 | Número | F <sub>o</sub> | DIF-A  | A <sup>o</sup> 1 | A <sup>o</sup> 2 |
|--------|----------------|--------|------------------|------------------|--------|----------------|--------|------------------|------------------|
| 1      | 0.0047         | 0.0092 | 0.0000           | 0.0047           | 38     | 0.3822         | 0.3613 | 0.3543           | 0.3389           |
| 2      | 0.0131         | 0.0144 | 0.0092           | 0.0007           | 39     | 0.3986         | 0.3654 | 0.3612           | 0.3447           |
| 3      | 0.0197         | 0.0212 | 0.0144           | 0.0078           | 40     | 0.4153         | 0.3675 | 0.3653           | 0.3485           |
| 4      | 0.0250         | 0.0290 | 0.0212           | 0.0158           | 41     | 0.4314         | 0.3688 | 0.3673           | 0.3512           |
| 5      | 0.0302         | 0.0369 | 0.0290           | 0.0239           | 42     | 0.4456         | 0.3706 | 0.3687           | 0.3545           |
| 6      | 0.0355         | 0.0444 | 0.0369           | 0.0315           | 43     | 0.4587         | 0.3722 | 0.3704           | 0.3573           |
| 7      | 0.0411         | 0.0516 | 0.0444           | 0.0389           | 44     | 0.4719         | 0.3725 | 0.3721           | 0.3588           |
| 8      | 0.0467         | 0.0584 | 0.0516           | 0.0459           | 45     | 0.4854         | 0.3715 | 0.3723           | 0.3588           |
| 9      | 0.0517         | 0.0658 | 0.0584           | 0.0535           | 46     | 0.4977         | 0.3706 | 0.3713           | 0.3589           |
| 10     | 0.0610         | 0.0805 | 0.0658           | 0.0565           | 47     | 0.5092         | 0.3697 | 0.3704           | 0.3590           |
| 11     | 0.0705         | 0.0945 | 0.0805           | 0.0710           | 48     | 0.5224         | 0.3661 | 0.3695           | 0.3562           |
| 12     | 0.0802         | 0.1077 | 0.0945           | 0.0848           | 49     | 0.5354         | 0.3621 | 0.3659           | 0.3530           |
| 13     | 0.0896         | 0.1206 | 0.1077           | 0.0984           | 50     | 0.5467         | 0.3590 | 0.3619           | 0.3505           |
| 14     | 0.0981         | 0.1336 | 0.1206           | 0.1120           | 51     | 0.5567         | 0.3565 | 0.3587           | 0.3487           |
| 15     | 0.1067         | 0.1461 | 0.1336           | 0.1250           | 52     | 0.5659         | 0.3543 | 0.3563           | 0.3471           |
| 16     | 0.1159         | 0.1573 | 0.1460           | 0.1368           | 53     | 0.5752         | 0.3514 | 0.3540           | 0.3448           |
| 17     | 0.1256         | 0.1676 | 0.1573           | 0.1477           | 54     | 0.5846         | 0.3480 | 0.3512           | 0.3418           |
| 18     | 0.1351         | 0.1773 | 0.1676           | 0.1580           | 55     | 0.6047         | 0.3382 | 0.3477           | 0.3276           |
| 19     | 0.1439         | 0.1875 | 0.1773           | 0.1686           | 56     | 0.6223         | 0.3294 | 0.3380           | 0.3203           |
| 20     | 0.1564         | 0.2021 | 0.1875           | 0.1749           | 57     | 0.6383         | 0.3210 | 0.3291           | 0.3132           |
| 21     | 0.1700         | 0.2148 | 0.2021           | 0.1885           | 58     | 0.6528         | 0.3127 | 0.3207           | 0.3061           |
| 22     | 0.1833         | 0.2266 | 0.2148           | 0.2015           | 59     | 0.6644         | 0.3064 | 0.3124           | 0.3008           |
| 23     | 0.1954         | 0.2385 | 0.2266           | 0.2145           | 60     | 0.6751         | 0.3003 | 0.3061           | 0.2954           |
| 24     | 0.2075         | 0.2495 | 0.2385           | 0.2264           | 61     | 0.6861         | 0.2931 | 0.2999           | 0.2889           |
| 25     | 0.2194         | 0.2598 | 0.2495           | 0.2376           | 62     | 0.6986         | 0.2840 | 0.2928           | 0.2804           |
| 26     | 0.2300         | 0.2704 | 0.2597           | 0.2491           | 63     | 0.7099         | 0.2753 | 0.2836           | 0.2722           |
| 27     | 0.2410         | 0.2798 | 0.2704           | 0.2594           | 64     | 0.7182         | 0.2694 | 0.2750           | 0.2667           |
| 28     | 0.2526         | 0.2876 | 0.2796           | 0.2680           | 65     | 0.7274         | 0.2621 | 0.2690           | 0.2598           |
| 29     | 0.2627         | 0.2963 | 0.2876           | 0.2775           | 66     | 0.7374         | 0.2538 | 0.2617           | 0.2517           |
| 30     | 0.2717         | 0.3054 | 0.2962           | 0.2872           | 67     | 0.7478         | 0.2449 | 0.2534           | 0.2431           |
| 31     | 0.2815         | 0.3127 | 0.3053           | 0.2954           | 68     | 0.7580         | 0.2359 | 0.2444           | 0.2343           |
| 32     | 0.2923         | 0.3186 | 0.3127           | 0.3019           | 69     | 0.7661         | 0.2287 | 0.2354           | 0.2273           |
| 33     | 0.3029         | 0.3237 | 0.3185           | 0.3078           | 70     | 0.7726         | 0.2231 | 0.2283           | 0.2218           |
| 34     | 0.3122         | 0.3298 | 0.3237           | 0.3145           | 71     | 0.7798         | 0.2166 | 0.2227           | 0.2155           |
| 35     | 0.3305         | 0.3400 | 0.3297           | 0.3113           | 72     | 0.7882         | 0.2089 | 0.2162           | 0.2079           |
| 36     | 0.3499         | 0.3469 | 0.3399           | 0.3205           | 73     | 0.7952         | 0.2024 | 0.2085           | 0.2015           |
| 37     | 0.3667         | 0.3544 | 0.3468           | 0.3301           | 74     | 0.8015         | 0.1965 | 0.2019           | 0.1956           |

TABLA 4.25

Kolmogorov T3S1R1-T3S1R2

| Número | F <sub>o</sub> | DIF-A  | A <sup>o</sup> 1 | A <sup>o</sup> 2 | Número | F <sub>o</sub> | DIF-A  | A <sup>o</sup> 1 | A <sup>o</sup> 2 |
|--------|----------------|--------|------------------|------------------|--------|----------------|--------|------------------|------------------|
| 1      | 0.0066         | 0.0073 | 0.0000           | 0.0066           | 38     | 0.7020         | 0.0414 | 0.0414           | 0.0191           |
| 2      | 0.0191         | 0.0083 | 0.0073           | 0.0053           | 39     | 0.7235         | 0.0404 | 0.0414           | 0.0190           |
| 3      | 0.0314         | 0.0094 | 0.0083           | 0.0040           | 40     | 0.7431         | 0.0397 | 0.0403           | 0.0207           |
| 4      | 0.0434         | 0.0106 | 0.0094           | 0.0026           | 41     | 0.7601         | 0.0401 | 0.0395           | 0.0225           |
| 5      | 0.0552         | 0.0118 | 0.0106           | 0.0012           | 42     | 0.7767         | 0.0394 | 0.0400           | 0.0233           |
| 6      | 0.0675         | 0.0124 | 0.0118           | 0.0005           | 43     | 0.7912         | 0.0396 | 0.0393           | 0.0248           |
| 7      | 0.0796         | 0.0130 | 0.0124           | 0.0003           | 44     | 0.8047         | 0.0397 | 0.0395           | 0.0260           |
| 8      | 0.0911         | 0.0140 | 0.0130           | 0.0015           | 45     | 0.8171         | 0.0397 | 0.0395           | 0.0271           |
| 9      | 0.1024         | 0.0150 | 0.0140           | 0.0027           | 46     | 0.8290         | 0.0393 | 0.0395           | 0.0276           |
| 10     | 0.1243         | 0.0172 | 0.0150           | 0.0069           | 47     | 0.8403         | 0.0385 | 0.0391           | 0.0278           |
| 11     | 0.1461         | 0.0189 | 0.0172           | 0.0046           | 48     | 0.8503         | 0.0382 | 0.0384           | 0.0283           |
| 12     | 0.1674         | 0.0206 | 0.0189           | 0.0023           | 49     | 0.8594         | 0.0380 | 0.0380           | 0.0289           |
| 13     | 0.1881         | 0.0220 | 0.0206           | 0.0002           | 50     | 0.8677         | 0.0380 | 0.0378           | 0.0295           |
| 14     | 0.2094         | 0.0223 | 0.0220           | 0.0008           | 51     | 0.8755         | 0.0377 | 0.0377           | 0.0298           |
| 15     | 0.2300         | 0.0229 | 0.0223           | 0.0017           | 52     | 0.8832         | 0.0370 | 0.0375           | 0.0298           |
| 16     | 0.2492         | 0.0240 | 0.0227           | 0.0035           | 53     | 0.8904         | 0.0363 | 0.0367           | 0.0296           |
| 17     | 0.2679         | 0.0252 | 0.0240           | 0.0053           | 54     | 0.8965         | 0.0360 | 0.0360           | 0.0298           |
| 18     | 0.2860         | 0.0264 | 0.0252           | 0.0071           | 55     | 0.9074         | 0.0355 | 0.0357           | 0.0249           |
| 19     | 0.3032         | 0.0281 | 0.0264           | 0.0092           | 56     | 0.9176         | 0.0341 | 0.0353           | 0.0250           |
| 20     | 0.3277         | 0.0308 | 0.0281           | 0.0036           | 57     | 0.9269         | 0.0323 | 0.0338           | 0.0245           |
| 21     | 0.3520         | 0.0328 | 0.0308           | 0.0066           | 58     | 0.9342         | 0.0313 | 0.0320           | 0.0247           |
| 22     | 0.3761         | 0.0337 | 0.0328           | 0.0086           | 59     | 0.9405         | 0.0303 | 0.0310           | 0.0247           |
| 23     | 0.3992         | 0.0346 | 0.0337           | 0.0106           | 60     | 0.9464         | 0.0291 | 0.0301           | 0.0242           |
| 24     | 0.4211         | 0.0358 | 0.0346           | 0.0127           | 61     | 0.9518         | 0.0274 | 0.0286           | 0.0232           |
| 25     | 0.4427         | 0.0365 | 0.0358           | 0.0142           | 62     | 0.9564         | 0.0261 | 0.0272           | 0.0225           |
| 26     | 0.4635         | 0.0368 | 0.0363           | 0.0155           | 63     | 0.9606         | 0.0246 | 0.0257           | 0.0215           |
| 27     | 0.4827         | 0.0380 | 0.0368           | 0.0176           | 64     | 0.9642         | 0.0233 | 0.0243           | 0.0207           |
| 28     | 0.5017         | 0.0385 | 0.0379           | 0.0189           | 65     | 0.9670         | 0.0225 | 0.0230           | 0.0202           |
| 29     | 0.5203         | 0.0387 | 0.0385           | 0.0199           | 66     | 0.9695         | 0.0217 | 0.0221           | 0.0196           |
| 30     | 0.5378         | 0.0392 | 0.0386           | 0.0211           | 67     | 0.9718         | 0.0209 | 0.0213           | 0.0191           |
| 31     | 0.5545         | 0.0397 | 0.0391           | 0.0224           | 68     | 0.9737         | 0.0201 | 0.0204           | 0.0185           |
| 32     | 0.5715         | 0.0394 | 0.0397           | 0.0227           | 69     | 0.9754         | 0.0194 | 0.0197           | 0.0180           |
| 33     | 0.5875         | 0.0392 | 0.0393           | 0.0232           | 70     | 0.9769         | 0.0188 | 0.0190           | 0.0175           |
| 34     | 0.6024         | 0.0395 | 0.0392           | 0.0242           | 71     | 0.9785         | 0.0179 | 0.0184           | 0.0168           |
| 35     | 0.6308         | 0.0397 | 0.0394           | 0.0111           | 72     | 0.9805         | 0.0165 | 0.0175           | 0.0155           |
| 36     | 0.6562         | 0.0406 | 0.0396           | 0.0142           | 73     | 0.9826         | 0.0150 | 0.0162           | 0.0141           |
| 37     | 0.6797         | 0.0414 | 0.0405           | 0.0171           | 74     | 0.9840         | 0.0141 | 0.0145           | 0.0131           |

TABLA 4.26

Kolmogorov

T3S2R1-T3S2R2

| Número | F <sub>o</sub> | DIF-A  | A <sup>o</sup> 1 | A <sup>o</sup> 2 | Número | F <sub>o</sub> | DIF-A  | A <sup>o</sup> 1 | A <sup>o</sup> 2 |
|--------|----------------|--------|------------------|------------------|--------|----------------|--------|------------------|------------------|
| 1      | 0.0066         | 0.0073 | 0.0000           | 0.0066           | 38     | 0.7282         | 0.0152 | 0.0151           | 0.0071           |
| 2      | 0.0200         | 0.0074 | 0.0073           | 0.0062           | 39     | 0.7492         | 0.0147 | 0.0151           | 0.0059           |
| 3      | 0.0335         | 0.0073 | 0.0074           | 0.0061           | 40     | 0.7686         | 0.0142 | 0.0146           | 0.0048           |
| 4      | 0.0466         | 0.0074 | 0.0073           | 0.0057           | 41     | 0.7853         | 0.0148 | 0.0140           | 0.0027           |
| 5      | 0.0594         | 0.0076 | 0.0074           | 0.0054           | 42     | 0.8009         | 0.0152 | 0.0147           | 0.0009           |
| 6      | 0.0725         | 0.0074 | 0.0076           | 0.0054           | 43     | 0.8155         | 0.0153 | 0.0151           | 0.0005           |
| 7      | 0.0852         | 0.0074 | 0.0074           | 0.0053           | 44     | 0.8292         | 0.0152 | 0.0152           | 0.0015           |
| 8      | 0.0977         | 0.0074 | 0.0074           | 0.0050           | 45     | 0.8417         | 0.0151 | 0.0150           | 0.0025           |
| 9      | 0.1101         | 0.0073 | 0.0074           | 0.0050           | 46     | 0.8526         | 0.0157 | 0.0150           | 0.0040           |
| 10     | 0.1342         | 0.0073 | 0.0073           | 0.0167           | 47     | 0.8629         | 0.0160 | 0.0155           | 0.0052           |
| 11     | 0.1571         | 0.0080 | 0.0073           | 0.0156           | 48     | 0.8731         | 0.0154 | 0.0158           | 0.0056           |
| 12     | 0.1797         | 0.0082 | 0.0080           | 0.0147           | 49     | 0.8822         | 0.0152 | 0.0152           | 0.0061           |
| 13     | 0.2021         | 0.0080 | 0.0082           | 0.0142           | 50     | 0.8903         | 0.0154 | 0.0150           | 0.0070           |
| 14     | 0.2239         | 0.0078 | 0.0080           | 0.0138           | 51     | 0.8982         | 0.0151 | 0.0151           | 0.0072           |
| 15     | 0.2452         | 0.0076 | 0.0078           | 0.0135           | 52     | 0.9056         | 0.0146 | 0.0149           | 0.0074           |
| 16     | 0.2658         | 0.0075 | 0.0075           | 0.0131           | 53     | 0.9120         | 0.0146 | 0.0143           | 0.0080           |
| 17     | 0.2853         | 0.0078 | 0.0075           | 0.0121           | 54     | 0.9178         | 0.0147 | 0.0143           | 0.0085           |
| 18     | 0.3041         | 0.0083 | 0.0078           | 0.0110           | 55     | 0.9284         | 0.0145 | 0.0144           | 0.0038           |
| 19     | 0.3226         | 0.0087 | 0.0083           | 0.0102           | 56     | 0.9379         | 0.0138 | 0.0142           | 0.0047           |
| 20     | 0.3490         | 0.0095 | 0.0087           | 0.0177           | 57     | 0.9464         | 0.0128 | 0.0135           | 0.0050           |
| 21     | 0.3746         | 0.0101 | 0.0095           | 0.0161           | 58     | 0.9535         | 0.0121 | 0.0125           | 0.0054           |
| 22     | 0.4004         | 0.0094 | 0.0101           | 0.0157           | 59     | 0.9596         | 0.0112 | 0.0117           | 0.0056           |
| 23     | 0.4248         | 0.0091 | 0.0094           | 0.0150           | 60     | 0.9653         | 0.0101 | 0.0109           | 0.0052           |
| 24     | 0.4477         | 0.0092 | 0.0091           | 0.0139           | 61     | 0.9700         | 0.0092 | 0.0097           | 0.0050           |
| 25     | 0.4697         | 0.0095 | 0.0092           | 0.0128           | 62     | 0.9738         | 0.0087 | 0.0089           | 0.0051           |
| 26     | 0.4904         | 0.0099 | 0.0093           | 0.0114           | 63     | 0.9773         | 0.0079 | 0.0083           | 0.0048           |
| 27     | 0.5106         | 0.0101 | 0.0099           | 0.0103           | 64     | 0.9806         | 0.0070 | 0.0076           | 0.0043           |
| 28     | 0.5298         | 0.0104 | 0.0100           | 0.0092           | 65     | 0.9833         | 0.0062 | 0.0066           | 0.0039           |
| 29     | 0.5476         | 0.0114 | 0.0104           | 0.0074           | 66     | 0.9859         | 0.0053 | 0.0058           | 0.0032           |
| 30     | 0.5644         | 0.0126 | 0.0113           | 0.0055           | 67     | 0.9883         | 0.0043 | 0.0050           | 0.0025           |
| 31     | 0.5803         | 0.0139 | 0.0125           | 0.0034           | 68     | 0.9902         | 0.0036 | 0.0039           | 0.0020           |
| 32     | 0.5963         | 0.0145 | 0.0139           | 0.0021           | 69     | 0.9918         | 0.0030 | 0.0032           | 0.0016           |
| 33     | 0.6120         | 0.0146 | 0.0144           | 0.0013           | 70     | 0.9933         | 0.0025 | 0.0026           | 0.0011           |
| 34     | 0.6271         | 0.0149 | 0.0146           | 0.0004           | 71     | 0.9948         | 0.0016 | 0.0020           | 0.0005           |
| 35     | 0.6557         | 0.0148 | 0.0148           | 0.0139           | 72     | 0.9963         | 0.0007 | 0.0012           | 0.0003           |
| 36     | 0.6817         | 0.0151 | 0.0147           | 0.0112           | 73     | 0.9978         | 0.0003 | 0.0003           | 0.0012           |
| 37     | 0.7059         | 0.0152 | 0.0151           | 0.0092           | 74     | 0.9992         | 0.0011 | 0.0007           | 0.0020           |

TABLA 4.27

Kolmogorov

T3S3R1-T3S3R2

| Número | Fo     | DIF-A  | A° 1   | A° 2   | Número | Fo     | DIF-A  | A° 1   | A° 2   |
|--------|--------|--------|--------|--------|--------|--------|--------|--------|--------|
| 1      | 0.0072 | 0.0067 | 0.0000 | 0.0072 | 38     | 0.7456 | 0.0022 | 0.0032 | 0.0246 |
| 2      | 0.0210 | 0.0065 | 0.0067 | 0.0072 | 39     | 0.7650 | 0.0019 | 0.0023 | 0.0225 |
| 3      | 0.0344 | 0.0065 | 0.0065 | 0.0069 | 40     | 0.7851 | 0.0023 | 0.0020 | 0.0213 |
| 4      | 0.0480 | 0.0061 | 0.0065 | 0.0071 | 41     | 0.8022 | 0.0020 | 0.0025 | 0.0196 |
| 5      | 0.0616 | 0.0054 | 0.0061 | 0.0076 | 42     | 0.8189 | 0.0028 | 0.0021 | 0.0189 |
| 6      | 0.0751 | 0.0048 | 0.0054 | 0.0081 | 43     | 0.8329 | 0.0021 | 0.0029 | 0.0169 |
| 7      | 0.0881 | 0.0045 | 0.0048 | 0.0082 | 44     | 0.8452 | 0.0008 | 0.0022 | 0.0145 |
| 8      | 0.1010 | 0.0042 | 0.0045 | 0.0083 | 45     | 0.8573 | 0.0005 | 0.0010 | 0.0131 |
| 9      | 0.1139 | 0.0035 | 0.0042 | 0.0088 | 46     | 0.8688 | 0.0005 | 0.0007 | 0.0121 |
| 10     | 0.1389 | 0.0026 | 0.0035 | 0.0215 | 47     | 0.8792 | 0.0004 | 0.0007 | 0.0111 |
| 11     | 0.1637 | 0.0013 | 0.0026 | 0.0222 | 48     | 0.8890 | 0.0005 | 0.0006 | 0.0103 |
| 12     | 0.1881 | 0.0001 | 0.0013 | 0.0230 | 49     | 0.8977 | 0.0003 | 0.0007 | 0.0094 |
| 13     | 0.2102 | 0.0000 | 0.0001 | 0.0222 | 50     | 0.9060 | 0.0003 | 0.0005 | 0.0088 |
| 14     | 0.2321 | 0.0004 | 0.0000 | 0.0220 | 51     | 0.9139 | 0.0007 | 0.0006 | 0.0085 |
| 15     | 0.2539 | 0.0011 | 0.0004 | 0.0222 | 52     | 0.9209 | 0.0007 | 0.0009 | 0.0079 |
| 16     | 0.2747 | 0.0015 | 0.0012 | 0.0220 | 53     | 0.9271 | 0.0005 | 0.0010 | 0.0072 |
| 17     | 0.2951 | 0.0020 | 0.0015 | 0.0219 | 54     | 0.9327 | 0.0002 | 0.0008 | 0.0064 |
| 18     | 0.3153 | 0.0029 | 0.0020 | 0.0222 | 55     | 0.9429 | 0.0000 | 0.0005 | 0.0107 |
| 19     | 0.3348 | 0.0035 | 0.0029 | 0.0224 | 56     | 0.9519 | 0.0001 | 0.0003 | 0.0092 |
| 20     | 0.3620 | 0.0035 | 0.0035 | 0.0307 | 57     | 0.9600 | 0.0008 | 0.0004 | 0.0086 |
| 21     | 0.3886 | 0.0039 | 0.0035 | 0.0301 | 58     | 0.9667 | 0.0011 | 0.0011 | 0.0078 |
| 22     | 0.4143 | 0.0045 | 0.0039 | 0.0296 | 59     | 0.9721 | 0.0012 | 0.0015 | 0.0069 |
| 23     | 0.4384 | 0.0046 | 0.0045 | 0.0286 | 60     | 0.9770 | 0.0016 | 0.0015 | 0.0065 |
| 24     | 0.4617 | 0.0048 | 0.0046 | 0.0279 | 61     | 0.9819 | 0.0027 | 0.0020 | 0.0069 |
| 25     | 0.4848 | 0.0056 | 0.0048 | 0.0279 | 62     | 0.9859 | 0.0034 | 0.0030 | 0.0070 |
| 26     | 0.5067 | 0.0064 | 0.0058 | 0.0277 | 63     | 0.9890 | 0.0038 | 0.0038 | 0.0069 |
| 27     | 0.5368 | 0.0161 | 0.0064 | 0.0365 | 64     | 0.9918 | 0.0042 | 0.0041 | 0.0069 |
| 28     | 0.5462 | 0.0060 | 0.0162 | 0.0256 | 65     | 0.9942 | 0.0047 | 0.0046 | 0.0070 |
| 29     | 0.5656 | 0.0066 | 0.0060 | 0.0254 | 66     | 0.9963 | 0.0051 | 0.0051 | 0.0072 |
| 30     | 0.5840 | 0.0070 | 0.0067 | 0.0251 | 67     | 0.9982 | 0.0055 | 0.0055 | 0.0073 |
| 31     | 0.6013 | 0.0071 | 0.0071 | 0.0244 | 68     | 0.9999 | 0.0061 | 0.0060 | 0.0077 |
| 32     | 0.6182 | 0.0073 | 0.0071 | 0.0240 | 69     | 1.0012 | 0.0064 | 0.0065 | 0.0078 |
| 33     | 0.6336 | 0.0070 | 0.0074 | 0.0229 | 70     | 1.0027 | 0.0070 | 0.0068 | 0.0083 |
| 34     | 0.6487 | 0.0068 | 0.0070 | 0.0221 | 71     | 1.0042 | 0.0078 | 0.0074 | 0.0089 |
| 35     | 0.6768 | 0.0063 | 0.0069 | 0.0350 | 72     | 1.0058 | 0.0088 | 0.0082 | 0.0098 |
| 36     | 0.7012 | 0.0044 | 0.0064 | 0.0308 | 73     | 1.0077 | 0.0101 | 0.0092 | 0.0110 |
| 37     | 0.7243 | 0.0031 | 0.0045 | 0.0275 | 74     | 1.0089 | 0.0109 | 0.0105 | 0.0118 |

TABLA 4.28

Kolmogorov T1S1R1-T1S1R2

| Número | Fo R1  | Fo R2  | DIF(R1-R2) | Número | Fo R1  | Fo R2  | DIF(R1-R2) |
|--------|--------|--------|------------|--------|--------|--------|------------|
| 1      | 0.0015 | 0.0009 | 0.0006     | 38     | 0.1576 | 0.1265 | 0.0311     |
| 2      | 0.0043 | 0.0025 | 0.0018     | 39     | 0.1640 | 0.1348 | 0.0292     |
| 3      | 0.0066 | 0.0043 | 0.0023     | 40     | 0.1700 | 0.1411 | 0.0289     |
| 4      | 0.0087 | 0.0061 | 0.0026     | 41     | 0.1767 | 0.1491 | 0.0276     |
| 5      | 0.0106 | 0.0078 | 0.0028     | 42     | 0.1834 | 0.1567 | 0.0267     |
| 6      | 0.0128 | 0.0095 | 0.0033     | 43     | 0.1892 | 0.1631 | 0.0261     |
| 7      | 0.0149 | 0.0110 | 0.0039     | 44     | 0.1964 | 0.1703 | 0.0261     |
| 8      | 0.0169 | 0.0122 | 0.0047     | 45     | 0.2042 | 0.1774 | 0.0268     |
| 9      | 0.0187 | 0.0137 | 0.0050     | 46     | 0.2105 | 0.1838 | 0.0267     |
| 10     | 0.0223 | 0.0168 | 0.0055     | 47     | 0.2152 | 0.1901 | 0.0251     |
| 11     | 0.0258 | 0.0195 | 0.0063     | 48     | 0.2196 | 0.1966 | 0.0230     |
| 12     | 0.0293 | 0.0221 | 0.0072     | 49     | 0.2244 | 0.2020 | 0.0224     |
| 13     | 0.0329 | 0.0248 | 0.0081     | 50     | 0.2298 | 0.2060 | 0.0238     |
| 14     | 0.0375 | 0.0276 | 0.0099     | 51     | 0.2353 | 0.2099 | 0.0254     |
| 15     | 0.0419 | 0.0302 | 0.0117     | 52     | 0.2413 | 0.2141 | 0.0272     |
| 16     | 0.0454 | 0.0330 | 0.0124     | 53     | 0.2470 | 0.2189 | 0.0281     |
| 17     | 0.0487 | 0.0360 | 0.0127     | 54     | 0.2533 | 0.2247 | 0.0286     |
| 18     | 0.0520 | 0.0389 | 0.0131     | 55     | 0.2655 | 0.2360 | 0.0295     |
| 19     | 0.0555 | 0.0419 | 0.0136     | 56     | 0.2742 | 0.2452 | 0.0290     |
| 20     | 0.0605 | 0.0458 | 0.0147     | 57     | 0.2853 | 0.2543 | 0.0310     |
| 21     | 0.0650 | 0.0491 | 0.0159     | 58     | 0.2952 | 0.2637 | 0.0315     |
| 22     | 0.0692 | 0.0524 | 0.0168     | 59     | 0.3051 | 0.2709 | 0.0342     |
| 23     | 0.0736 | 0.0560 | 0.0176     | 60     | 0.3171 | 0.2763 | 0.0408     |
| 24     | 0.0780 | 0.0598 | 0.0182     | 61     | 0.3259 | 0.2888 | 0.0371     |
| 25     | 0.0821 | 0.0631 | 0.0190     | 62     | 0.3334 | 0.3052 | 0.0282     |
| 26     | 0.0863 | 0.0664 | 0.0199     | 63     | 0.3406 | 0.3164 | 0.0242     |
| 27     | 0.0902 | 0.0704 | 0.0198     | 64     | 0.3475 | 0.3240 | 0.0235     |
| 28     | 0.0944 | 0.0746 | 0.0198     | 65     | 0.3560 | 0.3326 | 0.0234     |
| 29     | 0.0992 | 0.0786 | 0.0206     | 66     | 0.3646 | 0.3414 | 0.0232     |
| 30     | 0.1039 | 0.0825 | 0.0214     | 67     | 0.3717 | 0.3477 | 0.0240     |
| 31     | 0.1083 | 0.0859 | 0.0224     | 68     | 0.3783 | 0.3544 | 0.0239     |
| 32     | 0.1130 | 0.0894 | 0.0236     | 69     | 0.3869 | 0.3622 | 0.0247     |
| 33     | 0.1166 | 0.0936 | 0.0230     | 70     | 0.3958 | 0.3717 | 0.0241     |
| 34     | 0.1203 | 0.0976 | 0.0227     | 71     | 0.4024 | 0.3790 | 0.0234     |
| 35     | 0.1286 | 0.1046 | 0.0240     | 72     | 0.4082 | 0.3847 | 0.0235     |
| 36     | 0.1373 | 0.1116 | 0.0257     | 73     | 0.4152 | 0.3910 | 0.0242     |
| 37     | 0.1481 | 0.1184 | 0.0297     | 74     | 0.4218 | 0.3962 | 0.0256     |

TABLA 4.29

Kolmogorov T1S2R1-T1S2R2

| Número | Fo R1  | Fo R2  | DIF(R1-R2) | Número | Fo R1  | Fo R2  | DIF(R1-R2) |
|--------|--------|--------|------------|--------|--------|--------|------------|
| 1      | 0.0028 | 0.0028 | 0.0000     | 38     | 0.2268 | 0.2169 | 0.0099     |
| 2      | 0.0075 | 0.0072 | 0.0003     | 39     | 0.2380 | 0.2264 | 0.0116     |
| 3      | 0.0108 | 0.0103 | 0.0005     | 40     | 0.2488 | 0.2365 | 0.0123     |
| 4      | 0.0135 | 0.0131 | 0.0004     | 41     | 0.2578 | 0.2472 | 0.0106     |
| 5      | 0.0159 | 0.0162 | 0.0003     | 42     | 0.2684 | 0.2591 | 0.0093     |
| 6      | 0.0182 | 0.0190 | 0.0008     | 43     | 0.2812 | 0.2720 | 0.0092     |
| 7      | 0.0209 | 0.0213 | 0.0004     | 44     | 0.2926 | 0.2833 | 0.0093     |
| 8      | 0.0236 | 0.0239 | 0.0003     | 45     | 0.3039 | 0.2944 | 0.0095     |
| 9      | 0.0256 | 0.0263 | 0.0007     | 46     | 0.3149 | 0.3043 | 0.0106     |
| 10     | 0.0297 | 0.0312 | 0.0015     | 47     | 0.3244 | 0.3121 | 0.0123     |
| 11     | 0.0345 | 0.0364 | 0.0019     | 48     | 0.3326 | 0.3205 | 0.0121     |
| 12     | 0.0396 | 0.0415 | 0.0019     | 49     | 0.3395 | 0.3305 | 0.0090     |
| 13     | 0.0446 | 0.0471 | 0.0025     | 50     | 0.3489 | 0.3400 | 0.0089     |
| 14     | 0.0489 | 0.0520 | 0.0031     | 51     | 0.3590 | 0.3474 | 0.0116     |
| 15     | 0.0531 | 0.0569 | 0.0038     | 52     | 0.3660 | 0.3550 | 0.0110     |
| 16     | 0.0577 | 0.0616 | 0.0039     | 53     | 0.3724 | 0.3631 | 0.0093     |
| 17     | 0.0623 | 0.0660 | 0.0037     | 54     | 0.3800 | 0.3706 | 0.0094     |
| 18     | 0.0674 | 0.0709 | 0.0035     | 55     | 0.3952 | 0.3838 | 0.0114     |
| 19     | 0.0727 | 0.0762 | 0.0035     | 56     | 0.4097 | 0.3948 | 0.0149     |
| 20     | 0.0800 | 0.0834 | 0.0034     | 57     | 0.4236 | 0.4084 | 0.0152     |
| 21     | 0.0867 | 0.0897 | 0.0030     | 58     | 0.4381 | 0.4215 | 0.0166     |
| 22     | 0.0934 | 0.0960 | 0.0026     | 59     | 0.4498 | 0.4318 | 0.0180     |
| 23     | 0.1004 | 0.1020 | 0.0016     | 60     | 0.4606 | 0.4432 | 0.0174     |
| 24     | 0.1084 | 0.1087 | 0.0003     | 61     | 0.4735 | 0.4542 | 0.0193     |
| 25     | 0.1161 | 0.1154 | 0.0007     | 62     | 0.4861 | 0.4645 | 0.0216     |
| 26     | 0.1242 | 0.1221 | 0.0021     | 63     | 0.4983 | 0.4748 | 0.0235     |
| 27     | 0.1334 | 0.1289 | 0.0045     | 64     | 0.5107 | 0.4855 | 0.0252     |
| 28     | 0.1421 | 0.1355 | 0.0066     | 65     | 0.5223 | 0.4970 | 0.0253     |
| 29     | 0.1496 | 0.1426 | 0.0070     | 66     | 0.5317 | 0.5061 | 0.0256     |
| 30     | 0.1577 | 0.1494 | 0.0083     | 67     | 0.5427 | 0.5141 | 0.0286     |
| 31     | 0.1655 | 0.1558 | 0.0097     | 68     | 0.5520 | 0.5238 | 0.0282     |
| 32     | 0.1715 | 0.1614 | 0.0101     | 69     | 0.5588 | 0.5332 | 0.0256     |
| 33     | 0.1775 | 0.1662 | 0.0113     | 70     | 0.5657 | 0.5417 | 0.0240     |
| 34     | 0.1834 | 0.1712 | 0.0122     | 71     | 0.5731 | 0.5511 | 0.0220     |
| 35     | 0.1939 | 0.1832 | 0.0107     | 72     | 0.5812 | 0.5608 | 0.0204     |
| 36     | 0.2057 | 0.1966 | 0.0091     | 73     | 0.5885 | 0.5689 | 0.0196     |
| 37     | 0.2171 | 0.2074 | 0.0097     | 74     | 0.5946 | 0.5760 | 0.0186     |

TABLA 4.30

Kolmogorov

T1S3R1-T1S3R2

| Número | Fo R1  | Fo R2  | DIF(R1-R2) | Número | Fo R1  | Fo R2  | DIF(R1-R2) |
|--------|--------|--------|------------|--------|--------|--------|------------|
| 1      | 0.0044 | 0.0049 | 0.0005     | 38     | 0.2573 | 0.2568 | 0.0005     |
| 2      | 0.0111 | 0.0125 | 0.0014     | 39     | 0.2704 | 0.2685 | 0.0019     |
| 3      | 0.0148 | 0.0172 | 0.0024     | 40     | 0.2843 | 0.2805 | 0.0038     |
| 4      | 0.0180 | 0.0213 | 0.0033     | 41     | 0.2969 | 0.2912 | 0.0057     |
| 5      | 0.0216 | 0.0252 | 0.0036     | 42     | 0.3086 | 0.3028 | 0.0058     |
| 6      | 0.0253 | 0.0289 | 0.0036     | 43     | 0.3210 | 0.3147 | 0.0063     |
| 7      | 0.0288 | 0.0327 | 0.0039     | 44     | 0.3338 | 0.3261 | 0.0077     |
| 8      | 0.0321 | 0.0362 | 0.0041     | 45     | 0.3446 | 0.3363 | 0.0083     |
| 9      | 0.0353 | 0.0395 | 0.0042     | 46     | 0.3538 | 0.3460 | 0.0078     |
| 10     | 0.0426 | 0.0469 | 0.0043     | 47     | 0.3649 | 0.3576 | 0.0073     |
| 11     | 0.0506 | 0.0543 | 0.0037     | 48     | 0.3765 | 0.3672 | 0.0093     |
| 12     | 0.0571 | 0.0605 | 0.0034     | 49     | 0.3864 | 0.3751 | 0.0113     |
| 13     | 0.0628 | 0.0672 | 0.0044     | 50     | 0.3933 | 0.3840 | 0.0093     |
| 14     | 0.0685 | 0.0736 | 0.0051     | 51     | 0.4020 | 0.3938 | 0.0082     |
| 15     | 0.0756 | 0.0800 | 0.0044     | 52     | 0.4106 | 0.4022 | 0.0084     |
| 16     | 0.0820 | 0.0869 | 0.0049     | 53     | 0.4178 | 0.4114 | 0.0064     |
| 17     | 0.0864 | 0.0932 | 0.0068     | 54     | 0.4268 | 0.4217 | 0.0051     |
| 18     | 0.0913 | 0.0993 | 0.0080     | 55     | 0.4467 | 0.4405 | 0.0062     |
| 19     | 0.0965 | 0.1052 | 0.0087     | 56     | 0.4633 | 0.4543 | 0.0090     |
| 20     | 0.1040 | 0.1141 | 0.0101     | 57     | 0.4766 | 0.4663 | 0.0103     |
| 21     | 0.1107 | 0.1218 | 0.0111     | 58     | 0.4905 | 0.4810 | 0.0095     |
| 22     | 0.1174 | 0.1288 | 0.0114     | 59     | 0.5025 | 0.4944 | 0.0081     |
| 23     | 0.1255 | 0.1357 | 0.0102     | 60     | 0.5148 | 0.5083 | 0.0065     |
| 24     | 0.1338 | 0.1429 | 0.0091     | 61     | 0.5290 | 0.5203 | 0.0087     |
| 25     | 0.1416 | 0.1506 | 0.0090     | 62     | 0.5430 | 0.5295 | 0.0135     |
| 26     | 0.1490 | 0.1578 | 0.0088     | 63     | 0.5564 | 0.5393 | 0.0171     |
| 27     | 0.1559 | 0.1648 | 0.0089     | 64     | 0.5706 | 0.5513 | 0.0193     |
| 28     | 0.1637 | 0.1720 | 0.0083     | 65     | 0.5826 | 0.5651 | 0.0175     |
| 29     | 0.1719 | 0.1787 | 0.0068     | 66     | 0.5931 | 0.5772 | 0.0159     |
| 30     | 0.1785 | 0.1844 | 0.0059     | 67     | 0.6039 | 0.5865 | 0.0174     |
| 31     | 0.1856 | 0.1905 | 0.0049     | 68     | 0.6134 | 0.5945 | 0.0189     |
| 32     | 0.1931 | 0.1967 | 0.0036     | 69     | 0.6239 | 0.6028 | 0.0211     |
| 33     | 0.2007 | 0.2032 | 0.0025     | 70     | 0.6345 | 0.6114 | 0.0231     |
| 34     | 0.2085 | 0.2106 | 0.0021     | 71     | 0.6423 | 0.6189 | 0.0234     |
| 35     | 0.2232 | 0.2247 | 0.0015     | 72     | 0.6505 | 0.6257 | 0.0248     |
| 36     | 0.2365 | 0.2370 | 0.0005     | 73     | 0.6602 | 0.6322 | 0.0280     |
| 37     | 0.2463 | 0.2470 | 0.0007     | 74     | 0.6693 | 0.6377 | 0.0316     |

TABLA 4.31

Kolmogorov

T2S1R1-T2S1R2

| Número | Fo R1  | Fo R2  | DIF(R1-R2) | Número | Fo R1  | Fo R2  | DIF(R1-R2) |
|--------|--------|--------|------------|--------|--------|--------|------------|
| 1      | 0.0023 | 0.0017 | 0.0006     | 38     | 0.2765 | 0.2588 | 0.0177     |
| 2      | 0.0066 | 0.0053 | 0.0013     | 39     | 0.2888 | 0.2678 | 0.0210     |
| 3      | 0.0105 | 0.0088 | 0.0017     | 40     | 0.3004 | 0.2776 | 0.0228     |
| 4      | 0.0147 | 0.0118 | 0.0029     | 41     | 0.3120 | 0.2892 | 0.0228     |
| 5      | 0.0185 | 0.0147 | 0.0038     | 42     | 0.3232 | 0.3006 | 0.0226     |
| 6      | 0.0219 | 0.0177 | 0.0042     | 43     | 0.3331 | 0.3117 | 0.0214     |
| 7      | 0.0257 | 0.0209 | 0.0048     | 44     | 0.3442 | 0.3215 | 0.0227     |
| 8      | 0.0296 | 0.0241 | 0.0055     | 45     | 0.3565 | 0.3302 | 0.0263     |
| 9      | 0.0334 | 0.0270 | 0.0064     | 46     | 0.3670 | 0.3396 | 0.0274     |
| 10     | 0.0407 | 0.0331 | 0.0076     | 47     | 0.3759 | 0.3486 | 0.0273     |
| 11     | 0.0477 | 0.0392 | 0.0085     | 48     | 0.3840 | 0.3569 | 0.0271     |
| 12     | 0.0554 | 0.0444 | 0.0110     | 49     | 0.3919 | 0.3644 | 0.0275     |
| 13     | 0.0633 | 0.0506 | 0.0127     | 50     | 0.4019 | 0.3713 | 0.0306     |
| 14     | 0.0709 | 0.0570 | 0.0139     | 51     | 0.4106 | 0.3794 | 0.0312     |
| 15     | 0.0781 | 0.0629 | 0.0152     | 52     | 0.4180 | 0.3871 | 0.0309     |
| 16     | 0.0849 | 0.0698 | 0.0151     | 53     | 0.4265 | 0.3938 | 0.0327     |
| 17     | 0.0914 | 0.0758 | 0.0156     | 54     | 0.4339 | 0.4001 | 0.0338     |
| 18     | 0.0976 | 0.0820 | 0.0156     | 55     | 0.4456 | 0.4129 | 0.0327     |
| 19     | 0.1036 | 0.0887 | 0.0149     | 56     | 0.4569 | 0.4256 | 0.0313     |
| 20     | 0.1128 | 0.0986 | 0.0142     | 57     | 0.4694 | 0.4368 | 0.0326     |
| 21     | 0.1217 | 0.1079 | 0.0138     | 58     | 0.4824 | 0.4471 | 0.0353     |
| 22     | 0.1303 | 0.1157 | 0.0146     | 59     | 0.4923 | 0.4608 | 0.0315     |
| 23     | 0.1384 | 0.1244 | 0.0140     | 60     | 0.5001 | 0.4753 | 0.0248     |
| 24     | 0.1468 | 0.1329 | 0.0139     | 61     | 0.5092 | 0.4867 | 0.0225     |
| 25     | 0.1565 | 0.1414 | 0.0151     | 62     | 0.5198 | 0.4968 | 0.0230     |
| 26     | 0.1656 | 0.1508 | 0.0148     | 63     | 0.5304 | 0.5080 | 0.0224     |
| 27     | 0.1739 | 0.1598 | 0.0141     | 64     | 0.5403 | 0.5204 | 0.0199     |
| 28     | 0.1814 | 0.1680 | 0.0134     | 65     | 0.5495 | 0.5322 | 0.0173     |
| 29     | 0.1889 | 0.1750 | 0.0139     | 66     | 0.5575 | 0.5439 | 0.0136     |
| 30     | 0.1971 | 0.1812 | 0.0159     | 67     | 0.5639 | 0.5532 | 0.0107     |
| 31     | 0.2052 | 0.1890 | 0.0162     | 68     | 0.5714 | 0.5603 | 0.0111     |
| 32     | 0.2128 | 0.1978 | 0.0150     | 69     | 0.5785 | 0.5670 | 0.0115     |
| 33     | 0.2194 | 0.2046 | 0.0148     | 70     | 0.5842 | 0.5741 | 0.0101     |
| 34     | 0.2251 | 0.2117 | 0.0134     | 71     | 0.5913 | 0.5830 | 0.0083     |
| 35     | 0.2370 | 0.2266 | 0.0104     | 72     | 0.5986 | 0.5912 | 0.0074     |
| 36     | 0.2511 | 0.2382 | 0.0129     | 73     | 0.6054 | 0.5994 | 0.0060     |
| 37     | 0.2645 | 0.2486 | 0.0159     | 74     | 0.6123 | 0.6087 | 0.0036     |

TABLA 4.32

Kolmogorov

T2S2R1-T2S2R2

| Número | Fo R1  | Fo R2  | DIF(R1-R2) | Número | Fo R1  | Fo R2  | DIF(R1-R2) |
|--------|--------|--------|------------|--------|--------|--------|------------|
| 1      | 0.0026 | 0.0034 | 0.0008     | 38     | 0.2934 | 0.3179 | 0.0245     |
| 2      | 0.0079 | 0.0090 | 0.0011     | 39     | 0.3077 | 0.3331 | 0.0254     |
| 3      | 0.0130 | 0.0134 | 0.0004     | 40     | 0.3208 | 0.3474 | 0.0266     |
| 4      | 0.0177 | 0.0175 | 0.0002     | 41     | 0.3314 | 0.3593 | 0.0279     |
| 5      | 0.0217 | 0.0219 | 0.0002     | 42     | 0.3421 | 0.3709 | 0.0288     |
| 6      | 0.0258 | 0.0263 | 0.0005     | 43     | 0.3545 | 0.3826 | 0.0281     |
| 7      | 0.0298 | 0.0307 | 0.0009     | 44     | 0.3658 | 0.3970 | 0.0312     |
| 8      | 0.0335 | 0.0351 | 0.0016     | 45     | 0.3777 | 0.4093 | 0.0316     |
| 9      | 0.0373 | 0.0391 | 0.0018     | 46     | 0.3896 | 0.4193 | 0.0297     |
| 10     | 0.0440 | 0.0473 | 0.0033     | 47     | 0.3993 | 0.4291 | 0.0298     |
| 11     | 0.0512 | 0.0545 | 0.0033     | 48     | 0.4100 | 0.4401 | 0.0301     |
| 12     | 0.0578 | 0.0616 | 0.0038     | 49     | 0.4199 | 0.4512 | 0.0313     |
| 13     | 0.0633 | 0.0690 | 0.0057     | 50     | 0.4304 | 0.4593 | 0.0289     |
| 14     | 0.0713 | 0.0765 | 0.0052     | 51     | 0.4401 | 0.4684 | 0.0283     |
| 15     | 0.0799 | 0.0847 | 0.0048     | 52     | 0.4491 | 0.4778 | 0.0287     |
| 16     | 0.0872 | 0.0942 | 0.0070     | 53     | 0.4589 | 0.4864 | 0.0275     |
| 17     | 0.0939 | 0.1023 | 0.0084     | 54     | 0.4672 | 0.4957 | 0.0285     |
| 18     | 0.0998 | 0.1091 | 0.0093     | 55     | 0.4830 | 0.5159 | 0.0329     |
| 19     | 0.1054 | 0.1163 | 0.0109     | 56     | 0.4995 | 0.5324 | 0.0329     |
| 20     | 0.1142 | 0.1276 | 0.0134     | 57     | 0.5159 | 0.5452 | 0.0293     |
| 21     | 0.1241 | 0.1378 | 0.0137     | 58     | 0.5322 | 0.5598 | 0.0276     |
| 22     | 0.1334 | 0.1473 | 0.0139     | 59     | 0.5450 | 0.5754 | 0.0304     |
| 23     | 0.1427 | 0.1560 | 0.0133     | 60     | 0.5574 | 0.5893 | 0.0319     |
| 24     | 0.1527 | 0.1642 | 0.0115     | 61     | 0.5703 | 0.6025 | 0.0322     |
| 25     | 0.1617 | 0.1732 | 0.0115     | 62     | 0.5824 | 0.6157 | 0.0333     |
| 26     | 0.1692 | 0.1831 | 0.0139     | 63     | 0.5943 | 0.6278 | 0.0335     |
| 27     | 0.1781 | 0.1936 | 0.0155     | 64     | 0.6048 | 0.6377 | 0.0329     |
| 28     | 0.1880 | 0.2034 | 0.0154     | 65     | 0.6151 | 0.6460 | 0.0309     |
| 29     | 0.1965 | 0.2118 | 0.0153     | 66     | 0.6286 | 0.6561 | 0.0275     |
| 30     | 0.2044 | 0.2203 | 0.0159     | 67     | 0.6405 | 0.6695 | 0.0290     |
| 31     | 0.2129 | 0.2289 | 0.0160     | 68     | 0.6489 | 0.6811 | 0.0322     |
| 32     | 0.2216 | 0.2395 | 0.0179     | 69     | 0.6586 | 0.6901 | 0.0315     |
| 33     | 0.2291 | 0.2494 | 0.0203     | 70     | 0.6663 | 0.6997 | 0.0334     |
| 34     | 0.2370 | 0.2578 | 0.0208     | 71     | 0.6741 | 0.7095 | 0.0354     |
| 35     | 0.2530 | 0.2757 | 0.0227     | 72     | 0.6839 | 0.7177 | 0.0338     |
| 36     | 0.2671 | 0.2899 | 0.0228     | 73     | 0.6932 | 0.7244 | 0.0312     |
| 37     | 0.2804 | 0.3035 | 0.0231     | 74     | 0.7011 | 0.7300 | 0.0289     |

TABLA 4.33

Kolmogorov

T2S3R1-T2S3R2

| Número | Fo R1  | Fo R2  | DIF(R1-R2) | Número | Fo R1  | Fo R2  | DIF(R1-R2) |
|--------|--------|--------|------------|--------|--------|--------|------------|
| 1      | 0.0042 | 0.0051 | 0.0009     | 38     | 0.3954 | 0.3689 | 0.0265     |
| 2      | 0.0125 | 0.0136 | 0.0011     | 39     | 0.4121 | 0.3850 | 0.0271     |
| 3      | 0.0193 | 0.0200 | 0.0007     | 40     | 0.4274 | 0.4032 | 0.0242     |
| 4      | 0.0247 | 0.0253 | 0.0006     | 41     | 0.4426 | 0.4201 | 0.0225     |
| 5      | 0.0308 | 0.0295 | 0.0013     | 42     | 0.4571 | 0.4340 | 0.0231     |
| 6      | 0.0371 | 0.0339 | 0.0032     | 43     | 0.4696 | 0.4477 | 0.0219     |
| 7      | 0.0425 | 0.0396 | 0.0029     | 44     | 0.4840 | 0.4598 | 0.0242     |
| 8      | 0.0481 | 0.0453 | 0.0028     | 45     | 0.4986 | 0.4721 | 0.0265     |
| 9      | 0.0537 | 0.0496 | 0.0041     | 46     | 0.5116 | 0.4830 | 0.0278     |
| 10     | 0.0640 | 0.0579 | 0.0061     | 47     | 0.5239 | 0.4944 | 0.0295     |
| 11     | 0.0736 | 0.0674 | 0.0062     | 48     | 0.5368 | 0.5080 | 0.0288     |
| 12     | 0.0840 | 0.0764 | 0.0076     | 49     | 0.5498 | 0.5209 | 0.0289     |
| 13     | 0.0942 | 0.0849 | 0.0093     | 50     | 0.5613 | 0.5320 | 0.0293     |
| 14     | 0.1029 | 0.0933 | 0.0096     | 51     | 0.5720 | 0.5414 | 0.0306     |
| 15     | 0.1116 | 0.1018 | 0.0098     | 52     | 0.5814 | 0.5504 | 0.0310     |
| 16     | 0.1204 | 0.1114 | 0.0090     | 53     | 0.5908 | 0.5595 | 0.0313     |
| 17     | 0.1297 | 0.1214 | 0.0083     | 54     | 0.5998 | 0.5693 | 0.0305     |
| 18     | 0.1398 | 0.1304 | 0.0094     | 55     | 0.6159 | 0.5934 | 0.0225     |
| 19     | 0.1492 | 0.1385 | 0.0107     | 56     | 0.6303 | 0.6143 | 0.0160     |
| 20     | 0.1619 | 0.1509 | 0.0110     | 57     | 0.6455 | 0.6310 | 0.0145     |
| 21     | 0.1754 | 0.1645 | 0.0109     | 58     | 0.6613 | 0.6443 | 0.0170     |
| 22     | 0.1886 | 0.1779 | 0.0107     | 59     | 0.6749 | 0.6538 | 0.0211     |
| 23     | 0.2010 | 0.1897 | 0.0113     | 60     | 0.6859 | 0.6643 | 0.0216     |
| 24     | 0.2133 | 0.2016 | 0.0117     | 61     | 0.6963 | 0.6759 | 0.0204     |
| 25     | 0.2256 | 0.2131 | 0.0125     | 62     | 0.7083 | 0.6888 | 0.0195     |
| 26     | 0.2371 | 0.2228 | 0.0143     | 63     | 0.7176 | 0.7022 | 0.0154     |
| 27     | 0.2493 | 0.2326 | 0.0167     | 64     | 0.7234 | 0.7129 | 0.0105     |
| 28     | 0.2626 | 0.2426 | 0.0200     | 65     | 0.7304 | 0.7244 | 0.0060     |
| 29     | 0.2744 | 0.2510 | 0.0234     | 66     | 0.7388 | 0.7359 | 0.0029     |
| 30     | 0.2847 | 0.2586 | 0.0261     | 67     | 0.7486 | 0.7469 | 0.0017     |
| 31     | 0.2945 | 0.2684 | 0.0261     | 68     | 0.7581 | 0.7578 | 0.0003     |
| 32     | 0.3046 | 0.2799 | 0.0247     | 69     | 0.7663 | 0.7659 | 0.0004     |
| 33     | 0.3149 | 0.2909 | 0.0240     | 70     | 0.7722 | 0.7730 | 0.0008     |
| 34     | 0.3239 | 0.3004 | 0.0235     | 71     | 0.7775 | 0.7820 | 0.0045     |
| 35     | 0.3413 | 0.3197 | 0.0216     | 72     | 0.7849 | 0.7914 | 0.0065     |
| 36     | 0.3609 | 0.3389 | 0.0220     | 73     | 0.7921 | 0.7982 | 0.0061     |
| 37     | 0.3788 | 0.3545 | 0.0243     | 74     | 0.7985 | 0.8045 | 0.0060     |

TABLA 4.34

Kolmogorov

T3S1R1-T3S1R2

| Número | Fo R1  | Fo R2  | DIF(R1-R2) | Número | Fo R1  | Fo R2  | DIF(R1-R2) |
|--------|--------|--------|------------|--------|--------|--------|------------|
| 1      | 0.0068 | 0.0063 | 0.0005     | 38     | 0.6908 | 0.7131 | 0.0223     |
| 2      | 0.0196 | 0.0186 | 0.0010     | 39     | 0.7123 | 0.7347 | 0.0224     |
| 3      | 0.0318 | 0.0310 | 0.0008     | 40     | 0.7320 | 0.7542 | 0.0222     |
| 4      | 0.0437 | 0.0431 | 0.0006     | 41     | 0.7488 | 0.7713 | 0.0225     |
| 5      | 0.0553 | 0.0551 | 0.0002     | 42     | 0.7642 | 0.7892 | 0.0250     |
| 6      | 0.0669 | 0.0680 | 0.0011     | 43     | 0.7792 | 0.8031 | 0.0239     |
| 7      | 0.0784 | 0.0808 | 0.0024     | 44     | 0.7937 | 0.8157 | 0.0220     |
| 8      | 0.0898 | 0.0924 | 0.0026     | 45     | 0.8062 | 0.8279 | 0.0217     |
| 9      | 0.1008 | 0.1039 | 0.0031     | 46     | 0.8181 | 0.8398 | 0.0217     |
| 10     | 0.1223 | 0.1263 | 0.0040     | 47     | 0.8296 | 0.8509 | 0.0213     |
| 11     | 0.1442 | 0.1480 | 0.0038     | 48     | 0.8398 | 0.8608 | 0.0210     |
| 12     | 0.1653 | 0.1694 | 0.0041     | 49     | 0.8490 | 0.8697 | 0.0207     |
| 13     | 0.1864 | 0.1897 | 0.0033     | 50     | 0.8569 | 0.8784 | 0.0215     |
| 14     | 0.2082 | 0.2105 | 0.0023     | 51     | 0.8642 | 0.8868 | 0.0226     |
| 15     | 0.2286 | 0.2313 | 0.0027     | 52     | 0.8718 | 0.8946 | 0.0228     |
| 16     | 0.2474 | 0.2510 | 0.0036     | 53     | 0.8790 | 0.9017 | 0.0227     |
| 17     | 0.2660 | 0.2698 | 0.0038     | 54     | 0.8851 | 0.9078 | 0.0227     |
| 18     | 0.2836 | 0.2884 | 0.0048     | 55     | 0.8956 | 0.9191 | 0.0235     |
| 19     | 0.2999 | 0.3065 | 0.0066     | 56     | 0.9055 | 0.9297 | 0.0242     |
| 20     | 0.3227 | 0.3327 | 0.0100     | 57     | 0.9145 | 0.9392 | 0.0247     |
| 21     | 0.3458 | 0.3581 | 0.0123     | 58     | 0.9218 | 0.9465 | 0.0247     |
| 22     | 0.3704 | 0.3818 | 0.0114     | 59     | 0.9280 | 0.9529 | 0.0249     |
| 23     | 0.3936 | 0.4048 | 0.0112     | 60     | 0.9339 | 0.9588 | 0.0249     |
| 24     | 0.4154 | 0.4267 | 0.0113     | 61     | 0.9387 | 0.9648 | 0.0261     |
| 25     | 0.4367 | 0.4486 | 0.0119     | 62     | 0.9427 | 0.9701 | 0.0274     |
| 26     | 0.4573 | 0.4697 | 0.0124     | 63     | 0.9471 | 0.9740 | 0.0269     |
| 27     | 0.4765 | 0.4889 | 0.0124     | 64     | 0.9508 | 0.9776 | 0.0268     |
| 28     | 0.4953 | 0.5081 | 0.0128     | 65     | 0.9533 | 0.9806 | 0.0273     |
| 29     | 0.5132 | 0.5274 | 0.0142     | 66     | 0.9555 | 0.9834 | 0.0279     |
| 30     | 0.5298 | 0.5457 | 0.0159     | 67     | 0.9575 | 0.9860 | 0.0285     |
| 31     | 0.5464 | 0.5626 | 0.0162     | 68     | 0.9592 | 0.9882 | 0.0290     |
| 32     | 0.5632 | 0.5797 | 0.0165     | 69     | 0.9607 | 0.9900 | 0.0293     |
| 33     | 0.5794 | 0.5955 | 0.0161     | 70     | 0.9619 | 0.9919 | 0.0300     |
| 34     | 0.5944 | 0.6104 | 0.0160     | 71     | 0.9631 | 0.9939 | 0.0308     |
| 35     | 0.6222 | 0.6393 | 0.0171     | 72     | 0.9648 | 0.9961 | 0.0313     |
| 36     | 0.6468 | 0.6656 | 0.0188     | 73     | 0.9667 | 0.9984 | 0.0317     |
| 37     | 0.6693 | 0.6900 | 0.0207     | 74     | 0.9677 | 1.0002 | 0.0325     |

TABLA 4.35

Kolmogorov

T3S2R1-T3S2R2

| Número | Fo R1  | Fo R2  | DIF(R1-R2) | Número | Fo R1  | Fo R2  | DIF(R1-R2) |
|--------|--------|--------|------------|--------|--------|--------|------------|
| 1      | 0.0062 | 0.0069 | 0.0007     | 38     | 0.7201 | 0.7362 | 0.0161     |
| 2      | 0.0193 | 0.0206 | 0.0013     | 39     | 0.7404 | 0.7580 | 0.0176     |
| 3      | 0.0326 | 0.0344 | 0.0018     | 40     | 0.7588 | 0.7783 | 0.0195     |
| 4      | 0.0454 | 0.0477 | 0.0023     | 41     | 0.7755 | 0.7951 | 0.0196     |
| 5      | 0.0583 | 0.0605 | 0.0022     | 42     | 0.7907 | 0.8111 | 0.0204     |
| 6      | 0.0711 | 0.0738 | 0.0027     | 43     | 0.8052 | 0.8258 | 0.0206     |
| 7      | 0.0833 | 0.0870 | 0.0037     | 44     | 0.8193 | 0.8391 | 0.0198     |
| 8      | 0.0955 | 0.0998 | 0.0043     | 45     | 0.8324 | 0.8509 | 0.0185     |
| 9      | 0.1077 | 0.1124 | 0.0047     | 46     | 0.8440 | 0.8612 | 0.0172     |
| 10     | 0.1314 | 0.1369 | 0.0055     | 47     | 0.8542 | 0.8715 | 0.0173     |
| 11     | 0.1540 | 0.1601 | 0.0061     | 48     | 0.8648 | 0.8813 | 0.0165     |
| 12     | 0.1769 | 0.1825 | 0.0056     | 49     | 0.8743 | 0.8901 | 0.0158     |
| 13     | 0.1992 | 0.2050 | 0.0058     | 50     | 0.8820 | 0.8985 | 0.0165     |
| 14     | 0.2204 | 0.2273 | 0.0069     | 51     | 0.8899 | 0.9064 | 0.0165     |
| 15     | 0.2413 | 0.2491 | 0.0078     | 52     | 0.8973 | 0.9139 | 0.0166     |
| 16     | 0.2623 | 0.2692 | 0.0069     | 53     | 0.9035 | 0.9204 | 0.0169     |
| 17     | 0.2826 | 0.2880 | 0.0054     | 54     | 0.9093 | 0.9262 | 0.0169     |
| 18     | 0.3012 | 0.3070 | 0.0058     | 55     | 0.9196 | 0.9372 | 0.0176     |
| 19     | 0.3192 | 0.3260 | 0.0068     | 56     | 0.9285 | 0.9472 | 0.0187     |
| 20     | 0.3451 | 0.3528 | 0.0077     | 57     | 0.9374 | 0.9554 | 0.0180     |
| 21     | 0.3707 | 0.3784 | 0.0077     | 58     | 0.9445 | 0.9624 | 0.0179     |
| 22     | 0.3955 | 0.4053 | 0.0098     | 59     | 0.9501 | 0.9691 | 0.0190     |
| 23     | 0.4182 | 0.4313 | 0.0131     | 60     | 0.9553 | 0.9753 | 0.0200     |
| 24     | 0.4405 | 0.4549 | 0.0144     | 61     | 0.9598 | 0.9802 | 0.0204     |
| 25     | 0.4625 | 0.4768 | 0.0143     | 62     | 0.9636 | 0.9840 | 0.0204     |
| 26     | 0.4834 | 0.4973 | 0.0139     | 63     | 0.9671 | 0.9875 | 0.0204     |
| 27     | 0.5038 | 0.5173 | 0.0135     | 64     | 0.9701 | 0.9910 | 0.0209     |
| 28     | 0.5226 | 0.5369 | 0.0143     | 65     | 0.9725 | 0.9941 | 0.0216     |
| 29     | 0.5403 | 0.5549 | 0.0146     | 66     | 0.9749 | 0.9968 | 0.0219     |
| 30     | 0.5575 | 0.5713 | 0.0138     | 67     | 0.9774 | 0.9991 | 0.0217     |
| 31     | 0.5730 | 0.5875 | 0.0145     | 68     | 0.9794 | 1.0010 | 0.0216     |
| 32     | 0.5887 | 0.6038 | 0.0151     | 69     | 0.9809 | 1.0027 | 0.0218     |
| 33     | 0.6046 | 0.6194 | 0.0148     | 70     | 0.9822 | 1.0043 | 0.0221     |
| 34     | 0.6196 | 0.6345 | 0.0149     | 71     | 0.9835 | 1.0060 | 0.0225     |
| 35     | 0.6478 | 0.6635 | 0.0157     | 72     | 0.9850 | 1.0075 | 0.0225     |
| 36     | 0.6735 | 0.6898 | 0.0163     | 73     | 0.9867 | 1.0089 | 0.0222     |
| 37     | 0.6976 | 0.7142 | 0.0166     | 74     | 0.9879 | 1.0104 | 0.0225     |

TABLA 4.36

Kolmogorov

T3S3R1-T3S3R2

| Número | Fo R1  | Fo R2  | DIF(R1-R2) | Número | Fo R1  | Fo R2  | DIF(R1-R2) |
|--------|--------|--------|------------|--------|--------|--------|------------|
| 1      | 0.0063 | 0.0080 | 0.0017     | 38     | 0.7131 | 0.7781 | 0.0650     |
| 2      | 0.0186 | 0.0233 | 0.0047     | 39     | 0.7347 | 0.7969 | 0.0622     |
| 3      | 0.0310 | 0.0377 | 0.0067     | 40     | 0.7542 | 0.8160 | 0.0618     |
| 4      | 0.0431 | 0.0528 | 0.0097     | 41     | 0.7713 | 0.8330 | 0.0617     |
| 5      | 0.0551 | 0.0681 | 0.0130     | 42     | 0.7892 | 0.8486 | 0.0594     |
| 6      | 0.0680 | 0.0822 | 0.0142     | 43     | 0.8031 | 0.8626 | 0.0595     |
| 7      | 0.0808 | 0.0954 | 0.0146     | 44     | 0.8157 | 0.8746 | 0.0589     |
| 8      | 0.0924 | 0.1095 | 0.0171     | 45     | 0.8279 | 0.8866 | 0.0587     |
| 9      | 0.1039 | 0.1239 | 0.0200     | 46     | 0.8398 | 0.8977 | 0.0579     |
| 10     | 0.1263 | 0.1515 | 0.0252     | 47     | 0.8509 | 0.9075 | 0.0566     |
| 11     | 0.1480 | 0.1794 | 0.0314     | 48     | 0.8608 | 0.9171 | 0.0563     |
| 12     | 0.1694 | 0.2067 | 0.0373     | 49     | 0.8697 | 0.9257 | 0.0560     |
| 13     | 0.1897 | 0.2306 | 0.0409     | 50     | 0.8784 | 0.9335 | 0.0551     |
| 14     | 0.2105 | 0.2537 | 0.0432     | 51     | 0.8868 | 0.9409 | 0.0541     |
| 15     | 0.2313 | 0.2765 | 0.0452     | 52     | 0.8946 | 0.9472 | 0.0526     |
| 16     | 0.2510 | 0.2983 | 0.0473     | 53     | 0.9017 | 0.9525 | 0.0508     |
| 17     | 0.2698 | 0.3204 | 0.0506     | 54     | 0.9078 | 0.9576 | 0.0498     |
| 18     | 0.2884 | 0.3421 | 0.0537     | 55     | 0.9191 | 0.9666 | 0.0475     |
| 19     | 0.3065 | 0.3631 | 0.0566     | 56     | 0.9297 | 0.9740 | 0.0443     |
| 20     | 0.3327 | 0.3913 | 0.0586     | 57     | 0.9392 | 0.9808 | 0.0416     |
| 21     | 0.3581 | 0.4191 | 0.0610     | 58     | 0.9465 | 0.9868 | 0.0403     |
| 22     | 0.3818 | 0.4467 | 0.0649     | 59     | 0.9529 | 0.9912 | 0.0383     |
| 23     | 0.4048 | 0.4720 | 0.0672     | 60     | 0.9588 | 0.9952 | 0.0364     |
| 24     | 0.4267 | 0.4967 | 0.0700     | 61     | 0.9648 | 0.9989 | 0.0341     |
| 25     | 0.4486 | 0.5209 | 0.0723     | 62     | 0.9701 | 1.0017 | 0.0316     |
| 26     | 0.4697 | 0.5437 | 0.0740     | 63     | 0.9740 | 1.0040 | 0.0300     |
| 27     | 0.4889 | 0.5846 | 0.0957     | 64     | 0.9776 | 1.0059 | 0.0283     |
| 28     | 0.5081 | 0.5843 | 0.0762     | 65     | 0.9806 | 1.0077 | 0.0271     |
| 29     | 0.5274 | 0.6038 | 0.0764     | 66     | 0.9834 | 1.0091 | 0.0257     |
| 30     | 0.5457 | 0.6223 | 0.0766     | 67     | 0.9860 | 1.0103 | 0.0243     |
| 31     | 0.5626 | 0.6400 | 0.0774     | 68     | 0.9882 | 1.0115 | 0.0233     |
| 32     | 0.5797 | 0.6566 | 0.0769     | 69     | 0.9900 | 1.0124 | 0.0224     |
| 33     | 0.5955 | 0.6716 | 0.0761     | 70     | 0.9919 | 1.0134 | 0.0215     |
| 34     | 0.6104 | 0.6869 | 0.0765     | 71     | 0.9939 | 1.0144 | 0.0205     |
| 35     | 0.6393 | 0.7143 | 0.0750     | 72     | 0.9961 | 1.0155 | 0.0194     |
| 36     | 0.6656 | 0.7368 | 0.0712     | 73     | 0.9984 | 1.0169 | 0.0185     |
| 37     | 0.6900 | 0.7585 | 0.0685     | 74     | 1.0002 | 1.0176 | 0.0174     |

TABLA 4.37

Kolmogorov

T1S2R1R2-E1T1R1R2

| Número | Fo     | Fo PROM | DIF(Fo-Fo PROM) | Número | Fo     | Fo PROM | DIF(Fo-Fo PROM) |
|--------|--------|---------|-----------------|--------|--------|---------|-----------------|
| 1      | 0.0028 | 0.0029  | 0.0001          | 38     | 0.2219 | 0.2283  | 0.0064          |
| 2      | 0.0074 | 0.0074  | 0.0000          | 39     | 0.2322 | 0.2402  | 0.0080          |
| 3      | 0.0106 | 0.0105  | 0.0001          | 40     | 0.2427 | 0.2510  | 0.0091          |
| 4      | 0.0133 | 0.0084  | 0.0049          | 41     | 0.2525 | 0.2640  | 0.0115          |
| 5      | 0.0161 | 0.0162  | 0.0001          | 42     | 0.2638 | 0.2757  | 0.0119          |
| 6      | 0.0186 | 0.0191  | 0.0005          | 43     | 0.2766 | 0.2851  | 0.0085          |
| 7      | 0.0211 | 0.0219  | 0.0008          | 44     | 0.2880 | 0.2948  | 0.0068          |
| 8      | 0.0238 | 0.0246  | 0.0008          | 45     | 0.2992 | 0.3042  | 0.0050          |
| 9      | 0.0260 | 0.0270  | 0.0010          | 46     | 0.3096 | 0.3131  | 0.0035          |
| 10     | 0.0305 | 0.0323  | 0.0018          | 47     | 0.3183 | 0.3230  | 0.0047          |
| 11     | 0.0355 | 0.0376  | 0.0021          | 48     | 0.3266 | 0.3328  | 0.0062          |
| 12     | 0.0406 | 0.0427  | 0.0021          | 49     | 0.3350 | 0.3418  | 0.0068          |
| 13     | 0.0459 | 0.0478  | 0.0019          | 50     | 0.3445 | 0.3498  | 0.0053          |
| 14     | 0.0505 | 0.0528  | 0.0023          | 51     | 0.3532 | 0.3586  | 0.0054          |
| 15     | 0.0550 | 0.0582  | 0.0032          | 52     | 0.3605 | 0.3674  | 0.0069          |
| 16     | 0.0597 | 0.0637  | 0.0040          | 53     | 0.3678 | 0.3748  | 0.0070          |
| 17     | 0.0642 | 0.0689  | 0.0047          | 54     | 0.3753 | 0.3832  | 0.0079          |
| 18     | 0.0692 | 0.0744  | 0.0052          | 55     | 0.3895 | 0.4002  | 0.0107          |
| 19     | 0.0745 | 0.0801  | 0.0056          | 56     | 0.4023 | 0.4132  | 0.0109          |
| 20     | 0.0817 | 0.0885  | 0.0068          | 57     | 0.4160 | 0.4258  | 0.0098          |
| 21     | 0.0882 | 0.0973  | 0.0091          | 58     | 0.4298 | 0.4387  | 0.0089          |
| 22     | 0.0947 | 0.1055  | 0.0108          | 59     | 0.4408 | 0.4498  | 0.0090          |
| 23     | 0.1012 | 0.1124  | 0.0112          | 60     | 0.4519 | 0.4613  | 0.0094          |
| 24     | 0.1086 | 0.1191  | 0.0105          | 61     | 0.4639 | 0.4725  | 0.0086          |
| 25     | 0.1158 | 0.1257  | 0.0099          | 62     | 0.4753 | 0.4829  | 0.0076          |
| 26     | 0.1232 | 0.1324  | 0.0092          | 63     | 0.4866 | 0.4932  | 0.0066          |
| 27     | 0.1312 | 0.1396  | 0.0084          | 64     | 0.4981 | 0.5033  | 0.0052          |
| 28     | 0.1388 | 0.1462  | 0.0074          | 65     | 0.5097 | 0.5133  | 0.0036          |
| 29     | 0.1461 | 0.1525  | 0.0064          | 66     | 0.5189 | 0.5245  | 0.0056          |
| 30     | 0.1536 | 0.1590  | 0.0054          | 67     | 0.5284 | 0.5365  | 0.0081          |
| 31     | 0.1607 | 0.1654  | 0.0047          | 68     | 0.5379 | 0.5460  | 0.0081          |
| 32     | 0.1665 | 0.1716  | 0.0051          | 69     | 0.5460 | 0.5560  | 0.0100          |
| 33     | 0.1719 | 0.1775  | 0.0056          | 70     | 0.5537 | 0.5648  | 0.0111          |
| 34     | 0.1773 | 0.1837  | 0.0064          | 71     | 0.5621 | 0.5729  | 0.0108          |
| 35     | 0.1886 | 0.1963  | 0.0077          | 72     | 0.5710 | 0.5822  | 0.0112          |
| 36     | 0.2012 | 0.2077  | 0.0065          | 73     | 0.5787 | 0.5922  | 0.0135          |
| 37     | 0.2123 | 0.2176  | 0.0053          | 74     | 0.5853 | 0.6013  | 0.0160          |

TABLA 4.38

Kolmogorov

T2S2R1R2-E1T2R1R2

| Número | $\overline{F_0}$ | $F_0$ PROM | $DIF(F_0 - F_0 \text{ PROM})$ | Número | $\overline{F_0}$ | $F_0$ PROM | $DIF(F_0 - F_0 \text{ PROM})$ |
|--------|------------------|------------|-------------------------------|--------|------------------|------------|-------------------------------|
| 1      | 0.0030           | 0.0043     | 0.0013                        | 38     | 0.3057           | 0.3249     | 0.0192                        |
| 2      | 0.0085           | 0.0110     | 0.0025                        | 39     | 0.3204           | 0.3378     | 0.0174                        |
| 3      | 0.0132           | 0.0157     | 0.0025                        | 40     | 0.3341           | 0.3527     | 0.0186                        |
| 4      | 0.0176           | 0.0200     | 0.0024                        | 41     | 0.3454           | 0.3657     | 0.0203                        |
| 5      | 0.0218           | 0.0252     | 0.0034                        | 42     | 0.3565           | 0.3766     | 0.0201                        |
| 6      | 0.0261           | 0.0305     | 0.0044                        | 43     | 0.3686           | 0.3884     | 0.0198                        |
| 7      | 0.0303           | 0.0352     | 0.0049                        | 44     | 0.3814           | 0.3992     | 0.0178                        |
| 8      | 0.0343           | 0.0396     | 0.0053                        | 45     | 0.3935           | 0.4096     | 0.0161                        |
| 9      | 0.0382           | 0.0440     | 0.0058                        | 46     | 0.4045           | 0.4200     | 0.0155                        |
| 10     | 0.0457           | 0.0531     | 0.0074                        | 47     | 0.4142           | 0.4297     | 0.0155                        |
| 11     | 0.0529           | 0.0614     | 0.0085                        | 48     | 0.4251           | 0.4398     | 0.0147                        |
| 12     | 0.0597           | 0.0698     | 0.0101                        | 49     | 0.4356           | 0.4504     | 0.0148                        |
| 13     | 0.0662           | 0.0778     | 0.0116                        | 50     | 0.4449           | 0.4595     | 0.0146                        |
| 14     | 0.0739           | 0.0863     | 0.0124                        | 51     | 0.4543           | 0.4682     | 0.0139                        |
| 15     | 0.0823           | 0.0951     | 0.0128                        | 52     | 0.4635           | 0.4770     | 0.0135                        |
| 16     | 0.0907           | 0.1032     | 0.0125                        | 53     | 0.4727           | 0.4859     | 0.0132                        |
| 17     | 0.0981           | 0.1111     | 0.0130                        | 54     | 0.4815           | 0.4948     | 0.0133                        |
| 18     | 0.1045           | 0.1191     | 0.0146                        | 55     | 0.4905           | 0.5137     | 0.0142                        |
| 19     | 0.1109           | 0.1271     | 0.0162                        | 56     | 0.5160           | 0.5326     | 0.0166                        |
| 20     | 0.1209           | 0.1379     | 0.0170                        | 57     | 0.5306           | 0.5470     | 0.0164                        |
| 21     | 0.1310           | 0.1479     | 0.0169                        | 58     | 0.5460           | 0.5605     | 0.0145                        |
| 22     | 0.1404           | 0.1584     | 0.0180                        | 59     | 0.5602           | 0.5752     | 0.0150                        |
| 23     | 0.1494           | 0.1692     | 0.0198                        | 60     | 0.5734           | 0.5879     | 0.0145                        |
| 24     | 0.1585           | 0.1802     | 0.0217                        | 61     | 0.5864           | 0.5995     | 0.0131                        |
| 25     | 0.1675           | 0.1906     | 0.0231                        | 62     | 0.5991           | 0.6116     | 0.0125                        |
| 26     | 0.1762           | 0.2000     | 0.0238                        | 63     | 0.6111           | 0.6217     | 0.0106                        |
| 27     | 0.1859           | 0.2092     | 0.0233                        | 64     | 0.6213           | 0.6307     | 0.0094                        |
| 28     | 0.1957           | 0.2182     | 0.0225                        | 65     | 0.6306           | 0.6410     | 0.0104                        |
| 29     | 0.2042           | 0.2270     | 0.0228                        | 66     | 0.6424           | 0.6513     | 0.0089                        |
| 30     | 0.2124           | 0.2354     | 0.0230                        | 67     | 0.6550           | 0.6600     | 0.0050                        |
| 31     | 0.2209           | 0.2438     | 0.0229                        | 68     | 0.6650           | 0.6679     | 0.0029                        |
| 32     | 0.2306           | 0.2523     | 0.0217                        | 69     | 0.6744           | 0.6761     | 0.0017                        |
| 33     | 0.2393           | 0.2605     | 0.0212                        | 70     | 0.6830           | 0.6839     | 0.0009                        |
| 34     | 0.2474           | 0.2681     | 0.0207                        | 71     | 0.6918           | 0.6912     | 0.0006                        |
| 35     | 0.2644           | 0.2823     | 0.0179                        | 72     | 0.7008           | 0.6989     | 0.0019                        |
| 36     | 0.2785           | 0.2966     | 0.0181                        | 73     | 0.7088           | 0.7054     | 0.0034                        |
| 37     | 0.2920           | 0.3112     | 0.0192                        | 74     | 0.7156           | 0.7121     | 0.0035                        |

TABLA 4.39

Kolmogorov T3S2R1R2-E1T3R1R2

| Número | Fo     | Fo PROM | DIF(Fo-Fo PROM) | Número | Fo     | Fo PROM | DIF(Fo-Fo PROM) |
|--------|--------|---------|-----------------|--------|--------|---------|-----------------|
| 1      | 0.0066 | 0.0067  | 0.0001          | 38     | 0.7282 | 0.7253  | 0.0029          |
| 2      | 0.0200 | 0.0201  | 0.0001          | 39     | 0.7492 | 0.7450  | 0.0042          |
| 3      | 0.0335 | 0.0331  | 0.0004          | 40     | 0.7686 | 0.7628  | 0.0058          |
| 4      | 0.0466 | 0.0461  | 0.0005          | 41     | 0.7853 | 0.7793  | 0.0060          |
| 5      | 0.0594 | 0.0594  | 0.0000          | 42     | 0.8009 | 0.7947  | 0.0062          |
| 6      | 0.0725 | 0.0729  | 0.0004          | 43     | 0.8155 | 0.8086  | 0.0069          |
| 7      | 0.0852 | 0.0862  | 0.0010          | 44     | 0.8292 | 0.8212  | 0.0080          |
| 8      | 0.0977 | 0.0991  | 0.0014          | 45     | 0.8417 | 0.8330  | 0.0087          |
| 9      | 0.1101 | 0.1114  | 0.0013          | 46     | 0.8526 | 0.8440  | 0.0086          |
| 10     | 0.1342 | 0.1349  | 0.0007          | 47     | 0.8629 | 0.8543  | 0.0086          |
| 11     | 0.1571 | 0.1576  | 0.0005          | 48     | 0.8731 | 0.8639  | 0.0092          |
| 12     | 0.1797 | 0.1797  | 0.0000          | 49     | 0.8822 | 0.8722  | 0.0100          |
| 13     | 0.2021 | 0.2012  | 0.0009          | 50     | 0.8903 | 0.8798  | 0.0105          |
| 14     | 0.2239 | 0.2232  | 0.0007          | 51     | 0.8982 | 0.8868  | 0.0114          |
| 15     | 0.2452 | 0.2450  | 0.0002          | 52     | 0.9056 | 0.8933  | 0.0123          |
| 16     | 0.2658 | 0.2653  | 0.0005          | 53     | 0.9120 | 0.8991  | 0.0129          |
| 17     | 0.2853 | 0.2852  | 0.0001          | 54     | 0.9178 | 0.9047  | 0.0131          |
| 18     | 0.3041 | 0.3041  | 0.0000          | 55     | 0.9284 | 0.9144  | 0.0140          |
| 19     | 0.3226 | 0.3218  | 0.0008          | 56     | 0.9379 | 0.9230  | 0.0149          |
| 20     | 0.3490 | 0.3478  | 0.0012          | 57     | 0.9464 | 0.9308  | 0.0156          |
| 21     | 0.3746 | 0.3741  | 0.0005          | 58     | 0.9535 | 0.9371  | 0.0164          |
| 22     | 0.4004 | 0.3993  | 0.0011          | 59     | 0.9596 | 0.9420  | 0.0176          |
| 23     | 0.4248 | 0.4226  | 0.0022          | 60     | 0.9653 | 0.9462  | 0.0191          |
| 24     | 0.4477 | 0.4453  | 0.0024          | 61     | 0.9700 | 0.9497  | 0.0203          |
| 25     | 0.4697 | 0.4674  | 0.0023          | 62     | 0.9738 | 0.9527  | 0.0211          |
| 26     | 0.4904 | 0.4890  | 0.0014          | 63     | 0.9773 | 0.9554  | 0.0219          |
| 27     | 0.5106 | 0.5098  | 0.0008          | 64     | 0.9806 | 0.9576  | 0.0230          |
| 28     | 0.5298 | 0.5291  | 0.0007          | 65     | 0.9833 | 0.9592  | 0.0241          |
| 29     | 0.5476 | 0.5476  | 0.0000          | 66     | 0.9859 | 0.9607  | 0.0252          |
| 30     | 0.5644 | 0.5647  | 0.0003          | 67     | 0.9883 | 0.9619  | 0.0264          |
| 31     | 0.5803 | 0.5815  | 0.0012          | 68     | 0.9902 | 0.9629  | 0.0273          |
| 32     | 0.5963 | 0.5983  | 0.0020          | 69     | 0.9918 | 0.9640  | 0.0278          |
| 33     | 0.6120 | 0.6139  | 0.0019          | 70     | 0.9933 | 0.9647  | 0.0286          |
| 34     | 0.6271 | 0.6282  | 0.0011          | 71     | 0.9948 | 0.9652  | 0.0296          |
| 35     | 0.6557 | 0.6556  | 0.0001          | 72     | 0.9963 | 0.9660  | 0.0303          |
| 36     | 0.6817 | 0.6806  | 0.0011          | 73     | 0.9978 | 0.9672  | 0.0306          |
| 37     | 0.7059 | 0.7038  | 0.0021          | 74     | 0.9992 | 0.9681  | 0.0311          |

**APÉNDICE VI**  
**EJEMPLO DE LOS CÁLCULOS REALIZADOS**

## EJEMPLO DE LOS CÁLCULOS REALIZADOS

A. Cálculos realizados en las tablas del capítulo 3.

- 1.- Obtener la concentración promedio de arena en el tanque, mediante la siguiente ecuación:

$$\bar{C} = 150 \text{ g} / V \text{ l} \quad \dots \text{ Ec. V-1}$$

Esta concentración será constante para todas las pruebas. (Tablas 3.1 a 3.18). Para las tablas 3.19 a 3.36, el dato de 150 g se cambió por la cantidad de arena que salió del tanque durante cada corrida, esto es, como si sólo se hubiera agregado dicha cantidad.

- 2.- Determinar la cantidad de trazador mediante la dif.

$$W_{\text{trazador}} = W_{\text{total}} - W_{\text{tubo}} \quad \dots \text{ Ec. V-2}$$

- 3.- Obtener la concentración de trazador presente en cada tubo de ensayo, por medio de la ec.

$$C = W_{\text{trazador}} / V_{\text{tubo}} \quad \text{g/l} \quad \dots \text{ Ec. V-3}$$

- 4.- Encontrar  $E_o$  mediante la siguiente ecuación.

$$E_o = C / \bar{C} \quad \dots \text{ Ec. V-4}$$

- 5.- Calcular  $\theta$  :

$$\theta = t / \tau \quad \text{s} \quad \dots \text{ Ec. V-5}$$

- 6.-  $E_o$  teórico es encontrado por:

$$E_o = e^{-\theta} \quad \dots \text{ Ec. V-6}$$

7.- Determinar  $F_0$  mediante la ecuación :

$$F_0 = \sum_{i=1}^{N-1} [E_0(1+i) + E_0(1)] / 2 * [\theta(1+i) - \theta(1)] \dots \text{Ec. V-7}$$

la cual dará valores discretos.

La misma ec. sirve para  $F_0$  teórico, sustituyendo los  $E_0$  de la ec. V-6

A continuación se presentan un ejemplo de los cálculos realizados en la primer prueba T1SIR1, a partir de los datos siguientes:

V tanque : 11.22 l  
 Vo : 0.934 l/min (0.0156 l/s)  
 $\tau = V/V_0$  : 11.22 l / 0.0156 l/s = 719.2308 s  
 V tubo : .0274 l  
 Wtotal : 18.8445  
 W tubo : 18.7628  
 tiempo : 10 s

Utilizando la ecuación

se obtiene:

|     |                                 |
|-----|---------------------------------|
| V-1 | $\bar{C} = 13.3690 \text{ g/l}$ |
| V-2 | Wtrazador = 0.0817 g            |
| V-3 | C = 2.9818 g/l                  |
| V-4 | $E_0 = 0.2230$                  |
| V-5 | $\theta = 0.0139$               |
| V-6 | $E_0 \text{ teórico} = 0.9862$  |
| V-7 | $F_0 = .0015$                   |
| V-7 | $F_0 \text{ teórico} = 0.0138$  |

B. Cálculos realizados en las tablas estadísticas.

- 1.- Cuando el análisis estadístico se va a realizar entre datos de frecuencias acumuladas, experimentales y teóricas, encontrados a partir de ecuaciones continuas, se realizan las siguientes diferencias:

$$\text{DIF-A} = | F_o \text{ teorA} - F_o | \text{ y}$$

$$\text{DIF}(R1-R2) = | F_o R1 - F_o R2 |$$

$$\text{DIF}(F_o - F_o \text{ PROM}) = | F_o F_o - F_o \text{ PROM} |$$

La primer diferencia es para ver la divergencia entre las curva teórica y la experimental en cada prueba. La segunda diferencia es para observar la divergencia entre las réplicas. La tercera diferencia sirvió para determinar si las pruebas realizadas en estudios paralelos independientes, a las mismas condiciones, siguen la misma distribución.

- 2.- Para el análisis estadístico entre la frecuencia experimental acumulada, obtenida a partir de datos escalonados y la frecuencia teórica acumulada, obtenida por medio de la ecuación continua, se realizan las siguientes diferencias:

$$A^{\circ}1 = | F_o \text{ teorB}(\theta) - F_o(\theta-1) | \text{ y}$$

$$A^{\circ}2 = | F_o \text{ teorB}(\theta) - F_o(\theta) |$$

A continuación se muestra un ejemplo para la prueba  $T1S1R1-T1S1R2$ , a partir de los datos siguientes:

Prueba  $T1S1R1$

|                 |          |                          |          |
|-----------------|----------|--------------------------|----------|
| $F_0(\theta-1)$ | = 0.0015 | $F_0$ teorA ( $\theta$ ) | = 0.0274 |
| $F_0(\theta)$   | = 0.0043 | $F_0$ teorB ( $\theta$ ) | = 0.0138 |
| DIF-A           | = 0.0231 |                          |          |
| $A^{\circ 1}$   | = 0.0123 |                          |          |
| $A^{\circ 2}$   | = 0.0095 |                          |          |
| DIF-A max       | = 0.6796 |                          |          |
| $A^{\circ}$ max | = 0.6793 |                          |          |

Como la DIF-A max es mayor que los valores críticos de D, de la tabla AIV-1, se rechaza  $H_0$ .

Prueba  $T1S1R2$

|                 |          |                          |          |
|-----------------|----------|--------------------------|----------|
| $F_0(\theta-1)$ | = 0.0009 | $F_0$ teorA ( $\theta$ ) | = 0.0274 |
| $F_0(\theta)$   | = 0.0025 | $F_0$ teorB ( $\theta$ ) | = 0.0138 |
| DIF(R1-R2)      | = 0.0018 |                          |          |
| DIF(R1-R2)max   | = 0.0408 |                          |          |

Como la DIF(R1-R2) max es menor que los valores críticos de D que se encuentran en la tabla AIV-2, no se rechaza  $H_0$ . Por lo tanto no hay diferencia significativa entre las réplicas.

## BIBLIOGRAFÍA

## BIBLIOGRAFÍA

- 1.- Castillo Sánchez, Marcela.  
Influencia del tamaño de partícula del trazador y de la posición de entrada de alimento líquido en la distribución de tiempos de residencia de un sólido en un tanque continuo de fondo con cono y filete.  
Tesis inédita U.A.G.
- 2.- Chudacek, M.W.  
Does your tank bottom have the right shape ?  
Chemical Engineering, october 1984
- 3.- Denbigh, Kennet.  
Teoría del Reactor Químico  
Alhambra, 1a. ed., Madrid 1968
- 4.- García Gaytán, Beatriz.  
Estudio comparativo de un reactor de mezcla completa con fondo plano-fileteado-cónico con un reactor de mezcla completa con fondo cóncavo.  
Tesis inédita U.A.G.
- 5.- Godoy Romero, José Manuel  
Estudio de la distribución de los tiempos de residencia en un reactor continuo de mezcla completa completa con un trazador como componente no reactivo  
Tesis U.A.G. (1980)
- 6.- Kirk Raymond E./Other Donald F.  
Enciclopedia de la Tecnología Química  
Unión tipográfica editorial Hispano-Americana  
1a. edición, tomo 10

- 7.- Kreyszig, Erwin.  
Introducción a la Estadística Matemática  
LIMUSA, 1a.ed., México 1978
- 8.- Levenspiel, Octave.  
Ingeniería de las Reacciones Químicas  
Reverté, 2a. ed., España 1986
- 9.- Miller, I y Freund, J.E.  
Probabilidad y Estadística para Ingenieros  
Interamericana, 2a. ed., México 1984
- 10.- Pérez-Treviño González Manuel.  
Influencia de la velocidad de agitación y tipo de  
aspas en la distribución de tiempos de residencia de  
un sólido en un tanque continuo de fondo con cono y  
filete.  
Tesis U.A.G. (1989)
- 11.- Perry y Chilton.  
Manual del Ingeniero Químico  
Mc Graw Hill, 5a. ed., México 1984
- 12.- Ramírez Becerra, Zeferino Ismael.  
Influencia de la posición del agitador en la  
distribución de tiempos de residencia.  
Parte I: alimentación cercana a la mitad del nivel del  
líquido.  
Tesis U.A.G. (1981)